(19) **日本国特許庁(JP)**

(12) 公 開 特 許 公 報(A)

(11)特許出願公開番号

特開2010-178739 (P2010-178739A)

(43) 公開日 平成22年8月19日(2010.8.19)

| (51) Int.Cl. | | | FI | | | テーマコード | (参考) |
|--------------|-------|-----------|---------|-------|-----------|-------------|--------|
| C12N | 15/09 | (2006.01) | C 1 2 N | 15/00 | ZNAA | 4BO24 | |
| C12P | 21/02 | (2006.01) | C 1 2 P | 21/02 | C | 4B063 | |
| C12N | 5/10 | (2006.01) | C12N | 5/00 | 101 | 4BO64 | |
| C12Q | 1/02 | (2006.01) | C 1 2 Q | 1/02 | | 48065 | |
| C12Q | 1/68 | (2006.01) | C 1 2 Q | 1/68 | A | 40085 | |
| | | | 審査請求 | 有 請求 | 「項の数 52 O | L (全 137 頁) | 最終頁に続く |

(21) 出願番号 特願2010-31273 (P2010-31273) (22) 出願日 平成22年2月16日 (2010. 2. 16) (62) 分割の表示 特願2005-253464 (P2005-253464)

の分割

原出願日 平成7年4月21日(1995.4.21)

(31) 優先権主張番号 08/231,565

(32) 優先日 平成6年4月22日(1994.4.22)

(33) 優先権主張国 米国(US) (31) 優先権主張番号 08/417,174

(32) 優先日 平成7年4月5日 (1995.4.5)

(33) 優先権主張国 米国(US)

(71) 出願人 502006782

アメリカ合衆国

アメリカ合衆国 メリーランド州 208 52, ロックヴィル, エグゼキュティブ・ ブールバード 6011, スイート 32 5, ナショナル インスティチューツ・オ ブ・ヘルス, オフィス・オブ・テクノロジ ー・トランスファー

(74)代理人 100140109

弁理士 小野 新次郎

(74)代理人 100089705

弁理士 社本 一夫

(74)代理人 100075270

弁理士 小林 泰

最終頁に続く

(54) 【発明の名称】メラノーマ抗原

(57)【要約】 (修正有)

【課題】T細胞によって認識されるメラノーマ抗原をコードする遺伝子、およびそれらに対応するタンパク質、ならびにこれらの遺伝子またはタンパク質を用いての予防、診断および治療方法を提供する。

【解決手段】Tリンパ球により認識されるMART-1と命名されたメラノーマ抗原をコードする核酸配列、上記核酸配列がコードするタンパク質、および上記タンパク質に対する抗体。上記抗原タンパク質および抗体を用いた、メラノーマまたは転移性メラノーマの診断、評価または予後診断するためのバイオアッセイ。さらに、MART-1に由来する免疫原性ペプチドおよびgp100と命名された第2のメラノーマ抗原。MART-1メラノーマ抗原またはgp100抗原に由来し、免疫原性を高めるように改変された免疫原性ペプチド。上記タンパク質およびペプチドの、メラノーマの予防または治療のための免疫原としての使用。

【選択図】なし

【特許請求の範囲】

【請求項1】

配列番号1のヌクレオチド配列、又は配列番号1のヌクレオチド配列に縮重しているヌク レオチド配列を含む、単離された核酸。

【請求項2】

配列番号2の部分、及びAAGIGILTV(配列番号4)、EAAGIGILTV(配 列番号17)、又はAAGIGILTVI(配列番号18)のアミノ酸配列を含むペプチ ド。

【請求項3】

MART・1タンパク質を製造する方法であって、

(a) 請求項1の核酸を発現ベクターに挿入し、

- (b)該発現ベクターを宿主細胞内に移入し、
- (c)該ベクターの増幅及び該タンパク質の発現に適する条件下で該宿主細胞を培養し、 そして
- (d) 該 タンパク質を収穫する

ことを含む、上記方法。

【請求項4】

発 現 ベ ク タ ー が バ キ ュ ロ ウ イ ル ス ベ ク タ ー で あ る 、 請 求 項 3 の 方 法 。

【 請 求 項 5 】

宿主細胞が昆虫細胞である、請求項3の方法。

【請求項6】

請求項1の核酸を含む、組換え発現ベクター。

【請求項7】

請求項6の組換え発現ベクターを含む宿主細胞。

【請求項8】

前記組換え発現ベクターによりコードされる前記タンパク質の発現を可能にするように、 請 求 項 6 の 組 換 え 発 現 べ ク タ ー で ト ラ ン ス フ ォ ー ム 又 は ト ラ ン ス フ ェ ク ト さ れ た 宿 主 生 物

【請求項9】

生物学的サンプル中のMART-1(配列番号2)をコードするmRNAを検出するin Vitroの方法であって、

(a) 前 記 生 物 学 的 サン プ ル と 請 求 項 1 の 核 酸 の 相 補 体 と を 該 相 補 体 と 該 m R N A と の 間 に複合体が形成される条件下で接触させ;そして

(b) 該複合体を検出する

工程を含む、前記方法。

【請求項10】

サン プル が 、 哺 乳 類 組 織 、 哺 乳 類 細 胞 、 剖 検 サン プル 、 病 理 サン プル 、 及 び 生 検 サン プル からなる群から選択される、請求項9の方法。

【 請 求 項 1 1 】

生物学的サンプルが疾患状態に苦しむ哺乳類からのものである、請求項9又は10の方法

【請求項12】

(c)前記mRNAのレベルを決定することをさらに含む、請求項9~11のいずれか1 項に記載の方法。

【請求項13】

前 記 疾 患 状 態 が メ ラ ノ ー マ 又 は 転 移 性 メ ラ ノ ー マ で あ る 、 請 求 項 1 1 又 は 1 2 の 方 法 。

【請求項14】

生物学的サンプル中のMART-1タンパク質(配列番号2)を検出するin vitr oの方法であって、

(a) サンプル中の上記タンパク質と特異的に反応して複合体を形成する試薬を接触させ

10

20

30

40

; そして

(b)該タンパク質と該試薬との間に該複合体の形成を検出する

工程を含む、前記方法。

【請求項15】

サンプルが、哺乳類組織、哺乳類細胞、剖検サンプル、病理サンプル、及び生検サンプルからなる群から選択される、請求項14の方法。

【請求項16】

試薬が抗体又はその抗原結合断片である、請求項14又は15の方法。

【請求項17】

試薬がモノクローナル抗体である、請求項16の方法。

【請求項18】

生物学的サンプルが疾患状態に苦しむ哺乳類からのものである、請求項14~17のいずれか1項に記載の方法。

【請求項19】

疾患状態がメラノーマ又は転移性メラノーマである、請求項18の方法。

【請求項20】

生物学的サンプル中のMART-1(配列番号2)をコードするゲノム核酸を検出するin vitroの方法であって、

(a)請求項1の核酸を、該核酸と該ゲノム核酸との間に複合体が形成される条件下で生物学的サンプルと接触させ;そして

(b)該複合体を検出する

工程を含む、前記方法。

【請求項21】

さらに、

(c) ゲノム配列の変化を決定する

ことを含む請求項 2 0 の方法であって、前記変化が該ゲノム D N A 配列の欠失、置換、付加又は増幅である、前記方法。

【請求項22】

配列番号 2 の部分からなる単離された免疫原性ペプチドであって、当該部分がMART-1 配列(配列番号 2)に由来する 5 ~ 2 0 個の隣接するアミノ酸を含み、細胞性応答又は液性応答を引き起こし得る前記ペプチド。

【請求項23】

配列番号 2 の少なくとも 5 ~ 2 0 個の隣接するアミノ酸を含む単離された免疫原性ペプチドであって、アミノ酸置換を含み、細胞性応答又は液性応答を引き起こし得る前記ペプチド。

【請求項24】

ペプチドの長さが少なくとも 9 アミノ酸である、請求項 2 2 又は 2 3 の単離された免疫原性ペプチド。

【請求項25】

(i) AAGIGILTV(配列番号4)、(ii) EAAGIGILTV(配列番号17)、及び(iii) AAGIGILTVI(配列番号18)から成る群から選択される配列を含む、請求項22の単離された免疫原性ペプチド。

【請求項26】

A A G I G I L T V (配列番号 4) である、請求項 2 5 の単離された免疫原性ペプチド。 【請求項 2 7 】

ペプチド配列が、MHC分子へのペプチドの結合を増強するために、MART - 1 配列(配列番号 2)の少なくとも 1 つのアミノ酸の改変を含有する、請求項 2 2 ~ 2 6 のいずれ

【請求項28】

か1項に記載の単離された免疫原性ペプチド。

アミノ酸配列WAGIGILTV(配列番号53)を含む、請求項27の単離された免疫

10

20

30

40

原性ペプチド。

【請求項29】

ペプチドの長さが少なくとも 9 アミノ酸である、請求項 2 7 の単離された免疫原性ペプチド。

【請求項30】

改変が、ペプチド配列中の少なくとも 1 つのアミノ酸の置換を含む、請求項 2 7 又は 2 9 の単離された免疫原性ペプチド。

【請求項31】

アミノ酸の置換が、ペプチド配列中の(i)第1位、(ii)第2位、(iii)第3位、(i v)第9位、(v)第10位、及び(vi)上記(i)~(v)のうちの少なくとも2つの組み合わせ、からなる群から選択される部位に存在する、請求項30の単離された免疫原性ペプチド。

10

【請求項32】

アミノ酸の置換が第1位に存在する、請求項31の単離された免疫原性ペプチド。

【請求項33】

アミノ酸置換が第 2 位又は第 9 位に存在する、請求項 3 1 の単離された免疫原性ペプチド。

【請求項34】

式: X₁ X₂ X₃ I G I L T X₄

(式中、X₁は任意のアミノ酸であり;

20

- X 。は任意の疎水性脂肪族アミノ酸であり;
- X 。は任意のアミノ酸であり;そして
- X 4 は任意の疎水性脂肪族アミノ酸である)
- のアミノ酸配列を含む、請求項22又は23の単離された免疫原性ペプチド。

【請求項35】

X₁がメチオニン、ロイシン、アラニン、グリシン、スレオニン、イソロイシン、チロシン、バリン、トリプトファン、フェニルアラニン、セリン、リジン又はアスパラギン酸からなる群から選択される、請求項34の単離された免疫原性ペプチド。

【請求項36】

X₂がメチオニン、ロイシン、アラニン、グリシン、イソロイシン、バリン又はスレオニンからなる群から選択される、請求項34又は35の単離された免疫原性ペプチド。

30

【請求項37】

X₃がメチオニン、ロイシン、アラニン、グリシン、スレオニン、イソロイシン、チロシン、バリン、トリプトファン、フェニルアラニン、リジン、セリン又はアスパラギン酸からなる群から選択される、請求項34~36のいずれか1項に記載の単離された免疫原性ペプチド。

【請求項38】

X ₄ がメチオニン、ロイシン、アラニン、グリシン、イソロイシン、バリン又はスレオニンからなる群から選択される、請求項 3 4 ~ 3 7 のいずれか 1 項に記載の単離された免疫原性ペプチド。

40

【請求項39】

配列番号 4 及び 5 0 ~ 6 7 から成る群から選択されるアミノ酸配列を含む、請求項 3 4 ~ 3 8 のいずれか 1 項に記載の単離された免疫原性ペプチド。

【請求項40】

配列番号 5 0 、 5 3 、 5 4 、 及び 5 8 から成る群から選択されるアミノ酸配列を含む、請求項 3 9 の単離された免疫原性ペプチド。

【請求項41】

ペプチドが、 H L A - A 2 により認識される、請求項 2 2 ~ 4 0 のいずれか 1 項に記載の 単離された免疫原性ペプチド。

【請求項42】

20

30

40

50

ペプチドが天然、合成又は組換えペプチドである、請求項22~41のいずれか1項に記載の単離された免疫原性ペプチド。

【請求項43】

請求項22~42のいずれか1項に記載のペプチドをコードする、単離された核酸。

【請求項44】

請 求 項 4 3 の 少 な く と も 1 つ の 核 酸 を 含 む 、 組 換 え 発 現 ベ ク タ ー 。

【請求項45】

請求項44の組換え発現ベクターを含む宿主細胞。

【請求項46】

請求項44の組換え発現ベクターで、該組換え発現ベクターによりコードされるタンパク質が発現するように、トランスフォーム又はトランスフェクトされた宿主生物。

【請求項47】

請 求 項 2 2 ~ 4 2 の い ず れ か 1 項 に 記 載 の 免 疫 原 性 ペ プ チ ド と 反 応 し 得 る 抗 体 。

【請求項48】

モノクローナル抗体である、請求項47の抗体。

【請求項49】

薬学的に許容される担体中の請求項 1 又は 4 3 の核酸によってコードされるタンパク質又はペプチドを含む、哺乳類を免疫するためのワクチン。

【請求項50】

MART - 1 タンパク質(配列番号 2)に由来するペプチドの免疫原性を評価する方法であって、

- (a) M A R T 1 のアミノ酸配列(配列番号 2)に基づいて複数のペプチドを調製し;
- (b) 該ペプチドの少なくとも 1 つを哺乳類細胞株とインキュベートし;
- (c) 該細胞株の哺乳類細胞を腫瘍浸潤リンパ球(TIL)に暴露し;そして
- (d)該細胞による TILの認識をスクリーニングする
- 工程を含む、前記方法。

【請求項51】

工程(a)のペプチドが約9~10アミノ酸である、請求項50の方法。

【請求項52】

工程(b)の該細胞株の細胞が、COS細胞、T2細胞、293細胞、CHO細胞、HeLa細胞、NIH3T3細胞、樹状突起細胞、単核細胞、及びEBVでトランスフォームされたB細胞株からなる群から選択される、請求項51の方法。

【発明の詳細な説明】

【技術分野】

[0001]

本出願は、米国特許出願第08/231,565号(1994年4月22日出願)の一部継続出願であり、ここにその全体を援用する。

[0002]

発明の分野

本発明は、ヒトの癌の予防および治療の分野内にある。より具体的には、本発明は、T細胞によって認識されるメラノーマ抗原をコードする遺伝子、およびそれらに対応するタンパク質、ならびにこれらの遺伝子またはタンパク質を用いての予防、診断および治療への適用に関する。

【背景技術】

[0003]

発明の背景

メラノーマは、メラノサイトまたはメラノサイト関連母斑細胞のいずれかから誘導される、攻撃的な、時として転移性の腫瘍である(非特許文献 1)。メラノーマは全皮膚癌のおおよそ 3 % 近くに達し、メラノーマの世界的増加は、女性の肺がんを除く他のいかなる新生物も及ばない(非特許文献 1、非特許文献 2)。メラノーマは、明らかに皮膚に局在

20

30

40

50

している場合でさえ、最大で30%の患者は、将来、全身に転移し、その大部分は死に至るであろう(非特許文献2)。メラノーマ治療の古典的様式には、外科手術、放射線および化学療法が含まれる。過去10年間では、免疫療法および遺伝子治療が、メラノーマ治療の新しい可能性のある方法として現れてきた。

[0004]

T細胞は、ほとんどのネズミ腫瘍モデルで腫瘍の退縮に重要な役割を演じている。単一の癌抗原を認識する腫瘍浸潤リンパ球(TIL)は、多くのネズミ腫瘍から単離することができる。これらTIL+インターロイキン2の養子免疫伝達は、確立された肺および肝臓への転移の退縮を仲介することが出来る(非特許文献3)。さらに、TILを注射することによるIFN-の分泌は、生体内(in vivo)でのネズミ腫瘍の退縮と明らかな相関を示し、腫瘍抗原によるT細胞の活性化を示唆している(非特許文献4)。腫瘍TILを、転移性メラノーマ患者内に養子免疫伝達した場合、メラノーマ患者の35~40%の転移癌の退縮を仲介することが知られており、このTILの能力は、抗原を認識することの臨床上の重要性を証明している(非特許文献5;非特許文献6)。

[0005]

CB8⁺ T細胞上のT細胞受容体は、抗原ペプチド(HLA-A2の場合9~10アミノ酸)、 - 2ミクログロブリンおよび主要組織適合性複合体(MHC)クラスI重鎖(ヒトではHLA-A、B、C)からなる複合体を認識する。内在的に合成されたタンパク質の消化によって生成したペプチドは、小胞体に輸送され、MHCクラスI重鎖および2ミクロブロブリンと結合し、最終的に、細胞表面のMHCクラスIの分子の溝に発現する。それ故、T細胞は、細胞表面上に発現した完全な分子を検出する抗体とは対照的に、細胞の内側のタンパク質を起源とする分子を検出することが出来る。それ故、T細胞によって認識される抗原は、抗体によって認識される抗原より、より有用であろう。

[0006]

癌に対する免疫応答がヒトに存在することの強力な証拠は、メラノーマ沈積物中にリンパ球が存在することによって提供される。これらのリンパ球は、単離すると、MHC拘束性に、自己のおよび同種移植のメラノーマに特異的な腫瘍抗原を認識する能力を持つ(非特許文献 7 、非特許文献 8 、非特許文献 9 、非特許文献 1 0 、非特許文献 1 1 、非特許文献 1 1 、非特許文献 1 1 、非特許文献 1 2、非特許文献 1 3、非特許文献 1 4)。転移性メラノーマ患者からのTILは、全体外(in vitro)でメラノサイト・メラノーマ系列に特異的な組織抗原を含体内(in vitro)では、おそらく腫瘍部位でのクローン拡張および蓄積の結果として、「TIL中に多く存在すると思われる(非特許文献 1 7)。多くのメラノーマ患者がこれらの腫瘍に対して細胞性応答および体液性応答を装備しているという事実、ならびにメラノーマがMHC抗原および腫瘍関連抗原(TAAA)の両方を発現しているという事実はけが重要であることを示唆している。

[0007]

末梢血リンパ球は、メラノーマ腫瘍抗原と思われる抗原の同定に用いられた。非特許文献18は、生体内で変異誘発腫瘍細胞を用いて繰り返し免疫化した患者の末梢血で確認伝子の特徴を調べた。メラノーマ患者の末梢血リンパ球から誘導された細胞毒性T細胞は、抗原ペプチドをコードするMAGE・1の同定に用いられた(非特許文献19)。また、非特許文献20は、生体外で、腫瘍で繰り返し刺激することによって感受性になった患者の末梢血リンパ球を用いて、チロシナーゼと呼ばれるメラノーマ抗原をコードする遺伝、の特徴を調べた。さらに、メラノーマ抗原のつ可能性の確認は、Brownら(特許文献1)によって提供されている。Brownら(特許文献1)は、組換え体ワクシスで献1)によって提供されている。Brownら(特許文献1)は、組換え体ワクライルスを基礎としたメラノーマワクチンに関し、この中で、メラノーマ抗原p97はネズミモデルで腫瘍細胞の挑戦を予防する効果を示すと報告している。さらなるメラノーマ抗原の特徴を調べることは、癌、特にメラノーマの免疫療法の新規戦略の開発のために

20

30

50

```
重要である。
```

【先行技術文献】

【特許文献】

[00008]

【特許文献1】米国特許第5,262,177号明細書

【特許文献2】国際公開第90/14443号

【特許文献3】国際公開第90/14424号

【特許文献4】国際公開第93/208185号

【特許文献 5 】欧州特許出願第 0 5 6 3 4 8 5 A 1 号明細書

【 特 許 文 献 6 】 国 際 特 許 出 願 第 1 8 4 , 1 8 7 号

【特許文献7】欧州特許出願第0171496号明細書

【特許文献8】欧州特許出願第0173494号明細書

【特許文献9】国際公開第86/01533号

【非特許文献】

[0009]

【非特許文献1】"Cellular and Molecular Immunology"、1991、Abbas, A.K.、Lechtman, A.H.、Pober, J.S.編; W.B.Saunders Company、フィラデルフィア:340-341

【非特許文献2】KirkwoodおよびAgarwala、1993、Principles and Practice of Oncology、7:1-16

【非特許文献 3 】 Rosenberg, S.A.ら、1986、Science、223 : 1318-1321

【非特許文献 4 】 B a r t h , R . J . ら、1991、J . E x p . M e d . 173:647-658

【非特許文献 5 】 Rosenberg, S.A.ら、1988、N.Engl.J.Med.、319:1676-1680

【非特許文献 6 】 Rosenberg, S.A.、1992、J.Clin.Oncol.、10:180-199

【非特許文献 7 】 I toh, K.ら、1986、Cancer Res.、46:301 1-3017

【非特許文献 8 】Muul, L.M.ら、1987、J.Immunol.、138:989-995

【非特許文献 9 】 T o p a l i a n , S . L . ら、 1 9 8 9、 J . I m m u n o l . 、 1 4 2 : 3 7 1 4 - 3 7 2 5

【非特許文献 1 0 】 Darrow, T. L. ら、1 9 8 9、J. Immunol.、1 4 2:3 3 2 9 - 3 3 3 5

【非特許文献 1 1 】 H o m , S . S . S . S . 1 9 9 1 、 J . I m m u n o t h e r . 、 1 0 : 1 5 3 - 1 6 4

【非特許文献12】Kawakami,Y.ら、1992、J.Immunol.、14 40 8:638-643

【非特許文献 1 3 】 H o m , S . S . ら、1 9 9 3、 J . I m m u n o t h e r . 、 1 3 : 1 8 - 3 0

【非特許文献 1 4 】 O ' N e i l , B . H . ら、1 9 9 3、 J . I m m u n o l . 、1 5 1 : 1 4 1 0 - 1 4 1 8

【非特許文献 1 5 】 K a w a k a m i , Y . ら、1 9 9 3、 J . I m m u n o t h e r . 、1 4 : 8 8 - 9 3

【非特許文献 1 6 】 A n i c h i n i , A . ら、1 9 9 3、 J . E x p . M e d . 、1 7 7 : 9 8 9 - 9 8 8

【非特許文献 1 7 】 S e n s i , M . ら、1993、J . E x p . M e d . 、178:1

20

30

40

50

2 3 1 - 1 2 4 6

【非特許文献 18】 Van Der Bruggen, P. ら、1991、Science、254:1643-1647

【非特許文献 1 9 】 T r a v e r s a r i , C . ら、1 9 9 2 、J . E x p . M e d . 、 1 7 6 : 1 4 5 3 - 1 4 5 7

【非特許文献 2 0 】 B r i c h a r d , V . ら、1 9 9 3、 J . E x p . M e d . 、1 7 8 : 4 8 9 - 4 9 5

【非特許文献 2 1 】 Y o k o y a m a , W . M . ら、1991、J . I m m u n o l . 、147:329-3236

【非特許文献 2 2 】 Singer, S. J.、1990、Annu. Rev. Cell Biol.、6:247-296

【非特許文献23】Ausbelら編、1987、"Current Protocols in Molecular Biology"、John Wiley and Sons、ニューヨーク州ニューヨーク

【非特許文献 24】 Sambrookら編、1989、"Molecular Cloning. A Laboratory Manual"、Cold Spring Harbor Press、Plainview、ニューヨーク

【非特許文献 2 5 】G l u z m a n , Y . ら、1 9 8 1、C e l l 、2 3 : 1 7 5 - 1 8 2

【非特許文献 2 6 】 Birnboim, H. C.、1988、Nucleic Acids Res.、16:1487-1497

【非特許文献 2 7 】 C h o m c z y n s k i , P . ら、1 9 8 7 、A n a l . B i o c h e m . 、1 6 2 : 1 5 6 - 1 5 9

【非特許文献 2 8 】 Chirgwin, J. M. ら、1979、Biochemistry、18:5294-5299

【非特許文献 2 9 】 A v i v , H . ら、1 9 7 2、 P r o c . N a t l . A c a d . S c i . 、6 9 : 1 4 0 8 - 1 4 1 2

【非特許文献 3 0 】 A l w i n e , J . C . ら、1 9 7 7、 P r o c . N a t l . A c a d . S c i . U S A、7 4 : 5 3 5 0 - 5 3 5 4

【非特許文献 3 1 】 Kafatos, F. C. ら、1979、Nucleic Acids Res.、7:1541-1522

【非特許文献 3 2 】 H o l l a n d e r , M . C . ら、1 9 9 0 、 B i o t e c h n i q u e s 、9 : 1 7 4 - 1 7 9

【非特許文献 33】Watson, J. D. ら、1992、"Recombinant DNA"、第2版、W. H. Freeman and Company、ニューヨーク

【非特許文献34】Ausbelら、1987、"Current Protocols in Molecular Biology"、増補9、1990、John Wil ey and Sons、ニューヨーク州ニューヨーク

【非特許文献 3 5 】 Dale, R. N. K. ら、1973、Proc. Natl. Acad. Sci. USA、70:2238-2242

【非特許文献 3 6 】 H e c h , R . F . 、 1 9 6 8 、 S . A m . C h e m . S o c . 、 9 0 : 5 5 1 8 - 5 5 2 3

【非特許文献 3 7 】 B a r t o n , S . K . ら、1 9 9 2 、J . A m . C h e m . S o c . 、 1 1 4 : 8 7 3 6 - 8 7 4 0

【非特許文献 3 8 】 J o h n s o n , R . T . ら、1 9 8 3、 A n a l . B i o c h e m . 、1 3 3 : 1 2 5 - 1 3 1

【非特許文献 3 9 】 E r i c k s o n , P . F . ら、1 9 8 2、J . I m m u n o 1 . M e t h o d s、5 1 : 2 4 1 - 2 4 9

【非特許文献 4 0 】 M a t t h a e i , F . S . ら、1 9 8 6 . A n a l . B i o c h e m . 、1 5 7 : 1 2 3 - 1 2 8

【非特許文献41】Vander Ploeg,M.、Raap,A.K.、1988、 "New Frontiers in Cytology", Goerttler, K. 、Feichter, GE., Witte, S.編、13-21頁、Springer-Verlag、 ニューヨーク 【非特許文献42】Merrifield,R.B.、1963、J.Amer.Soc . 8 5 : 2 1 4 9 【非特許文献43】"Basic and Clinical Immunology" 、1991、Stites, D.F.およびTerr, A.I.編、Appleton and Lange、コネチカット州ノーウォーク、カリフォルニア州サンマテオ 10 【非特許文献44】KohlerおよびMilstein、1975、Nature、2 5 6 : 4 9 5 - 4 9 7 【非特許文献 45】Campbell、"Monoclonal Antibody T echnology, Production and Characterizatio n of Rodent and Human Hybridomas", Burdon ら編、1985、"Laboratory Techniques in Bioche mistry and Molecular Biology"、第13巻、Elsev ier Science Publishers、アムステルダム 【非特許文献46】Huseら、1989、Science、246:1275-128 20 【非特許文献 47】"Principles and Practice of unoassay"、1991、Christopher P.PriceおよびDav id, J. Neoman編、Stockton Press、ニューヨーク州ニューヨー 【非特許文献48】Methods in Immunodiagnosis、第2版、 RoseおよびBigazzi編、John Wiley and Sons、ニューヨ **-**ク、1980 【非特許文献49】Campbellら、Methods of Immunology 、W.A.Benjamin社、1964 【非特許文献 5 0 】Oellirich, M.、1984、J.Clin.Chem.C 30 lin.Biochem., 22:895-904 【非特許文献 5 1 】 H a r l o w および L a n e 編、 1 9 8 8、" A n t i b o d i e s . A Laboratory Manual", Cold Spring Harbor Press、Cold Spring Harbor、ニューヨーク 【非特許文献52】M.Bodanszky、1984、" Principles Peptide Synthesis"、Springer Verlag、ニューヨ ーク州ニューヨーク 【非特許文献 5 3 】Parker, K.ら、1992、J.Immunol.、149: 3 5 8 0 【非特許文献 5 4 】 K u b o , R T ら、 1 9 9 4 、 J . I m m u n o 1 .、 1 5 2 : 3 9 40 1 3 - 3 9 2 4 【非特許文献 5 5 】 R u p p e r t , J . ら、1993、C e l l 、74:929-93 【非特許文献 5 6 】 F a l k , K . ら、 1 9 9 1 、N a t u r e 、 3 5 1 : 2 9 0 - 2 9 【非特許文献 57】Coulie,P.ら、1992、International J ournal of Cancer, 50:289-297 【非特許文献 5 8】Mulligan,R.C.、1993、Science、260: 9 2 6 - 9 3 2 【非特許文献 5 9 】 Kawasaki, Y.ら、1989、J.Immunol.、14

2 : 2 4 5 3 - 3 4 6 1

```
【非特許文献 60】Rosenberg,S.A.ら、1992、Human Gene
 Therapy、3:75-90
【非特許文献 6 1】 Rosenberg, S.A.ら、1992、Human Gene
 Therapy、3:57-73
【非特許文献 6 2 】 Cabillyら、1987、Proc. Natl. Acad. Sc
i. USA、84:3439
【非特許文献 6 3 】N i s h i m u r a ら、 1 9 8 7 、C a n c . R e s . 、 4 7 : 9 9
【非特許文献 6 4 】Woodら、1 9 8 5、Nature、3 1 4 : 4 6 6
                                                      10
【非特許文献 65】Shawら、1988、J.Natl.Cancer     Inst.、
8 0 : 1 5 5 5 3
【非特許文献 6 6 】Morrison S.、1985、Science、229:12
【非特許文献 6 7 】O i ら、1 9 8 6、B i o T e c n i q u e s、4:2 1 4
【非特許文献 6 8 】 J o n e s ら、 1 9 8 6 、 N a t u r e 、 3 2 1 : 5 5 2
【非特許文献 6 9 】 V e r h o e y a n ら、 1 9 8 8 、 S c i e n c e 、 2 3 9 : 1 5 3
【非特許文献70】Biedleretら、1988、J.Immunol.、141:
4 0 5 3
                                                      20
【非特許文献 7 1】Goding, J.W.1983.Monoclonal Anti
bodies: Principles and Practice, Pladermic
Press社、ニューヨーク州ニューヨーク、pp.56-97
【非特許文献72】Vitettaら(1991)、"Biologic Therap
y of Cancer", De Vita VT, Hellman S., Rosen
berg, S.A.編、J.B.Lippincott社、フィラデルフィア
【非特許文献 7 3 】 Larson, S. M. ら (1991)、"Biological
Therapy of Cancer", De Vita V.T., Hellman
S.、Rosenberg,S.A.編、J.B.Lippincot社、フィラデルフ
ィア
                                                      30
【非特許文献74】Kwonら(1991)、Proc.Natl.Acad.Sci.
USA 88:9228-9232
【非特許文献75】Mareshら(1994)DNA and Cell Biolo
g y 13:87-95
【非特許文献76】Boon,T(1992)、Advances in Cancer
 Research、58:177-210
【非特許文献 7 7 】 Zemmour, J. ら(1992) Tissue Antigen
  40:221-228
【非特許文献 78】 ASHI Laboratory Manual、第2版、1990
【非特許文献 7 9 】 C e r u n d o l o , V . ら(1 9 9 0 ) N a t u r e 、 3 4 5 : 4
                                                      40
4 9 - 4 5 2
【非特許文献 8 0 】 S c h w a r t z e n t r u b e r , D . ら ( 1 9 9 1 ) J . I m m
unol. 146:3674-681
【非特許文献81】Kawakami,Y.ら(1988)J.Exp.Med.168
: 2 1 8 3 - 2 1 9 1
【非特許文献 8 2 】Miki, T.ら(1989)Gene; 8 3:137-146
【非特許文献83】Mikiら(1991)Proc.Nat.Acai.Sci.US
  8 8 : 5 1 6 7 - 5 1 7 1
【非特許文献 8 4 】 S e e d , B .および A r u f f o , A .( 1 9 8 7 ) P r o c . N
atl. Acad. Sci. USA 84:3365-3369
【非特許文献 8 5 】 C r o w l e y , N . J . ら ( 1 9 9 1 ) , J . I m m u n o l . 1
                                                      50
```

```
4 6 : 1 6 9 2 - 1 6 9 9
【非特許文献 8 6 】 Hunt, D. F. ら (1992)、Science 255:12
6 1 - 1 2 6 3
【非特許文献87】Nijman,H.W.ら(1993)、Eur.J.Immuno
1 . 2 3 : 1 2 1 5 - 1 2 1 9
【非特許文献88】 Zakut, R.ら(1993), Cancer Res.53:5
【非特許文献89】Knuth.A.ら(1989)、Proc.Natl.Acad.
Sci.USA 86:2804-2808
                                                       10
【非特許文献90】Wolfel,T.ら(1987),J.Exp.Med.170:
7 9 7 - 8 1 0
【非特許文献 9 1 】 S l i n g l u f f , C . L . ら ( 1 9 9 3 ) 、J . I m m u n o l
. 1 5 0 : 2 9 5 5 - 2 9 6 3
【非特許文献 9 2 】 S t o r k u s , W . J . ら ( 1 9 9 3 ) 、 J . I m m u n o l . 1
5 1 : 3 7 1 9 - 3 7 2 7
【非特許文献93】Nordlund, J.J.ら(1983)、J.Am.Acad.
Dermatol.9:689-695
【非特許文献 9 4 】 B y s t r y n , J - C ら ( 1 9 8 7 ) 、 A r c h . D e r m a t o
1 . 1 2 3 : 1 0 5 3 - 1 0 5 5
                                                       20
【非特許文献 9 5 】 Richards , J. M. ら (1992)、J. Clin. Onc
o l . 1 0 : 1 3 3 8 - 1 3 4 3
【非特許文献96】Cohen,T.ら(1990)Nucleic Acids Re
s . 1 8 : 2 8 0 7
【非特許文献 9 7 】 S h i l y a n s k y , J . ら ( 1 9 9 4 ) P r o c . N a t l . A
cad. Sci. USA 91:2829-2833
【非特許文献98】Kim,R.およびWistow,G.J.(1992)Exp.E
   Res. 55:657-662
【非特許文献99】Adema,G.I.ら(1993)Am.J.Pathology
. 1 4 3 : 1 5 7 9 - 1 5 8 5
                                                       30
【非特許文献100】Gown,A.M.ら(1986)Am J Pathol 12
3:195-203
【非特許文献101】Colombari,R.ら(1988)Virchows
chiv A Pathol Anat 413:17-24
【非特許文献102】Vennegoor,C.ら(1988)Am.J.Pathol
. 1 3 0 : 1 7 9 - 1 9 2
【非特許文献103】Vogel,A.M.およびEsclamado,R.M.(19
88) Cancer Res. 48: 1286 - 1294
【非特許文献104】Schaumburg-Lever,G.ら(1991)J.Cu
tan. Pathol. 18, 432-435
                                                       40
【非特許文献105】Bakker,A.B.H.ら(1994)J.Exp.Med.
1 7 9 : 1 0 0 5 - 1 0 0 9
【非特許文献106】Rosenberg,S.A.ら(1994)J.NCI.86:
1 1 5 9
【非特許文献107】Kubo, R Tら(1994)J. Immunol. 152:31
9 3
【非特許文献108】K a w a k a m i ,Y .ら(1994)J.E x p .M e d .18
0:347
```

【非特許文献109】Kawakami,Y.ら(1994)Proc.Natl.Ac

【非特許文献110】Sett A.ら(1994)Molecular Immuno

ad. Sci. USA 91:6458

20

30

40

50

1 . 3 1 : 8 1 3

【非特許文献 1 1 1 】 K a w a k a m i , Y . (1994) P r o c . N a t l . A c a d . S c i . U S A 91:3515

【非特許文献 1 1 2 】Wolfel, T. (1994) Eur. J. Immunol. 2 4:759

【非特許文献 1 1 3 】 Cox, A. L. ら(1994). Science 264:71

【非特許文献 1 1 4 】Rivoltini, Lら(1995) J. Immunol. 15 4:2257-2265

【発明の概要】

【発明が解決しようとする課題】

[0010]

発明の概要

本発明は、一般的には、Tリンパ球によって認識されるメラノーマ抗原をコードする核酸配列(MART-1)、ならびにこれらの配列によってコードされるタンパク質およびペプチドに関する。さらに、本発明は、これらの核酸配列、タンパク質およびペプチドのバイオアッセイを提供する。また、本発明は、MART-1アミノ酸配列より誘導され、それらの免疫原性を増強するように修飾したペプチドを提供する。また、本発明は、ここに記載された核酸配列、タンパク質、ペプチドまたは修飾ペプチドの治療への使用を、提供する。

[0011]

本発明の一般的な目的は、MART・1メラノーマ抗原をコードする、実質的に精製され単離された核酸配列を提供することにある。

本発明のその他の目的は、ベクターおよび MART - 1 をコードする核酸配列の全体または部分からなる組換え分子を提供することにある。

[0012]

本発明のその他の目的は、MART - 1をコードする核酸配列の全体または部分によってコードされる組換えタンパク質を作り出すことにある。

本発明のさらなる目的は、MART - 1 タンパク質、ペプチドまたはその部分と反応するモノクローナルまたはポリクローナル抗体を提供することにある。

[0013]

本発明の目的は、生体サンプル中のMART-1遺伝子またはMART-1 mRNAを検出する方法を提供することにある。

本発明のその他の目的は、生体サンプル中のMART - 1 タンパク質またはペプチドを 検出する方法を提供することにある。

[0014]

本発明の目的は、ヒトの病気、特にメラノーマおよび転移性メラノーマの診断法を提供することにある。

本発明のさらなる目的は、MART-1をコードする核酸配列の全部または部分およびその対応タンパク質またはMART-1アミノ酸配列より誘導したペプチドからなる、予防的または治療的使用方法を提供することにある。

[0015]

また、本発明の目的は、MART-1をコードする核酸配列全体あるいは部分またはその対応タンパク質からなる、メラノーマを予防または治療するための、メラノーマワクチンを提供することからなる。

[0016]

本発明のさらなる目的は、ワクチンに用いるための、MART-1タンパク質配列より誘導した免疫原性ペプチドを提供することにある。

本発明のその他の目的は、MART・1タンパク質配列由来ペプチドの免疫原性を増加

させるか、またはそれらペプチドのMHC分子との結合を強化することによって抗メラノーマ免疫応答の誘発を強化するように修飾した、MART - 1 タンパク質配列由来ペプチドを、ここに記載したような予防的または治療的方法に用いるために、提供することにある。

[0017]

さらに、本発明のその他の目的は、MART-1核酸配列の全体あるいは部分またはその対応タンパク質あるいはペプチド、および哺乳動物内でメラノーマ抗原に対する抗体産生を促進する能力を持つ少なくとも1つの免疫原性分子を含む、多価ワクチンを提供することにある。

[0018]

本発明のその他の目的は、MART-1核酸配列の全体あるいは部分またはその対応タンパク質を遺伝子治療のプロトコールに用いて、メラノーマを予防または治療する方法を提供することにある。

[0019]

本発明のさらなる目的は、ワクチンに用いるための、gp100メラノーマ抗原タンパク質配列に由来する免疫原性ペプチドを提供することにある。

本発明のさらなるその他の目的は、gp100メラノーマ抗原配列由来ペプチドの免疫原性を増加させるか、またはMHC分子との結合を強化することによって抗メラノーマ免疫応答の誘発を強化するように修飾したgp100メラノーマ抗原由来ペプチドを、ここに記載したような予防的治療的方法に用いるために、提供することにある。

[0020]

本発明のさらなるその他の目的は、ここに記載したワクチンを用いた、メラノーマの予防的治療的免疫化法を提供することにある。

本発明のさらなる目的は、免疫療法のための潜在的標的を構成するであろうメラノーマ抗原を同定する方法を提供することにある。

[0021]

本発明のさらなるその他の目的は、免疫療法に用いるための、MART - 1配列またはgp100配列のいずれかに由来する免疫原性ペプチド候補を同定する方法を提供することにある。

【図面の簡単な説明】

[0022]

【図1】図1は、MART-1抗原をコードする c DNA ヌクレオチド配列および推定アミノ酸配列を示す。疎水性領域を下線で示す。

【図2】図2Aおよび図2Bは、TILによって認識されるMART-1ペプチドの滴定について示している。T2細胞を、様々な濃度の精製MART-1ペプチド、M9-1、M9-2、M9-3、M10-4およびM10-5と共にインキュベートし、TILクローンA42(図2A)またはTIL細胞株TIL1235(図2B)による溶解を、E(エフェクター):T(標的)比をA42では20:1、TIL1235では40:1として、4時間-⁵¹Cr遊離細胞毒性アッセイによって測定した。ペプチドM9-2は、1ng/m1の濃度でT2細胞を感受性にした。精製したペプチドM10-4は、TIL1235によって認識されたが、A42によっては認識されなかった(M9-1 | - |、M9-2 - 、M10-5 + + +)。

【図3】図3Aは、自己由来^{1 1 1} In標識TIL1200の養子免疫伝達を受けた後の転移性メラノーマ患者1200の放射性核種スキャンを示す。矢印は、左腿の転移病巣に該当するTIL蓄積領域の1つを示す。図3Bは、TIL1200+IL-2で治療後の皮下の転移腫瘍の退縮を示す。治療は0日に開始した。

【 図 4 】 図 4 A および図 4 B は、 c D N A 2 5 の全長核酸配列を示す。開始コドンおよび 停止コドンを下線で示す。

【図5】図5Aは、cDNA25の全長アミノ酸配列を示す。抗原ペプチドを下線で示す

10

20

30

40

。図 5 B は、全長 c D N A 2 5 (c D N A 2 5 F L)、端を切り取った形の c D N A 2 5 (c D N A 2 5 T R)、 P m e 1 1 7、 M E 2 0 および g p 1 0 0 のアミノ酸配列の比較を示す (は欠損を示し; - は同一を示す)。

【図6】図6A、図6Bおよび図6Cは、メラノーマ(図6A)および新生児メラノサイト細胞株(図6B)および様々な新鮮組織(図6C)(10~20μgの全RNA)と、c DNA25プローブ(pCRII‐c DNA25のSa1I消化断片)および ・アクチンプローブ(クローンテック)とのノーザンブロット解析を示す。C32、586me1メラノーマ細胞株およびNHEM529、NHEM530新生児メラノサイト細胞株は、非常に弱い陽性であった。

【図7】図7A~図7Bは、gp100エピトープおよびエピトープ解析で試験したDNA断片の位置ならびにCTLによる認識を示す。図7A;エピトープ解析で試験した5つのDNA断片(D3、D5、D4、C4、25TR)を示す(---、同一アミノ酸)。同定されたエピトープの位置を下線で示す。図7B;HLA-A2.1cDNAと共に、pcDNA3プラスミド中のそれぞれのDNA断片をトランスフェクトしたCOS7細胞のCTL(620-1、620-2、660-1、1143、1200)による、IFN- 分泌アッセイによる認識を示す(+、認識;-、非認識)。

【図8】図8A~図8Dは、CTL溶解に対してHLA-A2.1+T2細胞を増感させることによるgp100の滴定を示す。ペプチドと共にあらかじめインキュベートしたT2細胞の溶解は、4時間-⁵¹Cr遊離細胞毒性アッセイで試験した。図8A;G9₁₅4()またはG10₁₅₄()と共にインキュベートしたT2細胞のTIL1200による溶解。図8B;G9₂₀₉()またはG10₂₀₈()と共にインキュベートしたT2細胞のTIL620による溶解。図8C;G9₂₈₀()と共にインキュベートしたT2細胞のTIL660-1による溶解。図8D;G10-5()と共にインキュベートしたT2細胞のTIL660-2による溶解。

【発明を実施するための形態】

[0023]

発明の詳細な説明

本発明をより完全に理解するために、以下の定義をここに記載する。核酸配列は、これに限定されるわけではないが、DNA、RNAまたは cDNAを含む。ここで用いられる核酸配列は、単離精製した核酸配列を指す。MART-1メッセンジャーRNA(mRNA)は、MART-1遺伝子の生成物である1種以上のRNA転写物を指す。ここで用いられている実質的に相同とは、図1に示すMART-1核酸配列(配列番号1)と任意のその他の核酸配列のそれとの間の実質的な一致を指す。実質的に相同とは、MART-1配列とその他の任意の核酸配列のそれとの間で、約50~100%の相同性、望ましくは約70~100%の相同性、最も望ましくは約90~100%の相同性を意味する。さらに、ここで用いられる実質的に相同とは、図1に示すMART-1抗原のアミノ酸配列(配列番号2)と任意のその他のアミノ酸配列のそれとの間の実質的な一致をも指す。

[0024]

主要組織適合性複合体(MHC)は、ヒト白血球抗原(HLA)を含む、異なる種に記載される組織適合性抗原のシステムを包括して意味する一般的な名称である。

メラノーマという言葉は、限定するわけではないが、黒色腫、転移性黒色腫、メラノサイトまたはメラノサイト関連母斑細胞に由来する黒色腫、悪性黒色腫、黒色上皮腫、黒色肉腫、本来の位置(insitu)の黒色腫、表在拡大型黒色腫、結節型黒色腫、悪性黒子型黒色腫、末端黒子型黒色腫、侵襲性黒色腫、または家族性異型性母斑および黒色腫(FAM-M)症候群を含む。哺乳動物のそのようなメラノーマは、染色体異常、退行性成長発達障害、分裂促進剤、紫外線照射(UV)、ウイルス感染、遺伝子の不適切組織での発現、遺伝子発現の変化、または発癌剤に原因を有する場合もある。前述のメラノーマは、本出願に記載した方法に従って、診断、評価または治療することが出来る。

[0025]

非定型母斑とは、異常かつ前癌状態の特徴を持つ母斑を意味する。

10

20

30

40

メラノーマ抗原または免疫原とは、哺乳動物中の細胞性あるいは体液性免疫応答の原因となり得る、MART-1タンパク質の全てあるいはその部分またはMART-1タンパク質配列を基礎としたペプチドを意味する。そのような抗原はまた、MART-1タンパク質(配列番号2)の全て、一部または複数の部分を用いて免疫化された動物の抗体と反応するであろう。そのようなタンパク質またはペプチドは、本発明のMART-1核酸配列の全てまたは部分によってコードされるであろう。

[0026]

免疫原性ペプチドとは、哺乳動物中で細胞性あるいは体液性免疫応答の原因となり得る、MART - 1 タンパク質配列またはgp100タンパク質配列に由来するペプチドを意味する。そのようなペプチドは、ペプチドで免疫化された動物の抗体と反応するであろう。そのようなペプチドは、アミノ酸の長さが約5~20、望ましくは約8~15、最も望ましくは約9~10である。

[0027]

当業者は、本発明のバイオアッセイが任意の脊椎動物種の生体サンプルまたは組織の分析に用い得ることを理解するであろう。望ましい実施態様では、哺乳類の生体サンプルまたは組織が分析される。

[0028]

組織は、単一細胞、臓器全体およびその部分を含むが、これらに限定されるわけではない。生体サンプルは、組織、哺乳動物組織の初代培養物、生体組織検査(生検)検体、病理検体、および検死検体を含むが、これらに限定されるわけではない。哺乳動物は、ヒト、サル、イヌ、ネコ、ネズミ、ラット、ブタ、ウシ、ブタ、ウマ、ヒツジおよびヤギを含むが、これらに限定されるわけではない。

[0029]

本発明は、T細胞によって認識される、新規のメラノーマ抗原をコードする核酸配列を提供する。この新規メラノーマ抗原は、MART-1(Melanoma Antigen Recognized by T-cells-1)と呼ぶ。MART-1は、いかなる既知のメラノーマ抗原とも意味のある相同性を示さず、それ故新しいメラノーマ抗原であると言える。MART-1抗原は、アミノ酸27~47位(配列番号2)とそれに続く3つのアルギニン残基からなる高疎水性領域を含み、この配列は膜貫通タンパク質を示唆している。タンパク質全体とは明らかな相同性は存在しなかったが、以前にネズミのナチュラルキラー細胞表面タンパク質NKR-P1(非特許文献21)として認知された、II型膜タンパク質と37%の同一性を示す、27アミノ酸からなるセグメント(アミノ酸57~83位;配列番号2)が存在する。MART-1は、多くのI型膜タンパク質の特徴であるリーダータンパク質を含まない(非特許文献22)。

[0030]

MART-1RNAの発現は、新鮮なおよび培養したメラノーマおよびメラノサイト細胞株およびヒト網膜に限定されるようであり、この発現は、試験したその他のいかなる新鮮なまたは培養した組織またはその他の腫瘍組織にも見出されなかった。MART-1のcDNA配列を図1(配列番号1)に示す。また、MART-1タンパク質の推定アミノ酸配列を図1(配列番号1)に示す。

[0031]

図1(配列番号1)に示すMART-1核酸配列は、本発明の望ましい実施態様を表している。しかしながら、遺伝子コードの縮重によって、図1(配列番号1)に示す c D N A 配列を変化させても、依然としてMART-1タンパク質抗原をコードすることの出来る D N A 配列が結果として得られるであろうことは、当業者に理解される。それ故、そのような D N A 配列は、図1(配列番号1)に示した配列と機能的に等価であり、本発明の内に包含されるであろう。さらに、当業者は、図1(配列番号1)に示すMART-1核酸配列が所定の種の中で対立遺伝子変化を自然に起こすことを理解するであろう。これらの変化もまた、本発明に包含されるであろう。

[0032]

50

10

20

30

予想されるMART-1抗原は、約13kDの118アミノ酸からなるタンパク質である。本発明は、さらに、本発明のMART-1抗原またはタンパク質と実質的に同一の機能を持つ、MART-1タンパク質またはペプチドまたはその類似体を含む。そのようなタンパク質またはポリペプチドは、タンパク質断片、またはMART-1タンパク質の置換、付加、あるいは欠損変異体を含むが、これらに限定されるわけではない。また、本発明は、MART-1抗原と実質的に相同であるタンパク質またはペプチドを包含する。実質的に相同とは、MART-1と任意のその他のアミノ酸配列またはタンパク質またはペプチドとの間の、約50~100%の相同性、望ましくは約70~100%の相同性、最も望ましくは約90~100%の相同性を意味する。

[0033]

「類似体」という言葉は、具体的にここに示したMART-1配列(図1、配列番号1)と実質的に同一なアミノ酸残基配列を持つ任意のポリペプチドであって、その1つ以上の残基が機能的に同様の残基と保存的に置換され、かつここに記載したようなMART-1抗原の機能的態様を示している、前記のポリペプチドを含む。保存的置換の例としては、イソロイシン、バリン、ロイシンまたはメチオニンのような非極性(疎水性)残基の1つをそれ以外の非極性残基と置換すること、アルギニンとリジンとの間、グルタミンとアスパラギンとの間、グリシンとセリンとの間、のように、極性(親水性)残基の1つをもう1つと置換すること、リジン、アルギニンまたはヒスチジンのような塩基性残基の1つをそれ以外の塩基性残基と置換すること、アスパラギン酸またはグルタミン酸のような酸性残基の1つをそれ以外の酸性残基と置換することが含まれる。

[0034]

また「保存的置換」という語句は、非誘導体化残基の代わりに化学的に誘導体化した残 基を用いることを含む。「化学的誘導体」とは、官能基側鎖の反応によって化学的に誘導 体化した1つ以上の基を持つ対象ポリペプチドを指す。そのような誘導体化分子の例とし ては、例えば、遊離アミノ基を誘導体化して、アミン塩酸塩、p-トルエン硫酸基、カル ボベンゾキシ基、t.ブチルオキシカルボニル基、クロロアセチル基またはホルミル基を 形成するようなそれらの分子が含まれる。遊離カルボキシル基を誘導体化して、塩、メチ ルおよびエチルエステルあるいはその他の型のエステルまたはヒドラジンを形成させても 良い。遊離水酸基を誘導体化して、 o - アシルまたは o - アルキル誘導体を形成させても 良い。ヒスチジンのイミダゾール窒素を誘導体化して、N-im-ベンジルヒスチジンを 形成させても良い。また、化学的誘導体としては、20の標準アミノ酸の1つ以上の自然 発生アミノ酸誘導体を含む、タンパク質またはペプチドを含む。例えば:4-ヒドロキシ プリンはプリンと置換されて良く;5-ヒドロキシリジンはリジンと置換されて良く;3 - メチルヒスチジンはヒスチジンと置換されて良く; ホモセリンはセリンと置換されて良 く;またオルニチンはリジンと置換されて良い。また、必要な活性が維持される限り、本 発明のタンパク質またはポリペプチドは、その配列がMART - 1のDNAにコードされ るポリペプチドの配列と関連する、1つ以上の残基の付加および/または欠損を持つ任意 のポリペプチドを含む。

[0035]

また、本発明は、MART-1核酸配列(配列番号1)の全体または部分およびベクターからなる組換えDNA分子を提供する。本発明で用いるに適した発現ベクターは、核酸配列に機能し得るように結合させた少なくとも1つの発現制御エレメントからなって良い。発現制御エレメントは、ベクター中に挿入され、核酸配列の発現を制御調節する。発現制御エレメントの例として、1acシステム、ファージ のオペレータおよびプロモーター領域、酵母プロモーター、ならびにポリオーマ、アデノウイルス、レロトウイルスまたはSV40から誘導したプロモーターが含まれるが、これらに限定されるわけではない。当ましいかまたは必要とされる機能エレメントには、リーダー配列、終止コドン、ポリアデニル化シグナル、ならびに宿主システム中で核酸配列を適切に転写し次いで翻訳するに必要なまたは望ましいその他の任意の配列が含まれるが、これらに限定されるわけではない。当業者は、必要または望ましい発現制御エレメントの適切な組み合わせは、

10

20

30

40

選択した宿主のシステムに依存することを理解するであろう。さらに、発現ベクターは、宿主システム中で核酸配列を含む発現ベクターを伝達し次いで複製するに必要なエレメントをさらに含むべきであることを理解するであろう。そのようなエレメントの例としては、複製起源および選択マーカーが含まれるが、これらに限定されるわけではない。さらに、当業者は、そのようなベクターが従来の方法を用いて容易に構築され(非特許文献23)、または商品として入手できることを理解するであろう。

[0036]

本発明のその他の態様は、MART-1核酸配列の全体または部分を含む組換え発現ベクターが挿入された宿主生物体に関する。本発明のMART-1核酸配列で形質転換される宿主細胞には、動物、植物、昆虫および酵母細胞のような真核生物、ならびに大腸菌のような原核生物が含まれる。遺伝子を運ぶベクターを細胞中に導入する手段としては、DEAEデキストラン法、リポフェクション、リン酸カルシウム法あるいはその他の当業者に既知の方法(非特許文献24)を用いたマイクロインジェクション、エレクトロポレーション、形質導入、またはトランスフェクションが含まれるが、これらに制限されるわけではない。

[0037]

望ましい実施態様では、真核生物細胞内で機能する真核生物発現ベクターが用いられる。そのようなベクターの例としては、これらに限定されるわけではないが、レトロウイルスベクター、ワクシニアウイルスベクター、アデノウイルスベクター、ヘルペスウイルスベクター、発症ウイルスベクター、細菌発現ベクター、pcDNA3(インビトロジェンベカリフォルニア州サンディエゴ)のようなプラスミド、またはバキュウロウイルスンベクターが含まれる。望ましい真核生物細胞株には、COS細胞、CHO細胞、Heltaには、NIH3T3細胞、これらに限定されるわけではない。特に望まと細胞、または単核細胞が含まれるが、これらに限定されるわけではない。特に望まが出たの関係では、組換えMART-1タンパク質発現ベクターは、MART-1タンパク質発現ベクターは、MART-19のには単核細胞のような哺乳動物細胞に導入される。別の実施態様では、MART-1 DNAが、COS7(非特許文献25)中に導入される。適当な細胞の選択は、当業者の内にある。

[0038]

ある実施態様では、発現した組換えMART・1タンパク質は、MART・1タンパク質に特異的な抗体を用いたクマシーブルー染色およびウエスタンブロッティングを含むこの技術分野で既知の方法に従って、検出されるであろう。

[0039]

さらなる実施態様では、宿主細胞によって発現した組換えタンパク質は、粗溶解物として得られるか、または分別沈殿、モレキュラーシーブクロマトグラフィー、イオン交換クロマトグラフィー、等電点電気泳動、ゲル電気泳動、親和性および免疫親和性クロマトグラフィーおよびその類似物などを含む、この技術分野で既知の標準的なタンパク質精製法によって精製することが出来る(非特許文献23)。免疫親和性クロマトグラフィーの場合には、組換えタンパク質は、MART-1タンパク質に特異的な抗体を結合させた樹脂を含むカラムを通過させることによって精製されるであろう(非特許文献23)。

[0040]

本発明の核酸配列またはその部分は、正常なおよび病的な組織中でのMART-1遺伝子発現を検出するプローブとして有用である。それ故、本発明のその他の態様は、(a)本発明の核酸配列の全体または部分を、生体サンプルと、核酸配列とmRNAとの間で複合体を形成させるような条件下で接触させ、(b)該複合体を検出し、さらに(c)該mRNAのレベルを定量する:工程からなる、生体サンプル中のMART-1タンパク質をコードするmRNAを検出するバイオアッセイに関する。

[0041]

50

10

20

30

20

30

40

50

RNAは、全細胞RNAとして、またはポリ(A) [†] RNAとして単離することが出来る。全細胞RNAは、当業者に既知のいろいろな方法によって単離できる(非特許文献23)。そのような方法には、分別沈殿によるRNA抽出(非特許文献26)、有機溶媒によるRNA抽出(非特許文献27)、および強変性剤によるRNA抽出(非特許文献28)が含まれる。ポリ(A) [†] RNAは、オリゴ d(T)カラムを用いた親和性クロマトグラフィー(非特許文献29)によって、全細胞RNAから選択することが出来る。工程(c)の細胞内mRNAレベルを定量する方法の例としては、これに限られるわけではないが、ノーザンブロッティング(非特許文献30)、ドットスロット・ハイブリダイゼーション(非特許文献31)、フィルターハイブリダイゼーション(非特許文献31)、RNase的御(非特許文献31)、ポリメラーゼ連鎖反応(非特許文献33)および核ランオフアッセイ(非特許文献34)が含まれる。

[0042]

また、バイオアッセイの工程(b)の複合体の検出は、様々な技術によって実行することが出来る。シグナル増幅による複合体の検出は、放射性標識および酵素を含むいく3つの従来の標識技術によって成し遂げることが出来る(非特許文献24、非特許文献23)。また、放射性標識キットは、商品として入手することが出来る。バイオアッセイのまたは「Co)でプローブとして用いられるMART-1核酸配列は、RNAであっても、まポリスクレオチドキナーゼを用い、32Pで標識する望ましい方法は、RNAポリメラーゼを用い、32Pまたは35Sで標識する望ましい方法は、RNAポリメラーゼを用い、32Pまたは35Sで標識する望ましい方法は、RNAポリメラーゼを用い、32Pまたは35Sで標識する望ましい方法は、RNAポリメラーゼを用い、32Pまたは35Sで標識する望ましい方法は、RNAポリメラーゼを用い、32Pまたは35Sで標識する望まして、ピリミジンおよびプリン環に化学基を付着させる方法(非特許文献35、非特許文献35、非特許文献37)および市る方法(非特許文献38、非特許文献39、非特許文献40)、および商品として入手できる製品を用いた蛍光による検出方法を含む、放射能によらないシグナル増幅技術が知られている。

[0043]

このバイオアッセイ中で用いることの出来る生体サンプルの例としては、これらに限られるわけではないが、哺乳動物の初代培養物、メラノサイト細胞株のような哺乳動物の継代細胞株、皮膚または網膜のような哺乳動物の臓器、組織、生体組織検査検体、新生物、病理検体、および検死検体が含まれる。

[0044]

望ましい実施態様では、実施例 1 に例示されているように、 3 2 P放射性標識 M A R T - 1 プローブが用いられる。望ましい M A R T - 1 プローブは、図 1 の全長 c D N A (配列番号 1) である。おおよそ 1 . 6 k b の c D N A (図 1;配列番号 1) は、ベクター内へクローン化され、得られたプラスミドは、A m e r i c a n T y p e C u 1 t u r e C o 1 l e c t i o n (A T C C)、12301 Park l a w n D r i v e 、メリーランド州ロックビル 20852、米国に1994年4月14日に寄託され、A T C C 受託番号 75738を付与された。全長 M A R T - 1 核酸配列は、 p C R I I プラスミドを H i n d I I I および X h o I 制限酵素で消化することによって単離することが出来る。この 1 . 6 k b の核酸配列は、 次に、 プローブとして用いることが出来る。このプローブは、様々な組織あるいは生体サンプルから単離された全 R N A またはポリ A $^+$ R N A 中の M A R T - 1 m R N A の検出に用いられる。

[0045]

その他の実施態様では、図1(配列番号1)のMART-1配列を基にしたオリゴヌクレオチド対の組み合わせは、生体サンプル中のMART-1 mRNAを検出するためのポリメラーゼ連鎖反応(PCR)プライマーとして用いられる。これらのプライマーは、選択されたRNA核酸配列を増幅するための逆転写ポリメラーゼ連鎖反応(RT-PCR)工程後の方法中で用いることが出来、その詳細は、非特許文献23の15章に記載されている。オリゴヌクレオチドは、様々な製造者によって販売されている自動装置によって合成することが出来、あるいは、本発明の核酸配列を基にして商品として製造することも

20

30

40

50

できる。当業者は、サンプル中のMART - 1 RNAを増幅させるための、MART - 1 核酸配列を基にしたPCRプライマーを選択する方法を知るであろう。

[0046]

本発明のMART-1核酸配列またはその部分(図1:配列番号1)は、正常または異常な哺乳動物組織中のMART-1遺伝子の変化を検出するのに有用である。変化とは、MART-1遺伝子配列の付加、欠失、置換あるいは重複、またはMART-1遺伝子配列の遺伝子増幅を意味する。それ故、本発明のその他の態様は、(a)本発明の核酸配列の全体または部分を、生体サンプルから単離したゲノムDNAと、該核酸配列と該ゲノムDNAの間で複合体が形成されるような条件下で接触させ、(b)該サンプルを検出し、さらに、(c)対照サンプルと比較することによって、該MART-1遺伝子中の変化を決定する:工程からなる、生体サンプル中のMART-1遺伝子の変化を検出するためのアッセイに関する。

[0047]

生体サンプルからDNAを単離し、遺伝子中の変化を検出し、MART-1核酸プローブとゲノムDNA配列との複合体を検出するための、標準的方法は、非特許文献24、および非特許文献23のようなマニュアルに提供されている。

[0048]

[0049]

MART-1タンパク質の全体またはその部分は、メラノーマ細胞上に提示される抗原であることが知られている。それ故、本発明のその他の態様では、病気に苦しむ哺乳動物から単離した生体サンプル中のMART-1 RNAまたはMART-1 mRNAのレベルの変化の検出に用いられるMART-1 核酸プローブを提供する。そのような病気の例としては、これらに限られるわけではないが、メラノーマが含まれる。MART-1 mRNAレベルの変化とは、対照となるサンプルと比較したRNAレベルの増加あるいは減少、または対照サンプルと比較したMART-1 mRNAの出現あるいは消滅を意味する。MART-1 mRNAの変化の検出は、病状の診断または評価を可能にするであろう。それ故、MART-1 mRNAレベルの変化は、罹患した哺乳動物の予後を予想するであろう。

[0050]

その他の実施態様では、本発明の核酸は、哺乳動物組織のin situハイブリダイゼーションに用いられ、組織内でのMART-1遺伝子発現の正確な位置または細胞内での位置を決定することが出来る。MART-1核酸配列を標識する望ましい方法は、SP6ポリメラーゼを用いた生体外での転写による³⁵S標識RNAプローブを合成することである。MART-1プラスミド(ATCC受託番号75738)では、センス鎖はT7プロモーターの制御下にあり、アンチセンス鎖はSP6プロモーター制御下にある。プローブは、おおよそ長さ400~200塩基対のプローブに加水分解されることが望ましい。組織をin situハイブリダイゼーションのために調製し、プローブを合成し、シグナルを検出する従来の方法は、非特許文献23の14章および非特許文献41に見出すことが出来る。次いで、プローブを哺乳動物の組織切片と接触させ、そのままの位置で、従来の方法によって解析が行われる。用い得る組織の例としては、哺乳動物の胚、皮膚、

リンパ節および網膜のような哺乳動物成体組織、生検検体、病理検体および検死検体が含まれるが、これらに限られるわけではない。望ましい実施態様では、MART-1 insituハイブリダイゼーション用プローブは、侵襲性初期メラノーマの病変組織中でMART-1 RNAの発現を評価してメラノーマ病変の急激な垂直増殖期を特徴付けるために、また組織内での病変の辺縁を評価するために用いられても良い。

[0051]

本発明のさらなるその他の実施態様では、MART-1(配列番号1)核酸配列の全体またはその部分は、トランスジェニック動物を作り出すために用いることが出来る。望ましくは、MART-1遺伝子は、胚形成期、望ましくは1細胞期、一般的には8細胞期より以前に、動物または動物の原細胞に導入される。MART-1遺伝子を持つトランス・コープを使用することがある。その1つの方法は、MART-1配列の上でまたは部分を持つレトロウイルスを使用することからなる。トランス遺伝子を自投注入することを含む。さらなるその他の方法としては、下のにトランス遺伝子を直接注入することを含む。さらなるその他の方法としては、業者に既知の胚幹細胞法または相同組換え法が用いられる。MART-1トランス遺伝子を導入できる動物の例としては、霊長類、マウス、ラットまたはその他の齧歯類が含まれるが、これらに限られるわけではない。そのようなトランスジェニック動物は、メラノーマ研究用生体モデルとして、また、メラノーマの診断法または治療法を評価するために有であるう。

[0052]

さらに、本発明は、MART-1タンパク質、または、図1(配列番号2)に定義した アミノ酸配列あるいはその特有部分を持つ、ペプチドまたは修飾ペプチドまたはその類似 体と反応するひとつの抗体または複数の抗体類からなる。本発明の実施態様では、抗体は 起源的にモノクローナルまたはポリクローナルである。抗体を産生するために用いられ る MART-1タンパク質またはペプチドは、天然物または組換え体を源にして良く、化 学合成によって合成しても良い。天然MART・1タンパク質は、哺乳動物の生体サンプ ルから単離することが出来る。生体サンプルには、新鮮なメラノーマ、皮膚、網膜のよう な、哺乳動物組織、メラノーマ培養物あるいは培養メラノサイトのような哺乳動物細胞の 初代培養物または継代培養物が含まれるが、これらに限られるわけではない。天然MAR T-1タンパク質は、組換えタンパク質の単離法として上に記載した方法と同一の方法で 単離しても良い。組換えMART・1タンパク質またはペプチドは、従来の方法で産生し て良く、また従来の方法で精製しても良い。合成MART - 1ペプチドは、本発明の推定 アミノ酸配列(図1;配列番号2)を基にして特別注文するかあるいは商品として製造す るか、または当業者に既知の方法(非特許文献42)によって合成しても良い。MART - 1 ペプチドの例としては、AAGIGILTV(M9-2;配列番号4)、EAAGI GILTV(M10-3;配列番号17)およびAAGIGILTVI(M10-4;配 列番号18)(ペプチドは、1文字アミノ酸コードで表す)が含まれるが、これらに限ら れるわけではない。最も望ましいペプチドは、AAGIGILTV(配列番号4)である

[0053]

別の方法として、MART-1タンパク質配列に由来するペプチドは、ペプチドが存在しているMHC分子とペプチドとの結合を強化することによってそれらの免疫原性を増加させるように修飾しても良い。用いられて良いそのような修飾MART-1ペプチドの例は、表14に示すペプチドであるが、これらに限定されるわけではない。望ましい実施態様では、MHCクラスIとの結合を強化するように修飾されたMART-1ペプチドは、AAGIGILTV(配列番号4)である。修飾ペプチドの例としては、ALGIGILTV(M9-2-1W)(配列番号53)、FAGIGILTV(M9-2-1F)(配列番号54)およびAAYIGILTV(M9-2-3Y)(配列番号58)が挙げられる。ペプチドまたは修飾ペプチドは、ペプチドの抗原性を強化するためにキャリヤー分子と結合させても良い。キャリ

10

20

30

40

20

30

40

50

ヤー分子の例としては、これらに限定されるわけではないが、ヒトアルブミン、ウシアルブミン、リポタンパク質およびキーホールリンペットへモシアニン(非特許文献 4 3)が含まれる。

[0054]

本発明の検出方法として用いられる典型的な抗体分子は、完全な免疫グロブリン分子、実質的に完全な免疫グロブリン分子、または、抗原結合部位を含む免疫グロブリン分子の部分であり、F(ab)、F(ab)、F(ab)」およびF(V)としてこの技術分野で既知のそれら免疫グロブリン分子の部分を含む。ポリクローナルまたはモノクローナル抗体は、この技術分野で既知の方法に従って産生して良い(非特許文献 4 4 ; 非特許文献 4 5)。また、抗体または抗原結合断片は、遺伝子工学によって作り出されても良い。大腸菌内で重鎖と軽鎖の両方の遺伝子を発現させる技術は、PCT特許出願:特許文献 2 および特許文献 3 、ならびに非特許文献 4 6 の主題である。

[0055]

本発明の抗体は、天然のまたは変性させたMART-1タンパク質、ペプチドあるいはその類似体、または修飾ペプチドあるいはその類似体と反応するであろう。抗体が用いられる具体的なイムノアッセイは、抗体に望ましいように行われるであろう。抗体は、MART-1タンパク質あるいはその部分に対して、またはMART-1アミノ酸配列に相同な合成ペプチドに対して産生されて良い。

[0056]

1つの実施態様では、本発明の抗体は、生体サンプル中の新規MART-1タンパク質を検出するためにイムノアッセイに用いられる。この方法では、本発明の抗体を生体サンプルと接触させ、MART-1抗原と抗体との間の複合体の形成を検出する。本発明のイムノアッセイは、ラジオイムノアッセイ、ウエスタンプロットアッセイ、免疫蛍光アッセイ、酵素イムノアッセイ、化学蛍光アッセイ、免疫組織化学アッセイおよびその類似アリセイなどであって良い(非特許文献47、非特許文献49に記載されており、これら可に援用される。そのようなアッセイは、以下に記載されており、これの時に記載されており、これの時に記載されてより、間接の、競合的または非競合的イムノアッセイであって良い(非特許文献47、非特許文献50)。そのような検出アッセイに適当な生体サンプルは、哺乳動物組織、メラノーマおよびメラノサイト細胞株、皮膚、胚、リンパ節、病理検体、検死検体、および生検検体を含む。タンパク質は、以下に記載の従来の方法で、生体サンプルから単離されて良い(非特文献23)。

[0057]

本発明の抗体は、それ故、病気または疾病に苦しむ哺乳動物から単離した生体サンプル中の、MART-1抗原またはMART-1抗原の発現レベルの変化を検出するわけではないが、哺乳動物組織、生検組織サンプルの例としては、これらに限定されるわけではないが、哺乳動物組織、生検組織サンプル、メラノーマおよびリンパ節生検サンプル、理および組織サンプルで含まれる。これらのイムノアッセイによって評価できる病気のをしては、これらに限定されるわけではないが、メラノーマおよびメラーマが次に転でするが次に転びの組織が含まれる。発現レベルの変化とは、対照サンプルと比較してのMART-1タンパク質の置換、欠失または付加変異を包含する。そのような変異は、MART-1タンパク質に特異的なエピトープと反応することが知られている本発明の抗体を用いることが知られて、また対照と比較してエピトープが存在するか否かを決定することによって、また対照と比較してエピトープが存在するか否かを決定することによって、また対照と比較してエピトープが存在するか否かを決定することによって、また対照と比較してエピトープが存在するか否かを決定することによって、また対照と比較してエピトープが存在するか否かを決定することによって、また対照と比較してエピトープが存在するか否かを決定することによって決定することが出来る。それ故、本発明の抗体は、病気に罹った哺乳動物を診断、評価、予知するためのイムノアッセイに用いることが出来る。

[0058]

望ましい実施態様では、本発明のMART-1抗体は、免疫細胞化学の手法を用いてメラノーマに苦しむ哺乳動物の組織生検からMART-1抗原の存在を評価するために用いられる。そのような病気組織中のMART-1抗原の詳述な評価は、病気に苦しむ哺乳動

20

30

40

50

物の病気の進行を予知するために用いることが出来る。具体的には、MART - 1 抗体は、メラノーマ病変の急激な垂直増殖期を特徴づけるために用いることが出来る。免疫組織化学のための従来の方法は、非特許文献 5 1 および非特許文献 2 3 に記載されている。

[0 0 5 9]

その他の実施態様では、本発明の抗体は、MART-1タンパク質またはその部分を精製するために用いられて良い。免疫親和性クロマトグラフィーは、当業者に既知の従来の方法によって行うことが出来る(非特許文献23)。

[0060]

その他の望ましい実施態様では、MART-1タンパク質を特異的に認識する抗体を含むウサギの抗血清は、ウエスタンプロット解析で該タンパク質を検出するために用いいる。そのような抗血清は、MART-1タンパク質の全体あるいはその1つあるもいに対するもののかの部分、またはMART-1の推定アミノ酸配列から合成したペプチドに対するものである。望ましくは、MART-1の推定アミノ酸配列に由来するMART-1ペプチドはのある。別の方法として、修飾MART-1ペプチドは、自動ペプチドは、自動ペプチドは、自動ペプチドは、作り、定義を用いて標準方法で合成され、実施例したような高圧液体クロマトグラフィー(HPLC)を用いて精製される。精製したような高圧液体クロマトグラフィー(HPLC)を用いて精製される。精製したような高圧液体クロマトグラフィー(はたいで対対でウサギを免疫していて、担体に結合させて良い。従来の方法を用いて、担体と結合させたMART-1タンパク質またはペプチドでウサギを免疫していましくは、アジュバンド中、約0.1~約10mgの抗原を用いて良く、最も望まらにでは、アジュバンド中、約0.1~約10mgの抗原を用いて良く、最も望まらは、アジュバンド中、約0.1~約10mgの抗原を用いて良く、最も望まらは、プチド抗体力価がプラトーに達する時点で得られる。この抗体は、上記の標準イムノアッセイに用いることが出来る。

[0061]

[0062]

例として、HLA-A2対立遺伝子は、9または10アミノ酸からなるペプチドを結合する。結合を強化するために変えても良いペプチドの位置の例としては、ペプチドの第1位、第2位、第3位、および最終位が含まれるが、これらに限定されるわけではない。免疫原性ペプチド配列のこれらの位置を置換するために、任意のアミノ酸が用いられて良い。HLA-A2との結合を強化するために、ペプチドの第2位のアミノ酸は疎水性の脂肪族アミノ酸であることが望ましい。第2位で用いられて良いアミノ酸の例としては、これらに限られるわけではないが、ロイシン、メチオニン、アラニン、イソロイシン、バリン、スレオニンまたはグリシンが含まれる。望ましくは、ロイシンまたはメチオニンがペプチドの第2位に見出される。ペプチドの最後のアミノ酸(ペプチドの長さによって9位か10位のアミノ酸)は、疎水性脂肪族アミノ酸が望ましい。ペプチドの最後の位置に用いても良いアミノ酸の例としては、バリン、メチオニン、ロイシン、アラニン、イソロイシ

20

30

40

50

ン、スレオニンまたはグリシンが含まれるが、これらに限られるわけではない。望ましくは、バリンがペプチドの最後の位置に見出される。また、ペプチドの第1位および第3位のアミノ酸は、MHCクラスI分子とペプチドの結合を強化するために修飾されても良い。ペプチドの第1位および第3位のアミノ酸は、任意のアミノ酸であって良い。望ましくは、第1位および第3位のアミノ酸は、疎水性の脂肪族アミノ酸または芳香族アミノである。これらの位置に用いられて良いアミノ酸の例としては、ロイシン、メチオニン、ブリン、アラニン、イソロイシン、スレオニン、グリシン、トリプトファン、フェニルアラニン、チロシン、セリン、アスパラギン酸またはリジンが含まれるが、これらに限定されるわけではないが、AAGIGILTV(配列番号4)、EAAGIGILTV(配列番号18)(ペプチドは1文字アミノ酸コードで表されている)が含まれる。例として、免疫原性MART・1ペプチドAAGIGILTV(配列番号4)は、次式X1×2×3 IGILTX4(配列番号122)、に従って修飾されて良い:

式中、X₁は、任意のアミノ酸、望ましくは任意の疎水性脂肪族アミノ酸、または芳香族アミノ酸であって良い。用いて良いアミノ酸の例としては、これらに限られるわけではないが、アラニン、トリプトファン、フェニルアラニン、チロシン、リシン、イソロイシン、ロイシン、メチオニン、スレオニン、グリシンまたはセリンが含まれる。

X₂は、任意の疎水性アミノ酸、望ましくは脂肪族疎水性アミノ酸であって良い。用いて良いアミノ酸の例としては、これらに限られるわけではないが、ロイシン、メチオニン、イソロイシン、バリン、スレオニン、アラニンまたはグリシンが含まれる。

X₃は、任意のアミノ酸、望ましくは、任意の疎水性の脂肪族アミノ酸、または芳香族アミノ酸であって良い。用いて良いアミノ酸の例としては、これらに限られるわけではないが、トリプトファン、フェニルアラニン、チロシン、リジン、アスパラギン酸、セリン、アラニン、グリシン、イソロイシン、バリン、またはスレオニンが含まれる。

X₄は、任意の疎水性アミノ酸、望ましくは疎水性の脂肪族アミノ酸であって良い。用いられて良いアミノ酸の例としては、これらに限られるわけではないが、バリン、ロイシン、イソロイシン、アラニン、スレオニン、またはグリシンが含まれる。

[0063]

作り出されて良い修飾AAGIGILTV(配列番号4)ペプチド配列の例として、表14(実施例5)にペプチドを示すが、これらに限られるわけではない。

さらに、本発明は、修飾したMART-1アミノ酸配列(図1;配列番号2)に由来するこれらの免疫原修飾ペプチドの類似体を含む。類似体という言葉は、これらの修飾ペプチドの機能的態様を示す任意のペプチドを含むことを意図する。類似体という言葉は、また、上記のようなこれらの修飾ペプチドの保存的置換または化学的誘導体を含む。これらの修飾ペプチドは、従来の方法に従って、合成によってまたは組換えによって作り出されて良い。

[0064]

組換えあるいは天然のMART・1タンパク質、ペプチドあるいはその類似体、または修飾MART・1ペプチドあるいはその類似体は、予防または治療のためのワクチンを存て用いられて良い。治療目的で提供される場合、ワクチンは、メラノーマのいかなる存にも先だって提供される。MART・1ワクチンの予防投与では、哺乳動物内のメラライマを防ぐかまたは減退させるために供されるべきである。望ましい実施態様では、ママに罹る危険性の高い哺乳動物、望ましくはヒトは、本発明のワクチンで予防いとしては、これらに限られるわけではないが、メラーマの家族歴を持つヒト、異型性母斑歴を持つヒト、FAM・M症候群歴を持つヒト、は以前に切除したメラノーマに苦しみ、それ故再発の危険性のあるヒトが含まれる。治療目的で提供される場合、ワクチンは、メラノーマまたは転移性メラノーマ上に存在するワクチンは、細胞、組換え発現ベクターをトランスフェクトした細胞からの細胞溶解物、MA

20

30

40

50

RT-1組換え発現ベクターをトランスフェクトした細胞からの細胞溶解物、または発現したタンパク質を含む培養上清であって良い。別の方法では、免疫原は、部分的にあるいは実質的に精製した組換えMART-1タンパク質、ペプチドあるいはその類似体、または修飾したペプチドあるいはその類似体である。タンパク質またはペプチドは、リポタンパク質と結合させるか、またはリポゾームの形であるいは補助剤と共に投与されて良い。【0065】

免疫原は純粋なまたは実質的に純粋な形で投与することが出来るが、医薬組成物、調合物または調製物として存在することが望ましい。

本発明の調合物は、獣医学およびヒトへの両方に用いられるが、1つ以上の医薬として許容可能な担体、および所望するならばその他の治療成分と共に、上記のような免疫原からなる。担体は、調合物のその他の成分と適合し、その宿主に有害でないという意味で「許容可能」であらねばならない。調合物は、便宜上、単位投与の形で存在して良く、医薬分野で熟知されている任意の方法によって調製されて良い。

[0066]

すべての方法は、1つ以上の補助成分を構成する担体と共に活性成分を組み合わせの中に持ち込む工程を含む。一般的には、調合物は、液体担体または微細に分割される固体担体またはその両方と共に活性成分を組み合わせの中に均一にかつ親密に持ち込み、次いで、必要であれば、生成物を望ましい調合物に形成することによって、調製される。

[0067]

静脈内、筋肉内、皮下、または腹腔内投与に適した調合物は、宿主の血液と等張であることが望ましい溶液と共に、活性成分の無菌水溶液からなると便利である。そのような調合物は、便宜上、塩化ナトリウム(例えば0.1~2.0M)、グリシンなどのような生理学的に適合する物質を含み、かつ生理的条件と適合する緩衝pHを持つ水中に固体活性成分を溶解して水溶液を生成し、該水溶液を無菌にすることによって調製されて良い。これらは、ユニット中または複数の投与容器中、例えば密封アンプルまたはバイアル中に存在して良い。

[0068]

本発明の調合物は、安定化剤を組み込んでも良い。安定化剤の例としては、それら単独でまたは混合物として用いられるポリエチレングリコール、タンパク質、サッカライド、アミノ酸、無機酸および有機酸が挙げられる。これらの安定化剤は、望ましくは、免疫原重量部当たり0.11~10,000重量部の量で混合される。2種類以上の安定化剤が用いられる予定の場合、それらの総量は上記の範囲であることが望ましい。これらの安定化剤は、適当な濃度およびpHの水溶液中で用いられる。そのような水溶液の具体的な浸透圧は、一般的には、0.1~3.0オスモルの範囲であり、望ましくは0.8~1.2の範囲である。水溶液のpHは、5.0~9.0の範囲内、望ましくは6~8の範囲内に調製される。本発明の免疫原の調合には、抗吸着剤を用いても良い。

[0069]

20

30

40

50

ミン小球、ミクロエマルジョン、ナノ粒子およびナノカプセル)内、およびマクロエマルジョン内に、これらの物質を閉じ込めることが可能である。

[0070]

経口調製物が所望される場合、組成物は、ラクトース、スクロース、デンプン、タルク、ステアリン酸マグネシウム、結晶化セルロース、メチルセルロース、カルボキシメチルセルロース、グリセリン、アルギン酸ナトリウムまたはアラビアゴムのような、典型的な担体と組み合わせて良い。

[0071]

本発明のタンパク質は、キットの形で、単独でまたは上記の医薬組成物の形で供給されて良い。

ワクチン注射は、従来の方法で行うことが出来る。例えば、免疫原は、塩類溶液または水のような適当な希釈液、または完全あるいは不完全な補助剤中で用いることが出来る。さらに、免疫原は、タンパク質免疫原性を作り出すために担体に結合させても良いが、ウシではなくても良い。そのような担体分子には、これらに限られるわけではないが、ウシ素アルブミン(BSA)、キーホールリンペットへモシアニン(KLH)、破傷風毒などが含まれる。また、免疫原は、リポタンパク質とカップリングさせても、またはリルカームの形であるいは補助剤と共に投与されても良い。免疫原は、静脈内、腹腔内、筋肉、皮下、およびその類似部位等のような、抗体産生に適した任意の経路によって投与するとが出来る。免疫原は、1度に、または抗MART-1免疫細胞または抗MART-1抗原に対するCTL前駆体の有効な力価が作り出されるまで断続的な間隔で投与されて良い。抗MART-1免疫細胞の存在は、免疫化される前および後のMART-1抗原に対するCTL前駆体で別とによって評価されてであろう。抗体は、上記のイムノアッセイを用いて血清中で検出されるであろう。

[0072]

本発明のワクチンまたは免疫原の投与は、予防目的または治療目的のいずれかであって良い。予防目的で提供される場合、免疫原は、メラノーマによるいかなる存在にも先んじてまたはいかなる徴候にも先んじて提供される。免疫原の予防投与では、哺乳動物内のメラノーマを予防するかまたは弱毒化するために供される。治療目的で提供される場合、免疫原は、病気の始まりに(あるいは直後に)または病気の任意の徴候の始まりに提供される。免疫原の治療投与は、病気を弱毒化するために供される。

[0073]

望ましい実施態様では、ワクチンは、組換えMART - 1 タンパク質またはペプチド発 現ベクターを用いて調製される。個体にワクチンを供給するために、MART・1核酸配 列の全体または部分をコードする遺伝子配列を、上記のように発現ベクター内に挿入し、 免疫化される哺乳動物内に導入する。前述のワクチンに用いて良いベクターの例としては 、 これらに限定されるわけではないが、 不完全なレトロウイスルベクター、アデノウイル スベクター、ワクチニアウイルスベクター、鶏痘ウイルスベクター、またはその他のウイ ルスベクターが含まれる(非特許文献 5 8)。 M A R T - 1 核酸配列の全体または部分を 有するウイルスベクターは、メラノーマのいかなる証拠も認められない間に、またはメラ ノーマに罹った哺乳動物の病気の退縮を仲介するためかのどちらかに哺乳動物内に導入す ることが出来る。哺乳動物にウイルスベクターを投与するための方法の例としては、これ らに限られるわけではないが、生体外(ex vivo)でウイルスに細胞をさらすこと 、罹患組織内へのレロトウイルスまたはウイルスの産生細胞株の注入、またはウイルスの 静脈内投与が含まれる。別法として、MART-1核酸配列の全体または部分を持つウイ ルスベクターは、医薬として許容可能な担体内で、メラノーマ内に直接注入するかまたは 局所適用することによって局所的に投与されて良い。MART-1核酸配列の全体または 部分を持つウイルスベクターの投与量は、ウイルス粒子の力価を基本とする。投与される 免疫原の望ましい範囲は、哺乳動物、望ましくはヒト当たり約10~~約10 1 1 ウイル ス粒子であろう。免疫化後のワクチンの効果は、特異的溶解活性あるいは特異的サイトカ

20

30

40

50

イン産生によってまたは腫瘍退縮によって評価されるのと同様に、抗原を認識する抗体または免疫細胞の産生によって評価することが出来る。当業者は、前述のパラメータを評価する従来からの方法を知っているであろう。免疫化される哺乳動物が既にメラノーマまたは転移性メラノーマに罹っている場合、ワクチンは、その他の治療処置と共に投与することが出来る。その他の治療処置の例としては、これらに限られるわけではないが、T細胞免疫療法の採用、サイトカインまたはメラノーマ用のその他の治療薬剤の共投与が含まれる。

[0074]

あるいは、実質的にあるいは部分的に精製したMART-1タンパク質の全体または部分を、医薬として許容可能な担体内のワクチンとして投与しても良い。投与されて良いMART-1タンパク質の範囲は患者当たり約0.001~約100mgであり、望まし投与量は患者当たり約0.01~約100mgである。望ましい実施態様では、MART-1ペプチドAAGIGILTV(配列番号4)(1文字コードで表す)またはその類似体が、そのような治療を必要とする哺乳動物に治療目的でまたは予防目的で投与される。修飾MART-1ペプチドの代わりに、表14に示した例を用いても良い。望ましい投与量は約0.01mg~約100mgであるう。ペプチドは、合成によってまたは組換えによって作り出されて良い。免疫化は、抗免疫原抗体または免疫細胞の充分な力価が得られるまで、必要に応じて繰り返して行われる。

[0075]

さらなるその他の代わりの実施態様では、レトロウイルスベクターのようなウイルスベ ク タ ー を 哺 乳 動 物 細 胞 内 へ 導 入 す る こ と も で き る 。 レ ト ロ ウ イ ル ス ベ ク タ ー を 導 入 す る こ との出来る哺乳動物細胞の例としては、これらに限られるわけではないが、哺乳動物の初 代培養物または哺乳動物の継代培養物、COS細胞、NIH3T3、または293細胞(ATCC#CRL1573)が含まれる。遺伝子を運搬するベクターを細胞内に導入する 手段には、これらに限られるわけではないが、マイクロインジェクション、エレクトロポ レーション、トランスフェクション、またはDEAEデキストラン、リポフェクチン、リ ン酸カルシウムを用いたトランスフェクション、または当業者に既知のその他の方法(非 特許文献 2 4)が含まれる。MART-1抗原を発現している哺乳動物細胞は、哺乳動物 に投与することができ、ワクチンまたは免疫原として供される。MART-1抗原発現細 胞を投与する方法の例としては、これらに限られるわけではないが、静脈内、腹腔内また は病巣内が含まれる。望ましい実施態様では、ペプチドAAGIGILTV(配列番号4)に関連するMART-1核酸配列の部分が、MART-1発現ベクターに挿入され、哺 乳動物細胞内に導入される。あるいは、MHC分子とのそれらの結合を強化するように修 飾されたMART・1ペプチド関連核酸配列を用いても良い。例として、表14に示す修 節ペプチドをコードする核酸配列を発現ベクターに挿入し、哺乳動物細胞内に導入しても 良い。

[0076]

本発明のワクチン調合物は、メラノーマ関連MART-1抗原のようなメラノーマ関連抗原に対して直接的な免疫応答を誘発する免疫原からなる。ワクチン調合物は、最初に動物モデルで、手始めに齧歯動物、次いでヒト以外の霊長類、最後にヒトで評価されて良い。免疫化法の安全性は、免疫化された動物の一般的健康状態への免疫化による影響(体重変化、発熱、食欲状態等)を探し出すことによって、また検死の病理学的変化を探し出すことによって決定される。動物で最初に試験した後、メラノーマ癌患者で試験できる。従来からの方法を用いて、患者の免疫応答が評価され、ワクチンの効果が決定されるであろう。

[0077]

本発明のさらなるその他の実施態様では、MART-1タンパク質の全体、1つあるいはいくつかの部分、またはMART-1ペプチドあるいはその類似体または修飾MART-1ペプチドあるいはその類似体を、生体外(in vitro)で培養された樹状突起

20

30

40

50

細胞にさらして良い。培養樹状突起細胞は、樹状突起細胞修飾抗原または抗原でパルス処理した樹状突起細胞からなるT細胞依存性抗原を作り出す手段を提供し、樹状突起細胞内で、抗原は処理され抗原活性化樹状突起細胞上に発現する。MART-1抗原活性化樹状突起細胞または処理された樹状突起細胞抗原は、ワクチンまたはメラノーマ治療用の免疫原として用いられて良い。樹状突起細胞は、抗原が中に取り込まれ樹状突起細胞表面上に示されるに充分な時間、抗原にさらされるべきである。得られた樹状突起細胞または樹状突起細胞処理抗原は、次いで、治療を必要とする個体に投与することが出来る。そのような方法は、Steinmanら(特許文献4)およびBanchereauら(特許文献5)に記載されており、ここに援用する。

[0078]

本発明のさらなるその他の実施態様では、個体から単離されたT細胞は生体外で(in vitro) MART - 1 タンパク質あるいはその部分、またはMART - 1 ペプチド あるいはその類似体、またはMART-1修飾ペプチドあるいはその類似体にさらし、次 いでそのような治療を必要とする患者に治療上有効な量を投与することが出来る。Tリン パ球を単離できる例としては、これらに限られるわけではないが、末梢血リンパ球(PB L)、リンパ節、または腫瘍浸潤リンパ球(TIL)が含まれる。そのようなリンパ球は 、 処 置 し た 個 体 か ら ま た は 宿 主 か ら 、 こ の 技 術 分 野 で 既 知 の 方 法 に よ っ て 単 離 し 、 生 体 外 で培養することが出来る(非特許文献59)。リンパ球は、RPMIあるいはRPMI 1640またはAIM-Vのような培地中で1~10週間培養される。生存能はトリパン ブルー色素排除試験によって評価される。リンパ球は、培養の一部または全期間中、MA R T - 1 タンパク質の全体または部分にさらされる。望ましい実施態様では、リンパ球は 1 0 [/] 細胞当たり約 1 ~約 1 0 μ g / m l の濃度で、リンパ球培養の全期間または一部期 間、AAGIGILTV(配列番号4)ペプチド(1文字コードで表す)にさらされる。 ペプチドに感作させた後、Tリンパ球は、そのような治療を必要とする哺乳動物に投与さ れる。あるいは、表14に示す修飾MART-1ペプチドをリンパ球にさらしても良い。 このような感作T細胞を哺乳動物に投与するための方法の例としては、これらに限られる わけではないが、静脈内、腹腔内、または病巣内が含まれる。これらの感作Tリンパ球の 効果を測定し評価するパラメータには、これらに限定されるわけではないが、治療される 哺乳動物内での免疫細胞の産生または腫瘍の退縮が含まれる。従来からの方法が、これら のパラメータを評価するために用いられる。そのような治療は、サイトカインまたは遺伝 子修飾細胞と共に施すことが出来る(非特許文献60、非特許文献61)。

[0079]

ワクチンとしての使用に加えて、組成物は、MART-1抗原、ペプチドあるいはその類似体、または修飾MART-1ペプチドおよびその類似体に対する抗体を調製するために用いることが出来る。抗体は、抗メラノーマ薬剤として直接用いることが出来る。抗体を調製するために、宿主動物は、MART-1タンパク質、ペプチドあるいはその類似体を免疫原として用いて免疫化され、上記のようなワクチン用担体と結合される。宿主の血清または血漿は、適当な時間間隔で集められて、免疫原と反応する抗体からなる組成物を提供する。 グロブリン画分またはエgG抗体は、例えば、飽和硫酸アンモニウムあるいはDEAEセファデックス、またはその他の当業者に既知の技術を用いることによって得ることが出来る。抗体は、化学療法のようなその他の抗癌薬剤と関連するであろう多くの不利な副作用とは実質上無関係である。

[0800]

抗体組成物は、潜在する不利な免疫システム応答を最小にすることによって、宿主システムにより一層適合させることが出来る。このことは、外来種抗体のFc部分の全体あるいは一部を除去することによって、または、例えばヒト/ヒトハイブリドーマからの抗体を用いるといったような宿主動物と同一種の抗体を用いることによって成し遂げられる。ヒト化(即ちヒトに非免疫原性である)抗体は、例えば、抗体の免疫原性部分を、類似しているが非免疫原性である部分で置換する(即ちキメラ抗体)ことによって作られて良い。そのようなキメラ抗体は、1つの種からの抗体の反応性部分または抗原結合部分、およ

20

30

40

50

び異なる種からの抗体のFc部分(非免疫原性)を含んでよい。キメラ抗体の例としては、これらに限られるわけではないが、非ヒト哺乳動物・ヒトのキメラ、齧歯動物・ヒトのキメラ、ネズミ・ヒトおよびラット・ヒトのキメラ(Robinsonら(特許文献6)、Taniguchi M.(特許文献7)、Morrisonら(特許文献8)、Neubergerら(特許文献9)、非特許文献62、非特許文献63、非特許文献64、非特許文献65、ここにそのすべてを援用する)が含まれる。

[0081]

「ヒト化」キメラ抗体の一般的概説は、非特許文献 6 6 によっておよび非特許文献 6 7 によって提供される。

適当な「ヒト化」抗体は、CDRまたはCEAの置換によって代わりに作り出すことが出来る(非特許文献68、非特許文献69、非特許文献70、これらのすべてはここに援用する)。

[0082]

抗体または抗原結合断片は、遺伝子工学によって作り出されても良い。大腸菌内で重鎖および軽鎖の両方の遺伝子を発現させるための技術は、以下のPCT特許出願:特許文献2 および特許文献3、ならびに非特許文献46の主題である。

[0083]

また、抗体は、免疫応答を強化する手段として用いることもできる。抗体は、抗体のその他の治療投与に用いられるそれと同様の量を投与することが出来る。例えば、プールした グロブリンは、患者当たり約1mg~約100mgの範囲で投与される。このように、MART-1抗原と反応する抗体は、単独でまたはメラノーマに罹った哺乳動物への他の抗癌治療と共に、抵抗なく投与することが出来る。抗癌治療の例としては、これらに限られるわけではないが、化学療法、放射線治療、TILを用いた養子免疫療法が含まれる

[0084]

あるいは、抗MART-1抗原抗体は、免疫原としての抗イディオタイプ抗体を投与することによって誘発することもできる。便宜上、上記の方法に従って調製した精製抗MART-1抗体調製物を用いて、宿主動物に抗イディオタイプ抗体を誘発させる。組成物は、適当に希釈されて宿主動物へ投与される。投与後、通常は繰り返し投与後、宿主動物に抗イディオタイプ抗体を作り出す。Fc領域への免疫原性応答を排除するために、宿主動物内の抗イディオ抗体の事とは投与した抗体のFc領域を排除するにが出来る。宿主動物内の抗イディオ抗体の導入に次いで、血清または血漿は、抗MART-1抗体を用いた親和性マトリックスに結合した抗MART-1抗体を用いた親和性マトリックスに結合した抗MART-1抗体を用いた親和性マトリックスに結合した抗MART-1抗体を用いた親和性マトグラフィーによって精製することができる。産生された抗イディオタイプ抗体は、マキ的なMART-1抗原と立体構造が同じであり、MART-1タンパク質、ペプチド類似体またはその部分を用いるよりもむしろ、MART-1メラノーマ抗原ワクチンを調製するために用いられて良い。

[0085]

動物に抗MART・1抗体を誘発させる手段として用いた場合、抗体を注入する方法は、ワクチン注射の目的と同じ、即ち、補助剤とともにまたは補助剤を用いずに、生理学的に適当な希釈剤中有効濃度で、筋肉内、腹腔内、皮下、病巣内、またはその類似部位などに注射される。1種類以上の効能促進剤の注入が望ましい。

[0086]

また、本発明のMART-1誘導タンパク質またはペプチドまたは修飾ペプチドは、病気前後の予防を意図する抗血清の産生に用いることを意図する。ここでは、MART-1抗原、ペプチドあるいはその類似体、または修飾MART-1ペプチドあるいはその類似体は、適当な補助剤と調合され、ヒト抗血清を産生するための既知の方法に従って、ヒトボランティアに注射により投与される。注射されたタンパク質に応答する抗体は、免疫化に次いで、数週間の間、末梢血清をサンプリングすることによって、抗MART-1血清

抗体の存在を検出するために、ここに記載されたようなイムノアッセイを用いて、モニターされる。

[0087]

免疫化された個体からの抗血清は、進行性メラノーマの危険性のある個体の予防処置として投与されて良い。抗血清は、メラノーマに罹った個体の病後の予防治療にも有用である。

[0088]

MART-1抗原の抗体および抗イディオタイプ抗体のin vivoでの使用および 診断的使用の両方に対してモノクローナル抗体を使用するのが好適であろう。モノクロー ナル抗MART-1抗体または抗イディオタイプ抗体は以下のように製造できる。免疫化 動 物 か ら 脾 臓 ま た は リ ン パ 球 を 取 り 出 し 、 不 死 化 さ せ る か ま た は 当 業 者 に は 既 知 の 方 法 に よりハイブリドーマの製造に使用した(非特許文献71)。ヒト・ヒトハイブリドーマを 製造するために、ヒトリンパ球供与者が選択された。MART-1抗原を運ぶメラノーマ を持つことが知られている供与者が適したリンパ球供与者であろう。リンパ球は末梢血試 料から単離でき、もし供与者が脾摘出を受けるならば脾臓細胞を使用してもよい。エプス タイン-バールウイルス(EBV)がヒトリンパ球の不死化に使用でき、ヒト - ヒトハイ ブリドーマを産生するためにはヒト融合パートナーが使用できる。ペプチドによるin v i t r o での 1 次免疫化もまたヒトモノクローナル抗体の産生に使用できる。好適な M ART-1ペプチドの例としては、AAGIGILTV(配列番号4)、EAAGIGI L T V (配列番号 1 7) および A A G I G I L T V I (配列番号 1 8) (ペプチドは 1 文 字アミノ酸コードで表されている)が挙げられるがそれらに制限されるわけではない。最 も好適にはAAGIGILTV(配列番号4)が免疫原として使用される。もしくは、M ART-1アミノ酸配列から誘導され、MHCクラスI分子への結合性を促進させるよう に修飾されたペプチドもまた使用される。例えば、表14に示された修飾ペプチドが免疫 原として使用されるであろう。

[0089]

不死化細胞により分泌される抗体をスクリーニングして所望の特異性を持つ抗体を分泌するクローンを決定する。モノクローナルMART-1抗原またはペプチド抗体については、抗体はMART-1抗原またはペプチドに結合しなければならない。モノクローナル抗イディオタイプ抗体については、抗体は抗MART-1抗体に結合しなければならない。所望の特異性を持つ抗体を産生する細胞が選択される。

[0090]

ここに記載された抗体またはキメラ抗体はまた常法により毒素分子、放射性同位元素および薬剤と結合させてもよい(非特許文献 7 2、非特許文献 7 3)。抗体が結合されるであろう毒素の例としてはリシンまたはジフテリア毒素が挙げられるが、それらに限定されるわけではない。薬剤または化学療法剤の例にはシクロホスファミドまたはドキソルブシンが挙げられるが、それらに限定されるわけではない。放射性同位元素の例には 1 3 1 I が挙げられるが、それに限定されるわけではない。上記の薬品に共有結合で結合する抗体は癌免疫療法においてメラノーマに処置に使用できる。

[0091]

病変のある部位への局所的投与は、局所適用、注射および組換え的に注入液を発現している細胞を含む多孔性装置の移植、MART-1抗体またはキメラ抗体、毒素、薬剤または放射性標識またはそれらの一部が含まれた多孔性装置の移植を含む(これらに限定されるわけではない)本分野では既知の手段により達成される。

[0092]

上記の抗体およびそれらの抗原結合性断片はキット単独としてまたはin vivo使用のための医薬組成物として供給される。抗体は治療的使用、イムノアッセイにおける診断的使用またはここに記載したMART-1タンパク質またはペプチドを精製するための免疫親和性試薬としての使用において用いられるであろう。

[0093]

10

20

30

本発明はまた、腫瘍浸潤リンパ球により認識される第2のメラノーマをコードしている c D N A 2 5 (図 4 A および図 4 B; 配列番号 2 6)と称される、実質的に精製され単離された核酸配列も提供する。c D N A 2 5 によりコードされたメラノーマ抗原を認識する T I L は i n v i v o 腫瘍排除に関連している。 T I L は H L A - A 2 に関連して c D N A 2 5 によりコードされているメラノーマ抗原を認識した。 c D N A 2 5 核酸配列(図 4 A および図 4 B; 配列番号 2 6)とメラノサイト・メラノーマ特異的タンパク質gp100をコードしている遺伝子の核酸配列との比較により、この配列はgp100として以前に同定された配列とは似てはいるが異なっていることが示された。gp100として以前に同定された配列にはgp100(GenBank受託番号M32295;gp95とも称される)、Pmel 17(GenBank受託番号M77348;非特許文献74)およびME20(非特許文献75)が挙げられる。

[0094]

ここに提供される c D N A 2 5 配列(図 4 A および図 4 B; 配列番号 2 6)は G e n b a n k の以前に報告された g p 1 0 0 配列(G e n B a n k 受託番号 M 3 2 2 9 5)とは 2 ヌクレオチド異なっており、 P m e 1 1 7 配列(非特許文献 7 4)とは 3 ヌクレオチド異なっており、 P m e 1 1 7 配列(非特許文献 7 4)とは 3 ヌクレオチド異なっている。 アミノ酸レベルでは、 c D N A 2 5 によりコードされているタンパク質は G e n b a n k の g p 1 0 0 配列(G e n B a n k 受託番号 M 3 2 2 9 5)とは 1 6 2 位の 1 アミノ酸、 P m e 1 1 7 と比較すると 1 6 2 位および 2 7 2 位ののアミノ酸が異なっており、 しかも P m e 1 1 7 の 5 8 8 ~ 5 9 4 位に存在している 7 アミノ酸が含まれていない。 従って、 c D N A 2 5 核酸配列(図 4 A および図 4 B; 配列番号 2 6)およびアミノ酸配列(図 A; 配列番号 2 7)と以前に報告されている 5 のの形をコードしているように思われる。 c D N A 2 5 核酸配列(図 4 A および図 4 B; 配列番号 2 6)およびアミノ酸配列(図 A; 配列番号 2 7)と以前に報告されている g p 1 0 0 配列間の相違は多形、 対立遺伝子変異または腫瘍中での突然変異によるものである ラ・マウス腫瘍での実験で T 細胞により認識される新規抗原は不活性化遺伝子のコード領域における点突然変異から生じることが示されている (非特許文献 7 6)。

[0095]

本発明はまたここで提供されるgp100タンパク質配列またはその類似体から誘導さ れる免疫原性ペプチドを提供する。(図5Aおよび図7A;配列番号27および121) 。これらの免疫原性ペプチドはTILにより認識されるgp100タンパク質の抗原性部 分(図 5 Aおよび図 7 A;配列番号 2 7および 1 2 1)を表している。免疫原性ペプチド の 例 に は L L D G T A T L R L (ペプチド G 1 0 - 4 ;配 列 番 号 3 3)、 V L Y R Y G S F S V (ペプチドG 1 0 - 5 ; 配列番号 3 4)、A L D G G N K H F L (ペプチドG 1 0 - 2 2 ; 配列番号 3 5)、 V L K R C L L H L (ペプチドG 9 - 1 9 ; 配列番号 3 6)、 V L P S P A C Q L V (ペプチドG 1 0 - 8;配列番号37)、S L A D T N S L A V (ペプチドG10-9;配列番号38)、SVSVSQLRA(ペプチドG9-216;配 列番号 3 9) 、 Y L E P G P V T A (ペプチドG 9 - 2 8 0 ; 配列番号 4 0) 、 L N V S L A D T N (ペプチドG 1 0 - 4 0 0 ; 配列番号 4 1) 、 K T W G Q Y W Q V (ペプチド G 9 _{1 5 4} ; 配列番号 4 6 ; 図 7 A ; アミノ酸 1 5 4 ~ 1 6 2 位) 、 K T W G Q Y W Q V L (ペプチドG 1 0 _{1 5 4}; 配列番号 4 7; 図 7 A; アミノ酸 1 5 4 ~ 1 6 3 位) 、 I T DQVPFSV(ペプチドG9₂₀₉;配列番号48;図7A;アミノ酸209~217 位) お よ び T I T D Q V P F S V (ペ プ チ ド G 1 0 , 。 。 ; 配 列 番 号 4 9 ; 図 7 A ; ア ミ ノ酸208~217位)が挙げられるがこれらに限定されるわけではない。本発明はさら に g p 1 0 0 アミノ酸配列 (図 5 A および図 7 A ; 配列番号 2 7 および 1 2 1) から誘導 されるこれらの免疫原性ペプチドの類似体も含んでいる。類似体という用語はこれらの免 疫原性ペプチドの機能的特色を示す任意のペプチドを含んでいる。類似体という用語はま た 上 記 の ペ プ チ ド の 保 存 的 置 換 体 ま た は 化 学 的 誘 導 体 も 含 ん で い る 。 こ れ ら の 免 疫 原 性 ペ プチドはMART-1に対して記載したように、同一の方法または様式により合成的にま たは組換えにより製造されるであろう。

[0096]

50

10

20

30

20

30

40

50

本発明のさらに別の態様では、gp100配列(図5Aおよび図7A;配列番号27および121)に由来する免疫原性ペプチドは、T細胞に提示された場合にペプチドが会合するMHC分子への結合を促進することにより免疫原性を増加させるように修飾される。例えば、修飾には免疫原性ペプチド配列内の1以上のアミノ酸の欠失または付加、または所定の免疫原性ペプチド配列内のアミノ酸の挿入、または所定の免疫原性ペプチド配列内のアミノ酸の存失を原性ペプチド配列内のアミノ酸の発疫原性ペプチド配列内のアミノ酸の会疫原性ペプチド配列においては、所定の免疫原性ペプチド配列においては、所定の免疫原性ペプチド配列においた場合のかなくとも1つのアミノ酸が置換される。所定の免疫原性ペプチド配列を構成する任意の所定のアミノ酸は本発明により修飾されるであろう。修飾は免疫原性gp100ペプチドのののアミノ酸位置で生じてもよい。修飾gp100ペプチドにはT細胞に提示された場合にペプチドが会合するMHC分子への結合促進を示す任意の修飾gp100ペプチドが含まれることを意図する。

[0097]

例えば、HLA-A2に関連してT細胞に認識されるペプチドは長さ9~10アミノ酸である。好適には、HLA-A2へのペプチドの結合促進のためには、ペプチド中の第2位および最後の位置は疎水性アミノ酸、好適には脂肪族疎水性アミノ酸である。第2位はロイシン、メチオニン、イソロイシン、バリン、トレオニン、グリシンまたはアラニンのような脂肪族疎水性アミノ酸であろうが、それらに限定されるわけではない。ペプチドの最後の位置は(ペプチドの長さに依存して第9位または第10位)バリン、ロイシン、アラニン、ロイシン、イソロイシン、グリシン、メチオニン、バリン、またはトレオニンのような脂肪族疎水性アミノ酸であろうが、それらに限定されるわけではない。

[0098]

免疫原性ペプチドの第1位および第3位は、任意のアミノ酸、好適には疎水性脂肪族アミノ酸または芳香族アミノ酸で置換されていてもよい。ペプチドの第1位および第3位に使用できるアミノ酸の例としてはアラニン、ロイシン、リジン、イソロイシン、グリシン、メチオニン、バリン、トレオニン、トリプトファン、フェニルアラニン、セリン、リジンまたはチロシンが挙げられるが、それらに限定されるわけではない。

[0099]

本態様に従って修飾されるであろうgp100ペプチドの例としてはLLDGTATLRL(ペプチドG10-4;配列番号33)、VLYRYGSFSV(ペプチドG10-5;配列番号34)、ALDGGNKHFL(ペプチドG10-22;配列番号35)、VLKRCLLHL(ペプチドG9-19;配列番号36)、VLPSPACQLV(ペプチドG10-8;配列番号37)、SLADTNSLAV(ペプチドG10-9;配列番号38)、SVSVSQLRA(ペプチドG9-216;配列番号39)、YLEPGPVTA(ペプチドG9-280;配列番号40)、LNVSLADTN(ペプチドG10-400;配列番号41)、KTWGQYWQV(ペプチドG9₁₅₄;配列番号46;図7A;アミノ酸154~163位)、KTWGQYWQVL(ペプチドG10₁₅₄;配列番号47;図7A;アミノ酸154~163位)、ITDQVPFSV(ペプチドG99₂₀₉;配列番号48;図7A;アミノ酸209~217位)およびTITDQVPFSV(ペプチドG10₂₀₈;配列番号49;図7A;アミノ酸208~217位)が挙げられるが、それらに限定されるわけではない。

[0100]

例えば、免疫原性 g p 1 0 0 ペプチド K T W G Q Y W Q V (配列番号 4 6) に由来する修飾 g p 1 0 0 ペプチドは式 X ₁ X ₂ X ₃ G Q Y W Q X ₄ (配列番号 1 2 3) を持っており、式中:

X₁は任意のアミノ酸、好適には疎水性脂肪族アミノ酸または芳香族アミノ酸である。 使用できるアミノ酸の例としてはアラニン、ロイシン、リジン、イソロイシン、グリシン、メチオニン、バリン、トレオニン、トリプトファン、フェニルアラニン、リジンまたは セリン、アスパラギン酸またはチロシンが挙げられるが、それらに限定されるわけではな ll.

X₂は任意の疎水性アミノ酸、好適には脂肪族疎水性アミノ酸である。使用できるアミノ酸の例としてはロイシン、メチオニン、イソロイシン、アラニン、トレオニン、グリシンまたはバリンが挙げられるが、それらに限定されるわけではない。最も好適であるのは、ロイシン、メチオニンまたはイソロイシンである。

X₃は任意のアミノ酸、好適には疎水性脂肪族アミノ酸または芳香族アミノ酸である。使用できるアミノ酸の例としてはアラニン、ロイシン、リジン、イソロイシン、グリシン、メチオニン、バリン、トレオニン、トリプトファン、フェニルアラニン、セリン、リジンまたはチロシンが挙げられるが、それらに限定されるわけではない。

X4は任意の疎水性アミノ酸、好適には脂肪族疎水性アミノ酸である。使用できるアミノ酸の例としてはバリン、ロイシン、イソロイシン、メチオニン、アラニン、トレオニンまたはグリシンが挙げられるが、それらに限定されるわけではない。

[0101]

修飾ペプチドの例は表 1 5 に示されている。好適な修飾ペプチドは K I W G Q Y W Q V (G 9 - 1 5 4 - 2 1) (配列番号 7 0) である。

もしくは、免疫原性 g p 1 0 0 I T D Q V P F S V (G 9 - 2 0 9 ; 配列番号 4 8) が修飾され、そのような修飾ペプチドは一般式 X $_1$ X $_2$ X $_3$ Q V P F S X $_4$ (配列番号 1 2 4) を持っており、式中:

X₁は任意のアミノ酸、好適には疎水性脂肪族アミノ酸または芳香族アミノ酸である。使用できるアミノ酸の例としてはロイシン、メチオニン、アラニン、イソロイシン、バリン、トレオニン、グリシン、リジン、フェニルアラニン、トリプトファンまたはチロシン、アスパラギン酸またはセリンが挙げられるが、それらに限定されるわけではない。

X₂は任意の疎水性アミノ酸、好適には疎水性脂肪族アミノ酸である。使用できるアミノ酸の例としてはロイシン、メチオニン、アラニン、イソロイシン、バリン、トレオニン、またはグリシンが挙げられるが、それらに限定されるわけではない。

X₃は任意のアミノ酸、好適には疎水性脂肪族アミノ酸または芳香族アミノ酸である。使用できるアミノ酸の例としてはロイシン、メチオニン、イソロイシン、バリン、トレオニン、グリシン、リジン、フェニルアラニン、トリプトファン、チロシン、アスパラギン酸またはセリンが挙げられるが、それらに限定されるわけではない。

X₄は任意の疎水性アミノ酸、好適には疎水性脂肪族アミノ酸である。使用できるアミノ酸の例としてはロイシン、メチオニン、アラニン、イソロイシン、バリンまたはトレオニンが挙げられるが、それらに限定されるわけではない。

[0102]

ITDQVPFSVに由来する修飾ペプチドの例が表 1 6 に示されている。好適にはペプチドFLDQVPFSV(ペプチドG9-209-1F2L)が使用される。

例えば、免疫原性gp100ペプチドYLEPGPVTA(G9-280;配列番号40)に由来する修飾gp100ペプチドはまたMHCクラスI分子、好適にはHLA-A2またはそのサブタイプへの結合を促進するように修飾される。

[0103]

修飾ペプチドは一般式 X ₁ X ₂ X ₃ P G P V T X ₄ (配列番号 1 2 5)を持っており、 式中:

X₁は任意のアミノ酸、好適には疎水性脂肪族アミノ酸または芳香族アミノ酸である。使用できるアミノ酸の例としてはロイシン、メチオニン、アラニン、イソロイシン、バリン、トレオニン、グリシン、リジン、フェニルアラニン、トリプトファンまたはチロシン、アスパラギン酸またはセリンが挙げられるが、それらに限定されるわけではない。

X₂は任意の疎水性アミノ酸、好適には脂肪族疎水性アミノ酸である。使用できるアミノ酸の例としてはロイシン、メチオニン、アラニン、イソロイシン、バリン、トレオニン、またはグリシンが挙げられるが、それらに限定されるわけではない。

X₃は任意のアミノ酸、好適には疎水性脂肪族アミノ酸または芳香族アミノ酸である。 使用できるアミノ酸の例としてはロイシン、メチオニン、イソロイシン、バリン、トレオ 10

20

30

40

ニン、グリシン、リジン、フェニルアラニン、トリプトファン、チロシン、アスパラギン酸またはセリンが挙げられるが、それらに限定されるわけではない。

X4は任意の疎水性アミノ酸、好適には脂肪族疎水性アミノ酸である。使用できるアミノ酸の例としてはロイシン、メチオニン、アラニン、イソロイシン、バリン、トレオニンまたはグリシンが挙げられるが、それらに限定されるわけではない。

[0104]

YLEPGPVTA(G9-280;配列番号40)に由来する修飾ペプチドの例は表17に示されている。好適な修飾ペプチドはYLEPGPVTV(G9-280-9V)(配列番号104)である。

[0105]

本発明にはここに開示したgp100配列(図5A;配列番号27および図7A;配列番号121)に由来するこれらの修飾ペプチドの類似体もさらに含まれる。類似体という用語には、上記のこれらの修飾ペプチドの機能的特色を示す任意のペプチドが含まれることを意図する。これらの修飾ペプチドは常法により合成的にまたは組換え的に提供される

[0106]

別の態様では、表15~表17に示すようなgp100アミノ酸配列または修飾gp1 00ペプチドまたはそれらの類似体は治療的にまたは予防的にワクチンとして使用される。予防的には、ワクチンはメラノーマの徴候の前に投与される。これらのペプチドの予防的投与は哺乳類においてメラノーマを防止または減少させるために働くはずである。

[0107]

好適な態様において、メラノーマの危険性が高い哺乳類(好適にはヒト)はこれらのワクチンで予防的に処置される。もしくは、メラノーマまたは転移性メラノーマ上に提示される腫瘍抗原への患者自信の免疫応答を促進するために治療的にワクチンが投与されるであろう。免疫原として働くワクチンは、細胞、gp100免疫原性ペプチドをコードしている核酸配列を運ぶ組換え体発現ベクターでトランスフェクトされた細胞からの細胞溶解物または発現されたタンパク質を含んでいる培養上清液であろう。これらの免疫原性ペプチドをコードしている核酸配列が導入される発現ベクターはMART・1で記載したものと同一である。もしくは、免疫原は部分的または実質的に精製された組換え体gp100ペプチドまたはそれらの類似体である。

[0108]

投与されるべき免疫原は純粋なまたは実質的に純粋な形でも可能であるが、上記MART-1で記載した医薬組成物、処方または製剤として存在させるのが好適である。ワクチン接種は前にMART-1で記載したような常法により実施できる。

gp100免疫原性ペプチドおよびそれをコードする核酸配列は、前にMART-1で記載したのと同一の方法または様式で、バイオアッセイに、または抗体の作製に用いることができる。

[0109]

本発明のさらに別の態様において、1つ以上のメラノーマ抗原に対する多価ワクチンが提供される。そのような多価ワクチンはMART - 1タンパク質、ペプチドまたは修飾ペプチドの全てまたは一部、またはgp100ペプチドまたは修飾ペプチドまたはそれらの組み合わせを含んでいる。

[0110]

メラノーマ抗原をコードしている遺伝子の同定において、従来は抗原で免疫化またはあらかじめ処置したメラノーマ患者から単離されたPBLを利用していた(非特許文献18、非特許文献20、非特許文献19)。好適な方法は腫瘍を持つ患者を免疫化することなく、該患者からのTILにより認識される腫瘍抗原をコードしている遺伝子を同定することである。同定された遺伝子は増殖している癌に対する自然の免疫応答に含まれた抗原をコードしているので、そのような方法で可能性が大きくなる。従って、本発明はメラノーマを持つ患者の腫瘍からの腫瘍浸潤性リンパ球単離物(TIL)を用いるcDNA発現ク

10

20

30

40

20

30

40

50

ローニングを利用したメラノーマ抗原コード遺伝子の同定法も提供する。本方法は以下の 工程を含んでいる:(a)メラノーマを持つ哺乳類の腫瘍から腫瘍浸潤性リンパ球を単離 し;(b)哺乳類細胞株内にメラノーマcDNAライブラリーを導入し;(c)該哺乳類 細胞を該TILに暴露し;(d)該TILにより認識される該哺乳類細胞中の該cDNA によりコードされている抗原の発現をスクリーニングし;および(e)該抗原に対応する 該 c D N A を 単離 す る 。 工 程 (a) の 腫 瘍 浸 潤 性 リン パ 球 は メ ラ ノ ー マ を 持 つ 患 者 の 病 巣 、皮下組織または内臓を含む(しかしこれらに限定されるわけではない)から単離される であろう。工程(b)で使用されるcDNAライブラリーの製造に使用される細胞の例と しては新鮮なまたは培養されたメラノーマ細胞が挙げられるが、これらに限定されるわけ ではない。好適には、cDNAライブラリーはメラノーマ抗原を発現していない哺乳類細 胞内へ導入される。もしTILによる認識のための所望のHLAハロタイプを発現してい ない非ヒト哺乳類細胞またはヒト細胞が工程(b)で使用されるならば、そのような細胞 は以下に記載するようにHLA遺伝子で同時トランスフェクションできる。工程(b)で 使用できる細胞の例としては乳癌細胞株MDA231(ATCC#HTB26)またはC OS7細胞(ATCC#CRL1651)のような腫瘍細胞株が挙げられるが、これらに 限定されるわけではない。使用できるMHC遺伝子の例としてはHLA-A、HLA-B およびHLA-C遺伝子、好適であるのはHLA-A2およびそのサブタイプ(非特許文 献77)が挙げられるが、これらに限定されるわけではない。使用に適したMHC遺伝子 は c D N A ライブラリー源であった腫瘍細胞のハロタイプにより決定される。標準的な方 法が、TIL単離物により認識されるハロタイプの決定に使用できる(非特許文献78) 。TILにより認識される抗原を発現しているcDNAクローンを含む細胞の認識の評価 インターフェロンアッセイ、TNF分泌(非特許文献18)または認 法の例としては、 識された抗原をコードするcDNAでトランスフェクトされた細胞の溶解などが挙げられ るが、これらに限定されるわけではない。そのようなアッセイは当業者には既知の常法に より実施される。cDNAを含むベクターの隣接部位に特異的なプライマーを用いるPC Rによりメラノーマ抗原が単離できる。 TILにより認識される抗原に対応する cDNA の単離法の例としてはPCRが挙げられるが、これに限定されるわけではない。

[0111]

メラノーマ抗原をコードしている遺伝子または核酸配列が同定されたら、次の工程はこ れらの遺伝子によりコードされているタンパク質の抗原性部分またはエピトープを同定す ることである。従って、本発明のさらに別の態様では、MART-1タンパク質(図1; 配 列 番 号 2)ま た は g p 1 0 0 タ ン パ ク 質 (図 5 A お よ び 図 7 A ; 配 列 番 号 2 7 お よ び 1 2 1) の推定アミノ酸配列に由来するペプチドの免疫原性を評価するための方法が提供さ れる。本方法は以下の工程を含んでいる:(a) M A R T - 1 (図 1 ;配列番号 2)また は g p 1 0 0 (図 5 A および図 7 A ; 配列番号 2 7 および 1 2 1) アミノ酸配列に基づく 多数のペプチドを調製し;(b)少なくとも1つの該ペプチドと哺乳類細胞株をインキュ ベートし;(c)該ペプチドとインキュベートした該哺乳類細胞を腫瘍浸潤リンパ球(T IL)に暴露し;および(d)該ペプチドとインキュベートした該細胞をTILの認識で スクリーニングする。約25~5アミノ酸、より好適には20~10アミノ酸、最も好適 には9~10アミノ酸のペプチドを使用するのが好ましい。工程(b)で使用される細胞 の例としてはT2細胞(非特許文献79)またはEBV形質転換B細胞株(非特許文献9)が挙げられるが、それらに限定されるわけではない。ペプチドとインキュベートされた 細胞の認識の評価法の例としては⁵¹Cr放出細胞毒性アッセイ(非特許文献 79)また は - IFNまたはTNF分泌のようなリンホカインアッセイ(非特許文献80)が挙げ られるが、それらに限定されるわけではない。

[0112]

T細胞認識抗原はMHCクラスI分子と複合体を形成する。すべての哺乳類種のMHC座は多数の遺伝子を含んでおり、高度に多型である。異なったMHC分子またはハロタイプ型は異なった抗原に結合する。ヒトにおいてHLA複合体はクラスI分子をコードしているHLA-A、HLA-BおよびHLA-C遺伝子座を含んでいる。リンパ球はHLA

20

30

40

50

クラスI分子に関して腫瘍抗原を認識するであろう。もし組換え体MART-1発現ベクターを含む細胞がTILでスクリーニングされるがヒト細胞ではなく(COS細胞のような)、または所望のハロタイプを発現しないならば、MHCクラスI遺伝子を含む発現ベクターが細胞内へ導入されるであろう(実施例1参照)。これは本発明のさらに別の態様を表している。MART-1抗原およびHLA抗原を発現している細胞は特異的MHCクラスI拘束型に関連して腫瘍抗原の存在を検出するためにTILでスクリーニングできる。適したハロタイプはライブラリーが誘導される腫瘍のハロタイプにより決定される。使用できるMHCクラスI遺伝子の例としてはHLA-ASBおよびHLA-C遺伝子が挙げられるが、それらに限定されるわけではない。好適なMHC特異性または拘束型の例としてはHLA-A2.1サブタイプ(非特許文献77)のようなHLA-A2またはHLA-A2.1遺伝子である。

[0113]

獣医学的な使用もまた、ここに記載された組成物および治療的応用により含まれることを意図する。

本明細書で引用したすべての本、文献および特許は全文のまま援用する。以下の実施例は本発明の種々の態様を例示するものであり、その範囲を限定するものではない。

【実施例1】

[0114]

腫瘍内に浸潤した自己T細胞により認識される、共有ヒトメラノーマ抗原をコードする遺 伝子のクローニング

細胞毒性Tリンパ球(CTL)の作製および細胞株の培養

非特許文献81に記載されているように、CTLは、切り出された腫瘍標本から細胞の懸濁液を6000IU/mlのIL-2(Cetus-腫瘍部門、カイロン社、カリフォルニア州エメリーベル)と30~70日培養することにより作製した。TIL501およびTIL1235は主としてCD8⁺であり、進行した転移性メラノーマを持つ患者の腫瘍標本に由来した。CD8⁺T細胞クローン、TIL501.A42は限界希釈法により確立され、120IU/mlのIL-2と照射された(週に1度を4~6回)自己由来腫瘍細胞とともに培養された。

[0115]

メラノーマ細胞株 3 9 7 m e l 、 5 0 1 m e l 、 5 2 6 m e l 、 5 3 7 m e l 、 6 2 4 形質転換 B 細胞株、 5 0 1 E B V B 、 8 3 6 E B V B は我々の研究室で確立され、 1 0 % ウシ胎 児血清(FCS)(Biofluids、メリーランド州ロックビル)を含むRP MI 1640 (GIBCO/Lifetechnologies、ニューヨーク州グラ ンドアイランド)培地中で培養された(非特許文献9)。正常培養メラノサイト、NHE M 4 8 3 、 N H E M 4 9 3 、 N H E M 5 2 7 、 N H E M 5 2 9 、 N H E M 5 3 0 、 N H E M 5 3 3 、N H E M 6 1 6 および N H E M 6 8 0 はクローンテック、カリフォルニア州サ ンディエゴから購入され、FM725、FM801、FM902はWistar Ins titute、ペンシルバニア州フィラデルフィアのM.Herlynから提供を受け、 HAOOO2はエール大学、コネチカット州ニューヘーブンのR. Halabanから提供 を 受 け 、 メ ラ ノ サ イ ト 増 殖 培 地 (M G M 、 ク ロ ー ン テ ッ ク) 中 で 培 養 し た 。 メ ラ ノ ー マ 細 胞株C32、RPMI7951、WM115、A375、HS695T、Malme3M 、結腸癌細胞株Collo、SW480、WiDr、乳癌細胞株MDA231、MCF7 、 HS683、 H4、 肉腫 細 胞 株 143B、 アデ ノウイルスタイプ 5 で 形 質 転 換 され た 胎 児 性 腎 臓 細 胞 株 2 9 3 は A T C C 、 メ リ ー ラ ン ド 州 ロ ッ ク ビ ル か ら 購 入 さ れ 、 腎 癌 細 胞 株 UOK108およびUOK117はNIH、メリーランド州ベセスダのM. Lineha n から提供を受けた。肺小細胞癌細胞株 H 1092はテキサス大学サウスウェスタン、テ

キサス州ダラスのJ.D.Minnaから提供された。Ewing肉腫細胞株TC71、

20

30

40

50

RD-ES、6674はNIH、メリーランド州ベセスダのM. Tsokosから提供された。神経芽細胞腫細胞株SK-N-ASはNIH、メリーランド州ベセスダのO. M. El Badryから提供を受けた。形質細胞腫細胞株HMY-C1RおよびM1線維芽細胞株はNIH、メリーランド州ベセスダのW. Biddisonから提供を受けた。腎臓上皮細胞KAM、WLCはサウスカロライナ医科大学、サウスカロライナ州チャールストンのD. J. Hazen-MartinおよびD. A. Sensから提供された。サル腎臓細胞株COS7はNIH、メリーランド州ベセスダのW. Leonardから提供を受けた。

[0116]

細胞毒性アッセイ

^{5 1} C r 放出アッセイは非特許文献 8 3 に記載されているように実施された。簡単に記すと、 ^{5 1} C r で標識された 5 0 0 0 個の標的細胞を異なった数のエフェクター細胞と混合し、 5 時間インキュベートした。次に上清液を集め、放射活性を測定して特異的溶解の割合を計算した。

[0117]

IFN- 放出アッセイ

96穴平底マイクロプレートを用い、ウェル当たり120IU/mlのIL-2を含む 3 0 0 µ 1 の A I M - V 培地中、 5 万 ~ 1 0 万個の応答細胞および 4 × 1 0 ⁴ ~ 1 0 ⁵ 個 の刺激細胞を混合した。20時間インキュベートした後、100μ1の上清を集め、抗ヒ トIFN - モノクローナル抗体(mAb)(Biosource、カリフォルニア州カ マリロ)で被覆した酵素結合免疫吸着アッセイ(ELISA)プレート(Immunop late MaxiSorp、Nunc、デンマーク)に加えた。 4 で1晩インキュベ ートした後、プレートを3回洗浄し、ウサギ抗ヒトIFN - ポリクローナル抗体(Ab) (B i o s o u r c e 、カリフォルニア州カマリロ) の 1 : 2 0 0 0 希釈液を 1 0 0 μ 1 加えて 3 7 で 2 時間インキュベートした。プレートは 3 回洗浄し、アルカリホスファ ターゼ標識ヤギ抗ウサギIgGポリクローナル抗体(Ab)(ベーリンガーマンハイム、 インディアナ州インディアナポリス)の1:2000希釈液を100µ1加えた。37 で 1 時間インキュベートした後、 1 0 0 μ l の 4 m g / m l p - ニトロフェノール ホ スフェート(シグマ、ミズーリ州セントルイス)を加え、室温で暗所にて10~20分イ ンキュベートし、反応を停止させるために 2 5 μ 1 の 1 Ν Ν α Ο Η を加えた。 4 0 5 π mの波長で光学密度を測定し、同一のアッセイで測定された組換え体IFN- 標品(B iogen、マサチューセッツ州ケンブリッジ)と比較してIFN- の濃度を計算した

[0118]

c DNA発現クローニング

CDNAライブラリーは非特許文献82および非特許文献83に記載されているように HLA-A2 ⁺ メラノーマ細胞株501melからのポリA RNAから構築された。簡単に記すと、第1鎖 cDNAはリンカープライマーGGACAGGCCGAGGC C(T)₄₀(配列番号42)で合成され、続いて第2鎖 cDNA合成が行われた。T4 DNAリガーゼで処理した後、2つのオリゴヌクレオチドCCAITCGCGACC(配列番号43)およびGGTCGCGATTGGTAA(配列番号44)からなるSfi IアダプターをcDNAの末端に連結した。cDNAはSfiIで消化し、消化された断 片はスパンカラムを通して単離された。cDNAは次にSfiI消化により調製されたバ クテリオファージ pCEV27(非特許文献83)ベクターアームと混合し、in v itroパッケージングが実施された。

[0119]

20

30

40

50

、メリーランド州ゲイサーズバーグ)選択後、個々のコロニーを単離し、96穴マイクロプレート中で培養してレプリカプレートを作製した。5×10⁴ T I L 1 2 0 0 および 5×10⁴ T I L 1 2 0 0 および 5×10⁴ T I L 1 2 3 5の混合物を、コンフルエント近くまで増殖しているトランスフェクト体を含むマイクロプレートのウェルに加え、20時間インキュベートした。上清を集め、I F N - を E L I S A で測定した。

[0120]

陽性トランスフェクト体のゲノムDNAからトランスフェクトされた遺伝子を取り出すため、挿入された遺伝子に隣接するSP6およびT7プライマーを用いてポリメラーゼ連鎖反応(PCR)が実施された。増幅産物はpcDNA3ベクター(インビトロジェン、カリフォルニア州サンディエゴ)内へクローン化された。cDNA22および23については、完全長cDNAを含むHindIIおよびXhoI断片が発現ベクターpcDNA3(インビトロジェン、カリフォルニア州サンディエゴ)内へサブクローン化された。【0121】

クローン化 C D N A が腫瘍抗原をコードしているかどうかを試験するため、クローン化遺伝子を含む p c D N A 3 が D E A E デキストラン法(非特許文献 8 4)によりC O O ウ 知細胞株内へ一過性にトランスフェクトされた。簡単に記すと、6 穴プレートを用い、1 m M のクロロキンおよびクローン化遺伝子および/または p c D N A - H L A - A 2 . 1 (非特許文献 7 7)を含む p c D N A 3を1 µ g 含む 0 . 7 5 m 1 の D M E M 中、3 7 で4時間インキュベートした。培地を除去した後、1 0 % D M S O を含む H B S S 緩 面 M 中で2 分間インキュベートした。細胞を P B S で 1 回洗浄し、7 . 5 % F C S D M E M 中で2 日間インキュベートした。2 9 3 細胞株はリポフェクタミン(B R L 、メトランド州ゲイサーズバーグ)を用い、使用説明書に従っての S 7 または 2 9 3 細胞の T I L から I F N - 放出を媒介する能力が評価された。H L A - A 2 遺伝子の発現はフローサイトメトリーにより試験された。安定なトランスフェクト体はリン酸カルシウム法により作製され、個々のコロニーおよびプールされたトランスフェクト体は細胞毒性および I F N 放出アッセイにより T I L への反応性が試験された。

[0122]

クローン化遺伝子のDNA配列決定はdGTPおよび7-デアザ-dGTPを用いるジデオキシ鎖停止法により実施された。DNAおよびタンパク質配列はGeneBankのGCGプログラム、EMBLデータライブラリー ヌクレオチドデータベースおよびSWISS-PROT、PIR、GenPept、Brookhavenタンパク質データバンクタンパク質データベースにより解析された。

[0 1 2 3]

ノーザンブロット解析

全RNAはグアニジン・イソシアネート・塩化セシウム遠心分離法(非特許文献28)により単離された。正常組織からの全RNAはクローンテック(カリフォルニア州パロアルト)から購入された。全RNAの10~20μgが1%アガロース ホルムアルデヒドゲル電気泳動にかけられ、ナイロン膜(Duralon・UV膜、ストラタジーン、カリフォルニア州ラホヤ)へ転写された。クローン22からの完全長cDNAを含むSalI消化断片および ・アクチンcDNA(クローンテック)はランダムプライミングにより標識され、プローブとして使用された。プローブとのハイブリダイゼーションはQuikHybプロトコール(ストラタジーン)に従って68 で2~16時間行われた。膜を、2×SSC/0.1%SDSを用いて2回、60 にて15分間、0.1×SSCを用いて1回、60 にて15分間洗浄し、オートラジオグラフィーを行った。

[0124]

メラノーマ患者からの培養TILの特徴付け

H L A - A 2 ⁺ メラノーマ患者から複数のTILが確立され、HLA - A 2 ⁺ およびH L A - A 2 ⁻ 患者からのメラノーマ細胞株の溶解が試験された。患者のHLA型検査は通

20

30

40

50

常のHLA型検査技術により実施された。MHCクラスI抗原を最もよく発現し、メラノーマ抗原認識の優勢な拘束要素であることが示されている(非特許文献85)ので、HLA・A2が選択された。TIL501、TIL1235およびTIL1200はHLA・A2拘束性様式で共有メラノーマ抗原の特異的認識を示した。TIL501.A42は限界希釈によりTIL501から確立されたT細胞クローンであった。これらのTILは種々のHLA・A2 ⁺ メラノーマまたはメラノサイト細胞株と同時培養された場合には溶解またはIFN・、TNF およびGM・CSFを含むサイトカインの放出を起こすが、HLA・A2 ⁻ メラノーマ細胞株または乳癌細胞株MDA231を含むHLA・A2 ⁺ 非メラノーマ細胞株では起こさない。2つの代表的な実験が表1に示されている。従って、これらのCTLはメラノサイト系列特異的抗原に由来する非突然変異体ペプチドを認識するように思われる。

[0125]

T細胞により認識されるメラノーマ抗原をコードするcDNAのクローニング

HLA-A2⁺501melメラノーマ細胞株からのcDNAライブラリーを、2つの非常にトランスフェクト可能なHLA-A2.1⁺癌細胞株MDA231およびA375内へトランスフェクトした。これらの細胞株はメラノーマ特異的TILにより溶解されないが、M1_{59.66}ペプチド(GILGFVFTL;1文字コード(配列番号45)、インフルエンザマトリックスタンパク質由来)でインキュベーション後またはM1遺伝を含む組換え体ワクシニアウイルスの感染後にHLA-A2拘束性インフルエンザM1最白のCTLにより溶解される(データは示されていない)。従って、これらの細胞株は正常な抗原プロセッシングおよび提示能を示すが、関連メラノーマ抗原の発現が欠けているためこれらメラノーマ特異的TILにより溶解されない。G418で選択後、日の一大の一大で開発ではなれた。IFN-放出アッセイを用い、21個のMDA231および27個のMDA231および7個のA375陽性クローンが単離され、再スクリーニングされた。これらのクローンの内、8個のMDA231および7個のA375陽性クローンが単離され、再スクリーニングされた。これらのクローンの内、8個のMDA231および7個のA375同のスクリーニングアッセイで陽性であった。

[0126]

組み込まれた遺伝子をとるため、これら陽性トランスフェクト体からのゲノムDNAを用い、挿入遺伝子に隣接するSP6およびT7プライマーでPCRが行われた。MDA-22およびMDA-23トランスフェクト体からの1.6kbバンドを含む1~2本の鮮明なバンドを示した7個のトランスフェクト体から増幅された8つの遺伝子がpCRIIクローニングベクター内へサブクローン化され、さらにpcDNA3真核生物発現ベクター内へクローン化された。cDNA22プローブによるノーザンブロット解析により検出された1.6kbバンドは、この断片が完全長cDNAであったことを示唆した。

[0127]

クローン22または23からのcDNAを含む発現ベクターpcDNA3のCOS7または293細胞内への一過性トランスフェクションは、HLA-A2.1遺伝子と一緒に加えると、IFN-の特異的放出により示されるTIL1235およびTIL501.A42への反応性を与えた(表2、実験1および実験2)。これらcDNA断片のMDA231またはA375me1細胞株内への安定なトランスフェクションもまた、TIL501.A42はcDNA22で安定にトランスフェクションされたMDA231を溶解できた(データは示されていない)。以上の結果は、メラノーマ患者からのHLA-A2将解でででいる。別のクローン、MDA-25のトランスフェクションはTIL1200のみからてリスターフェロンの放出を刺激した。このcDNAの特徴付けにより、それはモノクローナル抗体HMB45により認識され、従来記述されているメラノーマ抗原gp100とは類似しているものの異なっていることが明らかにされた。このクローンは実施例3にさ気に詳細に記載されている。

【 0 1 2 8 】 【表 1 A 】

表1 メラノーマおよびメラノサイトに対するTIL501. A42およびTIL1235の特異性

| A. 溶解特易 | 異性* | | | |
|----------|--------|-------------|----------------|------|
| 標的* | HLA-A2 | TIL501. A42 | TIL1235 %溶解 | LAK+ |
| 501me1 | + | 54 | 51 | 78 |
| 526mel | + | 25 | 33 | 74 |
| 624me1 | + | 23 | 27 | 75 |
| 952me1 | + | 10 | 11 | 75 |
| Malme3N | + | 36 | 41 | 70 |
| C32 | + | 17 | 23 | 82 |
| RPMI7951 | + | 1 | 6 | 67 |
| WN115 | + | -2 | 3 | 68 |
| HS695T | + | . 1 | 2 | 87 |
| 397me1 | - | -1 | 0 | 70 |
| NDA231 | + | 0 | 3 | 94 |

[0129]

【表 1 B 】

B. サイトカイン放出特異性**

| 刺激細胞** | HLA-A2 | TIL501. A42 | TIL1235 | TIL586++ | |
|------------------|----------|-------------|---------|----------|----|
| | | | pg IFN- | γ/m1 | |
| 501mel | + | 647 | 219 | <50 | 10 |
| 586mel | - | <50 | <50 | 1034 | .0 |
| NHE M 493 | + | 1835 | 850 | <50 | |
| NHEN527 | + | 1638 | 749 | <50 | |
| NHEM530 | + | 1224 | 2532 | <50 | |
| NHEM533 | + | 300 | 251 | <50 | |
| NHEM616 | + | 635 | 423 | <50 | 20 |
| FN725 | + | 5975 | 1471 | <50 | 20 |
| FM801 | + | 1375 | 893 | 62 | |
| NHEM483 | - | <50 | <50 | <50 | |
| NHEM680 | - | <50 | <50 | 548 | |
| HA002 | <u> </u> | <50 | <50 | <50 | |

[0130]

TIL501.A42およびTIL1235はほとんどのHLA-A2メラノーマ細胞株を溶解し、HLA-A2メラノーマおよびメラノサイトと培養した場合IFN- を分泌した。

- * ^{5 1} C r 放出アッセイはTIL501.A42に対してはE:T=20:1で、TIL1235に対しては40:1で行われた。乳癌細胞株MDA231を除いて全ての標的はメラノーマ細胞株である。
- * TILおよび刺激細胞を20時間一緒にインキュベートした後、上清中のIFN-が測定された。501melおよび586melはメラノーマ細胞株である。他の全ては正常メラノサイト細胞株である。
- [†] L A K : リンホカイン活性化キラー細胞。
- † TIL586はMHCクラスI拘束性メラノーマ特異的TILであり、HLA-A2により拘束されない。

[0131]

クローン 2 2 および 2 3 の c D N A 配列は P C R により導入された変化と信じられる単一の塩基を除いて同一であった。 2 つの他の独立して増幅された断片もまたこの領域を明らかにするために配列決定され、コンセンサス配列が図 1 に示されている。この遺伝子中の最長のオープンリーディングフレームは 1 3 k d の 1 1 8 アミノ酸タンパク質に対応する 3 5 4 塩基から成っている。この配列は確立されたデータベース内のどの完全長ヌクレオチド配列またはタンパク質配列とも有意な類似性を示さなかった。アミノ酸 2 7 ~ 4 7

30

40

位はHLA-A2結合ペプチド(非特許文献56、非特許文献86、非特許文献55、非特許文献87)を含むであろう疎水性領域から成っている。cDNA22および23によりコードされている抗原はMART-1(T細胞-1により認識されるメラノーマ抗原)と称された。作製した10種のHLA-A2拘束性TIL株のうち9種がMART-1を認識し、4種がここに記載し、単離されたgp100の1つの型を認識したが(実施例3参照)、どれもMAGE-1を認識しなかった(非特許文献88;データは示されていない)。

[0 1 3 2]

【表2】

表2 遺伝子22または23でトランスフェクトされたHLA-A2⁺細胞株 と培養された場合のTIL501. A42およびTIL1235による インターフェロンγ分泌

| 刺激細胞 | トランスフェクト | HLA-A2 | TIL501. A42 | <u>TIL1235</u> |
|-------------|--------------|--------|-------------|----------------|
| | された遺伝子 | | | |
| | | | p | g/ml |
| <u>実験1</u> | | | | |
| 501me1 | ナシ | + | 1009* | 1076 |
| 397me1 | ナシ | - | <50 | <50 |
| C0S7 | ナシ | - | <50 | <50 |
| C0S7 | HLA-A2. 1 | + | <50 | <50 |
| C0S7 | 22 | - | <50 | <50 |
| COS7 | HLA-A2. 1+22 | + | 771 | 1049 |
| <u>実験 2</u> | | | | |
| 01mel | ナシ | + | ND+ | 1051 |
| 97me1 | ナシ | - | ND | <50 |
| 293 | HLA-A2. 1 | + | ND | <50 |
| 93 | 22 | - | . ND | <50 |
| 93 | HLA-A2. 1+22 | + | ND | 255 |
| ミ験 3 | | | | |
| 501mel | ナシ | + . | 1073 | 1056 |
| 97me1 | ナシ | - | <50 | <50 |
| DA231 | ナシ・ | + | <50 | <50 |
| DA231 | 23 | + | 674 | 725 |
| 375 | ナシー | + | <50 | <50 |
| 375 | 23 | + | 264 | 131 |

[0133]

D E A E デキストラン法により H L A - A 2 . 1 および / または c D N A 2 2 を含む p c D N A 3 で一過性にトランスフェクトされた C O S 7 または 2 9 3 細胞株 (実験 1 および実験 2)、または c D N A 2 3 で安定にトランスフェクトされた A 3 7 5 または M D A 2 3 1 細胞株 (実験 3)と一緒に T I L を 2 0 時間インキュベートした後に上清中の I F N - が測定された。 I F N - は T I L が c D N A 2 2 または 2 3 でトランスフェクトさ

れたHLA-A2 + 細胞株とインキュベートされた場合のみに分泌された。

* 刺激因子なしのTIL単独により分泌されたIFN- (< 5 0 p g / m l)は差し引かれている。

⁺実施されなかった。

[0134]

【表3】表3 種々の組織および細胞株におけるMART-1遺伝子の発現

| メラノーマ | | 正常新鲜組織 | | 結腸癌 | |
|----------|----------|---------------------------------------|------------|----------------------------|---|
| | | | • | Collo | - |
| HLA-A2+ | | 脳 | - | SW480 | _ |
| | | 網膜 | + | WiDr | _ |
| 501me1 | + | 副腎 | - | | |
| 526mel | + | 肺 | - . | <u> 乳癌</u> | |
| 624me1 | + | 肝臓 | - | MDA231 | - |
| Na1me3N | + | 腎臌 | - | MCF7 | - |
| 952mel | + | 脾臟 | - | HS578 | - |
| 697mel | + | 胸腺 | - | ZR75 | - |
| C32 | + | 精巣 | | | |
| RPN17951 | - | 胎児肝臓 | - | 神経芽腫 | |
| WM115 | - | | | SK-N-AS | - |
| A375 | - | 非メラノーマ | 細胞株 | SK-N-SH | - |
| HLA-A2- | | <u> T細胞</u> | | Ewing肉腫 | |
| | | | | | |
| 227 1 | | TILA | - | TC75 | - |
| 397mel | + | TILB | - | RD-ES | - |
| 888me1 | + | T (| | 6647 | - |
| 537mel | + | B細胞 | | | |
| 586me1 | + | Daudi | - | <u>肉腫</u> | |
| | | HNY-C1R | - | 143B | _ |
| メラノサイ | <u> </u> | 501EBVB | - | | |
| MIDN 400 | | 836EBVB | - | <u>膠腫</u> | |
| NHEM483 | + | Spir lift after him 11 to | | U138MG | - |
| NHEN493 | + | 線維芽細胞 | 106 | HS683 | - |
| NHEN529 | + | №1 線維芽細 | 紀 - | MARIE Alege Tillian archer | |
| NHEN530 | + | ### ################################# | | 腎細胞癌 | |
| FN902 | + | 腎臟上皮細胞 | | U0K108 | - |
| FN906 | + | KAN | - | UOK117 | - |
| HA002 | + | WLC | | 小女性吃一种 | |
| | | | | 小細胞肺癌 H1092 | |
| | | | | n1092 | |

[0 1 3 5]

遺伝子22の完全長cDNAをプローブとして、10~20μgの全RNAをノーザンブロット解析で調べた。ほとんどのメラノーマ、試験された全てのメラノサイト細胞株および網膜が陽性であった。

[0136]

M A R T - 1 の発現

[0137]

T細胞クローンおよび免疫選択されたメラノーマクローン(非特許文献89、非特許文献90)の一団を用いた研究、並びにメラノーマ細胞からのHPLC分画ペプチド分析の研究(非特許文献91、非特許文献92)は、免疫応答を惹起できる複数の抗原ペプチドがメラノーマ上に存在することを示唆している。cDNAクローニングにより、メラノーマ抗原をコードしている2つの遺伝子が同定されている;MART-1(図1;配列番号1)およびgp100遺伝子(実施例3参照;図4Aおよび図4B;配列番号26)。MART-1およびここで同定された型のgp100(図4および図5A;配列番号26および27)は両方ともHLA-A2.1拘束性TILで認識される。MART-1抗原は約13kdの118アミノ酸のタンパク質である。MART-1に関する遺伝子またはアミノ酸配列はこれまで報告されていない。

[0138]

MART-1 RNAは14種のHLA-A2.1陽性または陰性メラノーマ株の内11種、7種のメラノサイト株の内7種で発現された。網膜組織を除き、試験された正常組織、T細胞株、B細胞株、腎臓上皮株、線維芽細胞株、または結腸癌、乳癌、脳腫瘍、腎臓癌、肺癌または骨肉腫由来の19種の腫瘍細胞株ではMART-1発現は観察されなかった。

[0139]

繰り返しのin vivoまたはin vitro免疫化後の末梢血リンパ球に由来するT細胞により認識される別のメラノーマ抗原、MAGE-1が記載されている(非特許文献18)。

[0140]

メラノーマ腫瘍抗原に関連した遺伝子の同定は、ウイルスまたは細菌ベクター系内へのこれら遺伝子の導入に基づいた癌患者の免疫療法において活性で特異的な免疫化法に対する新規な可能性を開くものである。MART-1のようなメラノサイト・メラノーマ系列抗原に対して誘導された免疫応答は正常細胞に対しても発生されるであろう可能性が存在する。多分抗メラノサイト免疫応答から生じる白斑が好ましい予後に関連することがメラノーマ患者において報告されており(非特許文献93、非特許文献94)、化学免疫療法に対応する患者においても報告されている(非特許文献95)。抗メラノサイト・メラノーマ反応性を持つTILが進行メラノーマ患者に投与されており(非特許文献5、非特許文献6)、散在性白斑がこれらの患者に見られるが、網膜細胞上のこれらメラノサイト抗原の潜在的発現に関係した不利な眼科学的影響は観察されなかった。

[0141]

50

10

20

30

HLA-A2は約50%の個体に存在しており、HLA-A2拘束性MART-1抗原もまたメラノーマ上に広く発現されているので、MART-1による免疫化は活性な免疫療法の開発に特に有用であろう。

【実施例2】

[0142]

M A R T - 1 の 免 疫 原 性 エ ピ ト ー プ の 特 徴 付 け

メラノーマ特異的CTL株およびTIL由来クローンの作製

メラノーマ特異的CTL株は、前に報告されているように(非特許文献81)、転移性メラノーマから作製される単一細胞懸濁液を6000U/mlのIL-2(Cetus-Oncology Division、カイロン社、カリフォルニア州エメリービル)と培養することにより作製した。T細胞クローンA42は患者501から限界希釈法により確立された。

[0143]

CTLによる抗原認識の評価

[0144]

ペプチド合成および抗原ペプチドの同定

ペプチドはGilson AMS422多ペプチド合成機を用いて固相法により合成された。ペプチドはVydac C-4カラムを用いて0.05%TFA/水-アセトニトリルで溶出するHPLCにより精製した。抗原ペプチドを同定するため、各々のペプチドと2時間あらかじめインキュベートしたT2細胞株のTIL溶解が51Cr放出細胞毒性アッセイを用いて測定された。

[0145]

H L A - A 2 拘 束 性 メラ ノー マ 特 異 的 T I L

HLA-A2拘束性メラノーマ特異的CTL株およびクローンA42は、10人のメラノーマ患者の腫瘍浸潤リンパ球から確立された。これらのTILはHLA-A2を発現している自己由来およびほとんどの同種由来の新鮮または培養メラノーマ細胞を認識するが、HLA-A2・メラノーマまたはHLA-A2・非メラノーマ細胞株(非特許文献12)を認識しなかった。またそれらは新生児皮膚由来HLA-A2・正常培養メラノサイトも認識した(実施例1および非特許文献15参照)。すなわち、これらのTILはHLA-A2に関連してメラノーマおよびメラノサイトで発現されるタンパク質に由来する非突然変異体自己ペプチドを認識した。

[0146]

TILによる別のメラノーマタンパク質の認識

M A R T - 1、 g p 1 0 0 の 1 つの型(図 5 A ; 配列番号 2 6、 実施例 3 参照)、およびチロシナーゼ関連タンパク質(g p 7 5)を含む 4 種の単離されたメラノーマタンパク質の認識の頻度を評価するため、C O S 7 に対する T I L の反応性が、これら 3 種のタン

10

20

30

40

パク質をコードしている c D N A を、 H L A - A 2 . 1をコードしている c D N A とともにまたはなしでトランスフェクトされた細胞株上で試験された。 9種のTILを用いたいくつかの実験の内1つが表4に示されている。 9種のHLA - A 2 . 1で同時にトランスフェクトされた細胞株上で試験された。 9種のTILを用いた異的TILの内8種が、MART - 1 およびHLA - A 2 . 1で同時にトランスフェクトれたCOS7とインキュベートした場合にIFN - を分泌した。比較的オリゴクローナルなCTL株であるTIL1200(非特許文献 9 7)のみがこのCOSトランスフェクト体に応答しなかった。4種のTIL(620、660、1143、1200)は11200はTIL620、660および1143と比較して多量のIFN - を分泌しておりこれら後者の3種のTIL株中の小さなT細胞サブセットのみがgp100を認識したっており、これら後者の3種のTIL株中の小さなT細胞サブセットのみがgp100を認識した。である。

[0147]

TILに対するMART-1エピトープの同定

これらのTILに対するMART - 1エピトープを同定するため、HLA - A2. 1へ の既知ペプチドの結合モチーフ(非特許文献 5 6、非特許文献 8 6、非特許文献 5 5)に 基づいて23個のペプチドが選択され、合成され(>90%純度)、そして各々のペプチ ドとT2株をインキュベーション後にTILによるHLA-A2.1[÷] T2細胞株の溶解 を試験することによりスクリーニングされた(表5)。T2細胞(非特許文献79)細胞 株 は、 ペプチド M 9-2、 M 10-3または M 10-4とあらかじめインキュベートした 場合、 試験された 4 種すべてのHLA-A2拘束性メラノーマ特異的TILにより溶解さ れた。両方とも10アミノ酸ペプチドであるM10-3およびM10-4はM9-2配列 を含んでおり、M10-3はそのN末端に追加のグルタミン酸を持ち、M10-4はその C末端に余分のイソロイシンを持っている。これらのペプチドはMART - 1の疎水性の 推定膜貫通ドメインに位置している。これらのペプチドとインキュベートされた他のHL A - A 2 ⁺ 細胞を標的として使用した場合に同一の溶解が観察され、それらには H L A -A 2 . 1 遺伝子でトランスフェクトされた、エプスタインーバールウイルス形質転換 B 細 胞のK4B(NIHのWilliam Biddson博士から提供を受けた;非特許文 献92)および501EBVB(非特許文献9)、またはHMY-CIR B細胞(NI HのWilliam Biddson博士;非特許文献92)が含まれる(データは示さ れていない)。

[0148]

ペプチドM9 - 1、M9 - 2、M9 - 3、M10 - 2、M10 - 3、M10 - 4 およびM10 - 5 はさらに精製され、MART - 1 反応性TIL1235またはT細胞クローンA42(図2)によるT2細胞の溶解を感作する相対的能力を評価するために力価を測定された。精製されたペプチドM9 - 2、M10 - 3 およびM10 - 4 は各々1ng/ml、100ng/mlおよび1000ng/mlの最少濃度が必要とされた。精製されたM10 - 4 は図2に示したように10μgでさえもTILクローンA42により認識されなかった。M9 - 1、M9 - 3、M10 - 2 およびM10 - 5 ペプチドはA42でもTIL1235でも認識されなかった。

[0149]

10

20

30

 【表 4 】

 <u>表 4 HLA-A 2</u> 拘束性メラノーマ特異的TILによるメラノーマ抗原の認識

| 刺激 | トランスフェ | HLA-A2 | TIL | TIL | TIL | TIL | TIL | TIL | TIL | TIL | TIL |
|------------|------------|--------|-----|-----|-----|------|-------|-------|------|------|------|
| 細胞株 | クトされた | | 501 | 620 | 660 | 1074 | 1088 | 1128 | 1143 | 1200 | 1235 |
| | c DNA | | | | | | | | | | |
| | · | | | | | IFN- | · γ 分 | 巡(pg. | /m1) | | |
| 501mel | ナシ | + | 93 | 72 | 530 | 670 | 491 | 272 | 354 | 736 | 750 |
| 897mel | ナシ | - | 0 | - 0 | 0 | 0 | 0 | 0 | 0 | 0 | 0 |
| 087 | ナシ | - | 0 | 0 | 0 | 0 | 0 | 0 | 14 | 0 | 0 |
| 087 | HLA-A2. 1 | + | 0 | 0 | 0 | 0 | 0 | 0 | 0 | 0 | 0 |
| 087 | MART-1 | | 0 | 0 | 0 | 0 | 0 | 0 | 12 | 0 | 0 |
| 087 | gp100 | - | 0 | 0 | 0 | 0 | 0 | 0 | 14 | 0 | 0 |
| 087 | gp75 | - | 0 | 0 | 0 | 0 | 0 | 0 | 0 | 0 | 0 |
| 7 | HLA-A2. 1 | + 2 | 270 | 196 | 131 | 625 | 328 | 52 | 184 | 0 | 743 |
| | +MART-1 | | | | | | | | | | |
| S 7 | HLA-A2. 1+ | + | 0 | 89 | 17 | 0 | 0 | 0 | 14 | 391 | 8 |
| | +gp100 | | | | | | | | | | |
| S7 | HLA-A2. 1+ | + | 0 | 0 | 0 | 11 | 0 | 0 | 7 | 0 | 0 |
| | +gp75 | | | | | | | | | | |

[0150]

H L A - A 2 . 1 とともにまたはなしで、メラノーマで発現されるタンパク質をコードしている c D N A で同時トランスフェクトされた C O S 7 細胞と一緒にHLA - A 2 拘束性メラノーマ特異的TILをインキュベートした後の上清でINF - は測定された。TIL1200を除く全てのTILは、MART - 1 およびHLA - A 2 . 1をコードしている c D N A で同時トランスフェクトされた C O S 7 と培養した場合にIFN - を分泌した。TIL620、660、1143および1200は、gp100およびHLA - A 2 . 1をコードしている c D N A で同時トランスフェクトされた C O S 7 と培養した場合にIFN - を分泌した。

[0151]

【表5】表5 合成MART-1ペプチドと前もってインキュベートしたT2細胞の溶解

| | | | | TIL | TIL | TIL |
|------------|---------------|-------------------|-----|------|-----|------|
| 標的 | ペプラ | <u> </u> | A42 | 1235 | 660 | 1074 |
| | | | | %特異的 | 容解 | |
| 501mel | ナシ | / | 47 | 30 | 31 | 41 |
| 397me1 | ナシ | / | 1 | 0 | 1 | 2 |
| | | | | | | |
| T2 | ナシ | | -2 | -3 | -1 | 1. |
| T2 | M9-1 | TTAEEAAGI | -10 | -5 | -5 | -4 |
| T2 | M9-2 | AAGIGILTY | 64 | 80 | 40 | 56 |
| T 2 | M 9-3 | GIGILTVIL | 18 | 20 | 0 | 10 |
| T2 | M9-4 | GILTVILGV | 1 | -1 | -3 | 2 |
| T2 | N 9-5 | ILTVILGVL | -2 | -1 | -5 | -1 |
| T 2 | M 9-6 | LTVILGVLL | 1 | 0 | 1 | 0 |
| T 2 | M9-7 | TVILGVLLL | -2 | -3 | -2 | 1 |
| T2 | M9-8 | VILGVLLLI | 1 | 5 | -2 | -2 |
| T2 | M 9-9 | ALNDKSLHV | -1 | -4 | -8 | 0 |
| T 2 | M9-10 | SLHVGTQCA | -1 | 1 | -8 | 4 |
| T2 | M9-11 | PVVPNAPPA | -2 | 0 | 4 | -1 |
| T2 | M 9-12 | NAPPAYEKL | 1 | -2 | 0 | 6 |
| | | | | | | |
| T2 | M 10-1 | YTTAEEAAGI | -4 | -2 | -3 | . 3 |
| T 2 | N10-2 | TAEEAAGIGI | 7 | 11 | 12 | 15 |
| T 2 | N10-3 | EAAGIGILTV | 55 | 66 | 31 | 51 |
| T2 | ¥10−4 | AAGIGILTVI | 34 | 68 | 29 | 21 |
| T2 | M 10-5 | GILTVILGVL | -1 | . 2 | 7 | 10 |
| T 2 | ¥10−6 | ILTVILGVLL | 1 | 6 | 6 | 7 |
| T2 | M10-7 | LTVILGVLLL | -2 | 1 | -1 | 2 |
| T2 | M10-8 | TVILGVLLLI | -6 | -1 | -1 | 11 |
| T2 | M10-9 | RALMDKSLHV | 3 | 5 | 8 | 11 |
| T2 | W10-10 | | -2 | -8 | 2 | 9 |
| T2 | M10-11 | | 3 | 2 | 2 | 9 |

[0 1 5 2]

2 3 個のペプチド(配列番号 3 ~ 2 5)(9 量体 1 2 個および 1 0 量体 1 1 個)(> 9 0 % 純度)が合成され、異なった患者由来のTILクローンA42、TIL株TIL 1 2 3 5、TIL660およびTIL1074による溶解性が、各々のペプチド(10μg/m1)とあらかじめインキュベートされたHLA-A2 ⁺ T2細胞に対し、A42に対しては 2 0:1のE:T比にて4時間の ^{5 1}

20

C r 放出細胞毒性アッセイで試験された。 M 9 - 2、 M 1 0 - 3 および M 1 0 - 4 とインキュベートされた場合に T 2 細胞はよく溶解された。 M 1 0 - 3 および M 1 0 - 4 は全 M 9 - 2 配列(下線)を含んでいる。

[0153]

<u>異なった患者から確立されたHLA-A2拘束性TILによるMART-1ペプチドの</u>認識

種 々 の H L A - A 2 拘 束 性 M A R T - 1 特 異 的 T I L が M A R T - 1 抗 原 中 の 同 一 エ ピ トープを認識するかまたは異なったエピトープを認識するかを評価するため、各々のペプ チドとあらかじめインキュベートされたT2細胞(非特許文献79)の溶解が10人のメ ラ ノ ー マ 患 者 由 来 T I L で 試 験 さ れ た 。 1 0 種 の T I L を 用 い た 代 表 的 な 実 験 は 表 6 に 示 されている。M9-2およびM10-3は10種のTILの内9種およびA42クローン で認識され(TIL1200のみが陰性であった)、MART-1およびHLA-A2. 1をコードしているcDNAで同時にトランスフェクトされたCOS7細胞と同一の溶解 パターンであった。TIL620およびTIL1088はペプチドなしでまたは無関係の ペプチド添加後に低レベルの非特異的溶解を示したが、 M 9 - 2 、 M 1 0 - 3 および M 1 O - 5 ペプチドとあらかじめインキュベートすると有意にT 2 細胞の溶解増加を示した。 M 1 0 - 4 の認識はTIL内では異なっているが、T細胞クローンA42またはT細胞株 TIL1235によるM10-4への異なった反応性と似ていた(図2Aおよび図2B) 。 M 9 - 2 または M 1 0 - 3 に必要とされるよりも、より高濃度(1 μ g / m l)の M 1 0 - 4 が溶解のために必要とされた。これらの10種のTILおよびクローンA42はま た、M9-2またはM10-3とあらかじめインキュベートされたT2細胞とインキュベ ートした場合、IFN- 、GM-CSFおよびTNF- を含むサイトカインも分泌し た(データは示されていない)。従って、M9-2またはM10-3は、HLA-A2拘 束性メラノーマ特異的TILの大多数により認識される共通のエピトープである。

[0154]

【表6】

標的 ペプチド 501 620 660 107 1088 1128 1143 1200 1235 1363 A42 μ (μ g/1)

表6 HLA-A2拘束性メラノーマ特異的TILによるMART-1ペプチドの認識

| | | | | | | | %特 | 異的溶 | 解 | | | | |
|------------|-------------|----------|------|----|----|----|-----|-----|----|----|----|----|-----|
| 501 | mel | ナシ | 42 | 9 | 35 | 32 | 31 | 19 | 24 | 41 | 32 | 43 | 41 |
| 397 | me1 | ナシ | 3 | 16 | 6 | 1 | . 1 | 4 | 3 | 3 | 3 | 4 | 1 |
| Т2 | | ナシ | 0 | 7 | -3 | -6 | 7 | -6 | -7 | -6 | 7 | 7 | -6 |
| Т2 | M 9 | -1(1) | 4 | 15 | -4 | 1 | 31 | 1 | -5 | -1 | 1 | 4 | 3 |
| T2 | M 9 | -2 (1) | 86 | 75 | 73 | 79 | 98 | 30 | 36 | 2 | 92 | 82 | 91 |
| T2 | M 9 | -2(0.001 | 52 | 49 | 23 | 32 | 81 | 9 | 6 | 1 | 10 | 1 | 63 |
| T 2 | H 9 | -3 (1) | 5 | 25 | 0 | 1 | 19 | 0 | 1 | -2 | .0 | -2 | -4 |
| T2 | M1 | 0-2(1) | 10 | 22 | 5 | 8 | 21 | 8 | 3 | 7 | 7 | 7 | 6 |
| Т2 | M10 | -3(1) | 84 | 68 | 68 | 73 | 79 | 24 | 27 | 1 | 42 | 67 | 62 |
| T2 | M10 | -3(0.00 | 1)91 | 50 | 33 | 25 | 86 | 13 | 14 | 0 | 14 | 39 | • 1 |
| T2 | N 10 | -4(1) | 83 | 47 | 16 | 35 | 80 | 6 | 3 | 1 | 14 | 53 | 0 |
| T 2 | M10 | -4(0.00) | L) 0 | 11 | 3 | 0 | 14 | 4 | -1 | -1 | 2 | -3 | -3 |
| T2 | M 1 | 0-5(1) | 4 | 14 | 1 | 4 | 13 | 2 | 3 | 0 | 3 | 0 | 2 |

[0 1 5 5]

1 0 人の患者由来のTILクローンA42 およびTIL株による、精製ペプチドM9 - 1 、M9-2、M9-3、M10-3、M10-4およびM10-5とあらかじめインキュ ベートされた T 2 細胞の溶解性が、 A 4 2 に対しては 2 0 : 1 の E : T比で、他の T I L 株に対しては40:1のE:T比にて4時間の⁵¹Cr放出アッセイで試験された。10 種のTILの内 9 種は、ペプチドM 9 - 2 またはM 1 0 - 3 とインキュベートされたT 2 細胞を溶解した。 1 0 種の T I L の内 7 種は、 1 μg / m l 濃度のペプチド M 1 0 - 4 と インキュベートされたT2細胞を溶解した。

[0156]

10人のメラノーマ患者由来のT細胞による既知メラノーマタンパク質認識の相対頻度が試験された。これらのTILの内9種により優勢に認識されるMART-1抗原中の共通エピトープM9-2およびM10-3も同定された。スクリーニングアッセイにおいて、TIL1235を用いたcDNA発現クローニングによりMART-1をコードしているcDNAが単離された(実施例1参照)。MART-1は1つの膜貫通ドメインを含む118アミノ酸のタンパク質であり、実施例3に記載したgp100の1つの型のcDNAの発現パターンと同様に、ほとんどのメラノーマ細胞ならびに培養メラノサイトおよび網膜で発現される。gp100は10種のTILの内4種により認識される。

[0157]

用量反応分析に基づくと、ペプチドM9-2が溶解について最も効果的にT2細胞を感 作しており(図2)、このペプチドが自然にプロセシングされて腫瘍細胞上に提示されて いるかもしれないことが示唆される。M9-2を認識するT細胞はペプチドM10-3ま たはM10-4と反応するであろう(なぜなら、後者の10量体ペプチドはペプチドM9 - 2 の 9 アミノ酸の配列を含んでいるから)。異なったTILによるこれら3 ペプチドの 認識にはいくらかの相違が存在する。例えば、M10-4はT細胞クローンA42によっ てはあまり認識されないが、いくつかのTIL株によってはよく認識される。しかしなが ら溶解を観察するにはより高濃度のM10-4が必要とされた。このことは、HLA-A 2 に関連する M 9 - 2 および M 1 0 - 4 ペプチドへの T C R 親和性の変化によるものであ ろうし、もしくは、TIL株はM 9 - 2 または M 1 0 - 4 のみを認識する異なったT細胞 クローンを含んでいるかもしれない。ペプチドM10-3およびM10-4もまた自然に プロセシングされて腫瘍細胞上に提示されるかもしれない。HLA-A2により提示され る多数のメラノーマ抗原の存在は、種々のT細胞クローンによるメラノーマ細胞クローン の認識を解析することにより(非特許文献89、非特許文献90)、またはHLA-A2 メラノーマ細胞から単離されたHPLCペプチド画分を解析することにより(非特許文献 91、非特許文献92)、以前に示唆されている。

[0158]

メラノーマ患者由来のほとんどのHLA-A2拘束性TILが共通のMART-1ペプチドを認識するがgp75は認識しないという観察結果は、M9-2またはM10-3MART-1ペプチドが、in vivoでT細胞応答を誘導する際に他の既知メラノーマ抗原よりも免疫原性であることを示唆している。本研究で使用されたいくつかのTILがIL-2とともに自家移植患者に注射され、興味深いことにgp100タンパク質(図5A;配列番号27)を認識する4種全てのTIL(620、660、1074、1200)が有効に腫瘍退縮を誘導した(50%を超える腫瘍減少)。TIL1200を除く全てはMART-1も認識した。

【実施例3】

[0159]

in vivo腫瘍拒絶に関連する腫瘍浸潤リンパ球により認識される第2のヒトメラノ

マ抗原の同定

cDNA発現クローニング

gp100と称されるメラノーマ抗原の1つの型をコードしているcDNA25クローンは、実施例1および非特許文献83に記載されているような技術および類似の技術を用いてクローン化された。簡単に記すと、501me1メラノーマ細胞株から作製されたpCEV27中のcDNAライブラリーでトランスフェクトされた乳癌細胞株MDA231(ATCC#HTB26)をTILと同時培養した場合のインターフェロン (IFN-)分泌の測定により抗原陽性をスクリーニングした。TIL1200は非特許文献81に記載されているように作製した。組み込まれたcDNAは陽性トランスフェクト体のゲノムDNAからPCRにより回収され、哺乳類発現プラスミドpCDNA3(インビトロジェン、カリフォルニア州サンディエゴ)内へクローン化された。cDNA25の完全長cDNAはcDNA25プローブを用いて501me1

10

20

30

40

単離された。完全長 c D N A 2 5 を含む ファージは、 X h o I で消化し、次にT4 D N A リガーゼで自己連結してプラスミド p C E V 2 7 - F L 2 5 を作製した。もしくは、 g p 1 0 0 のために設計された特異的プライマーを用いて P C R により完全長 c D N A 2 5 を p C R I I (インビトロジェン)にクローン化し、続いて p c D N A 3 内へクローン化した(p c D N A 3 - F L 2 5)。この c D N A がメラノーマ抗原をコードしているか否かを試験するため、 C O S 7、 A 3 7 5 または M D A 2 3 1 内へ再トランスフェクトし、得られたトランスフェクト体は T I L 1 2 0 0 の刺激で試験した。プラスミドクローン p C E V 2 7 - F L - 2 5 の D N A 配列を自動化 D N A シークエンサー(モデル 3 7 3 A ; A p p 1 i e d B i o s y s t e m s 社)にて、 T a q ダイデオキシターミネーターサイクルシークエンシングキット(A p p 1 i e d B i o s y s t e m s 社)を用い、使用説明書に従って決定した。

[0160]

ペプチド合成および抗原ペプチドの同定

ペプチドはGilson AMS422多ペプチド合成機を用いて固相法により合成された。ペプチドはVydac C-4カラムを用いて0.05%TFA/水-アセトニトリルで溶出するHPLCにより精製した。抗原ペプチドを同定するため、ペプチドと2時間あらかじめインキュベートしたT2 RET細胞のTILによる溶解が⁵¹Cr放出細胞毒性アッセイを用いて測定された。

[0161]

TIL1200を用いる転移性メラノーマ患者の処置

広く転移したメラノーマを持ち、化学療法および放射線治療がうまくいかなかった29オの男性患者(患者番号1200)を25mg/kgのシクロホスホアミドの単一用量で処置し、続いて1.6×10¹¹個のTIL(9.1×10⁹個のインジウム標識TILを含む)に加えて7用量のIL-2(720,000IU/kg)を8時間ごとに静脈注射した。TILおよびIL-2による2回目の処置は3週間後に行われた。放射性核種スキャンはTILの腫瘍沈着による局在化を示した(図3A)。処置後8日および11日目での皮下腫瘍の生検は腫瘍へのTILの有意な局在化を示した(正常組織と比較した腫瘍グラム当たりの注射物の比は各々14.9および14.0であった)。患者の癌は1回目の処置後急速に退縮した。処置後3ヶ月では3カ所の肝臓病変の内2カ所が消失し、3番目の病変も50%退縮していた。多数の皮下転移物も図3Bに示されているように(個々の病変の垂直直径の積が示されている)完全に退縮していた。

[0162]

TIL1200のin vitro機能の特徴付け

HLA-A2 * メラノーマ患者から確立された多数のTIL株はMHCクラスI拘束性様式でメラノーマ細胞株を溶解させ(非特許文献12)、同一の腫瘍細胞株と一緒に培売した場合IFN- 、腫瘍壊死因子 (TNF))または顆粒球・マクロファージョ患者の一型激因子(GM-CSF)を放出することが示されている(非特許文献13)。患者の200の転移性皮下腫瘍塊から確立されたCD8 * CTL株TIL1200は、新鮮な月10種を溶解させるが、18種のHLA-A2 * 同種由来メラノーマ細胞株の内16種または8種のHLA-A2 * メラノーマ細胞株の内16種または8種のHLA-A2 * メラノーマ細胞株、TILにより溶解される5種の代表的なHLA-A2 * メラノーマ細胞株、TIL1200 はまたり溶解されない4種の代表的なHLA-A2 * メラノーマ細胞株よび1種のHLA-A2 * メラノーマ細胞株および1種のHLA-A2 * メラノーマ細胞株が11種のHLA-A2 * メラノーマ細胞株が11種のHLA-A2 * メラノーマ細胞株が11年の日はまた、メラノーマ細胞株に対する細胞毒性アッセイを示している。TIL1200はまた、メラノーマ細胞株が同時培養された場合にIFN- を分泌した(表8)。従って、TIL1200はほとんどのメラノーマおよびHLA-A2拘束性様式の培養新生児メラノサイトにおいて発現される非突然変異自己ペプチドを認識するようである。

[0163]

20

10

30

【表7】

<u>表7</u> TIL1200による抗原認識の特異性: HLA-A2⁺、gp100⁺ メラノーマ細胞株の溶解

| 標的 | HLA-A2 | gr | 100_ | TIL1200 | LAK |
|----------|--------|------|------|---------|------|
| | | FACS | ノーザン | | |
| | | | | (%特異 | 的溶解) |
| 501me1 | + | + | + | 46 | 78 |
| 526me1 | + | + | + | 39 | 74 |
| 624mel | + | + | + | 33 | 76 |
| 952mel | + | + | + | 25 | 76 |
| Malme3M | + | + | + | 43 | 70 |
| C32 | + | - | -/+* | 6 | 82 |
| RPM17951 | + | _ | **** | 9 | 67 |
| WM115 | + | _ | | 5 | 68 |
| HS695T | + | - | - | 3 | 87 |
| 397me1 | | + | + | 0 | 70 |

[0164]

前に記載したように(非特許文献 8 1)、 4 0 : 1 のエフェクター:標的比で細胞毒性を 測定するために 5 時間 - ^{5 1} C r 放出アッセイが実施された。モノクローナル抗体 H M B 4 5 (E n z o Diagnostics、ニューヨーク州ニューヨーク)により認識される H L A - A 2 および g p 1 0 0 の発現はフローサイトメトリー(F A C S)により測定された。 g p 1 0 0 R N A の発現は c D N A 2 5 をプローブとし、ノーザンプロットにより解析された。

* - / + は非常に弱い陽性を示している。

[0165]

【表8】

<u>表8</u> TIL1200による抗原認識の特異性: HLA-A2+新生児メラサイトの認識

| 刺激細胞 | HLA-A2 | TIL1200 | TIL888 |
|---------|--------------|---------|--------|
| | | | -γ/ml) |
| 501mel | + | 562 | 0 |
| 624me1 | + | 439 | 0 |
| 397me1 | - | 0 | 0 |
| 888me1 | - | 0 | 1970 |
| NHEM493 | - | 441 | 0 |
| NHEM527 | + | 418 | 0 |
| NHEM530 | + | 164 | 0 |
| NHEM616 | + | 53 | 0 |
| FM725 | + | 107 | 0 |
| FM801 | + | 250 | 343 |
| NHEM483 | - | 0 | 0 |
| NXEM680 | | 0 | 0 |
| HA002 | - | 0 | 0 |

[0166]

TILによるIFN- 分泌は前に実施例1で記載したようにELISAで測定した。TIL単独で分泌されたIFN- 量は差し引かれている(TIL888に対しては88pg/m1、TIL1200に対してはゼロ)。TIL888はMHCクラスI拘束性メラノーマ特異的CTLであるが、HLA-A2によっては拘束されない。NHEM、FMおよびHAは正常培養メラノサイト細胞株に当てはまるが、他は全てメラノーマ細胞株である。

[0167]

T細胞に認識されるメラノーマ抗原をコードするcDNAのクローニング

ほとんどのHLA-A2拘束性メラノーマ特異的TILにより溶解されたHLA-A2⁺501me1メラノーマ細胞株からの pCEV27中のcDNAライブラリーは、非常にトランスフェクトされ易いHLA-A2⁺メラノーマ抗原陰性MDA231クローン7またはA375クローン1-4内へ安定にトランスフェクトされた。G418耐性細胞を集め、各々の細胞株から約6700個の個々のトランスフェクト体を単離し、TIL1200からのIFN- 分泌を刺激する能力でスクリーニングした。2回目のスクリーニングで陽性であった4個のMDA231および1個のA375トランスフェクト体から、組み込まれたDNAに隣接するSP6/T7プライマーを用いるPCRにより6つのDNA断片が単離され、哺乳類発現ベクターpcDNA3(インビトロジェン)内へクローン

40

化された。

[0168]

pcDNA3ベクター中のこれらの断片は、pcDNA3・HLA・A2・1とともにまたはなしで、COS7細胞において一過性に発現させた。HLA・A2・1とともに試験されたcDNAの1つ、cDNA25をCOS7内へトランスフェクトすると、再現性よくTIL1200からのIFN・分泌刺激能が与えられた。A375内へのcDNA25の安定なトランスフェクションもまたTIL1200からのIFN・放出を刺激した(表9、実験1および実験2)。cDNA25プローブを使用したメラノーマのノーザンプロット解析により検出された2・2kbバンドは、クローン化1・6kb断片は完全長cDNAではなかったことを示唆している。3個のcDNA25のクローンを独立にPCRで増幅して、GeneBankデータベースのコンセンサスDNA配列と比較したところ、cDNA25は、過去に登録された2つの遺伝子、すなわちgp100(GenBank受託番号M77348)およびPmel117(非特許文献74)とは異なることが判明した。cDNA25は、GenBankのgp100(受託番号M77348、gp95としても知られている。)とは2つのヌクレオチドが異なっており、Pmel17の配列(非特許文献74)と比べると、3塩基の違いと、21塩基の欠失がある点で異なっていた(図5B)。

[0169]

【表9】
<u>表9</u> A375およびCOS7へのcDNA25のトランスフェクション

| | 刺激細胞 | トランスフェクト した遺伝子 HL | A – A 2 | TIL120012. | よる分泌 | |
|-------------|-------------|-----------------------|---------|-------------|------|----|
| 実験1 | 501me1 | なし | + | (pgIFNγ/ml) | 987 | |
| | 397me1 | なし | _ | | 0 | |
| | A 3 7 5 | なし | + | | 0 | |
| | A 3 7 5 | p c D N A 3 - 2 5 | + | | 230 | 10 |
| 実験2 | 5 0 1 m e 1 | なし | + | | 662 | |
| | 3 9 7 m e 1 | なし | - | | 0 | |
| | COS7 | なし | _ | | 0 | |
| | COS7 | HLA-A2. 1 | + | | 0 | |
| | COS7 | p c D N A 3 - 2 5 | _ | | 0 | 2 |
| | COS7 | HLA-A2. 1+pcDNA3-25 | + | | 310 | _ |
| 実験3 | 501me1 | なし | + | | 908 | |
| | 397me1 | なし | | | 0 | |
| | COS7 | なし | _ | | 0 | |
| | COS7 | HLA-A2. 1 | + | | 0 | |
| | COS7 | p C E V 2 7 - F L 2 5 | - | | 0 | 3 |
| | COS7 | HLA-A2. 1+pCEV27-FL25 | + | | 742 | |
| | COS7 | p c D N A 3 - F L 2 5 | _ | | 0 | |
| | COS7 | HLA-A2. 1+pcDNA3-FL25 | + | | 801 | |

[0 1 7 0]

一部欠損 c D N A 2 5 を含む p c D N A 3 (p c D N A 3 - 2 5) を安定にトランスフェクトした H L A - A 2 ⁺ A 3 7 5 (実験 1)、または p c D N A 3 - 2 5 (実験 2)、全長 c D N A 2 5 を含む p c D N A 3 (p c D N A 3 - F L 2 5) もしくは全長 c D N A 2 5 を含む p C E V 2 7 - F L 2 5) (実験 3) を H L A - A 2 . 1 を含む p c D N A 3 (H L A - A 2 . 1) と共に一過性にトランスフェクトした C O S 7 を、 T I L 1 2 0 0 とともにインキュベートしたところ、 T I L 1 2 0 0 は I F N - を分泌した。 H L A - A 2 の発現はフローサイトメトリーにより決定され、 インターフェロン の分泌は E L I S A により測定された。

[0171]

全長 c D N A 2 5 (F L 2 5) を、 2 つのプラスミド p C E V 2 7 - F L 2 5 または p c D N A 3 - F L 2 5 に単離した。いずれのプラスミドも p c D N A 3 - H L A - A 2 . 1 と共に C O S 7 にトランスフェクトしたところ、 T I L 1 2 0 0 による I F N - 分泌誘導能が C O S 7 に付与された。全長 D N A と H L A - A 2 . 1 とをトランスフェクトした C O S 7 により刺激された I F N - の分泌量は、 5 0 1 m e 1 の刺激による量と同程

50

20

30

40

50

度であり、一部欠損 c D N A 2 5 をトランスフェクトした C O S 7 の刺激による量よりも高かった。これはおそらく一部欠損 c D N A 2 5 において、正常 A U G 開始コドンで開始される翻訳が改良されたことによると思われる(表 9 、実験 2 および実験 3)。あるいは、一部欠損 c D N A 2 5 で失われた 5 '領域が、TIL1200においてクローンにより認識される他のエピトープを含んでいるのかもしれない。TIL1200からのIFN・放出にはHLA・A2.1の発現が必要であったこと、およびトランスフェクトされた細胞が無関係なTILからのIFN・分泌を刺激しなかったという事実(データは示していない)は、c D N A 2 5 がHLA・A2.1存在下でTIL1200により認識される抗原をコードしていたこと、およびT細胞からのIFN・ 放出を非特異的に誘導する分子をコードしていなかったことを示す。

[0172]

c D N A 2 5 プローブを用いたスクリーニングにより 5 0 1 m e l c D N A ライブラ リ ー か ら ク ロ ー ニ ン グ さ れ た 一 部 欠 損 c D N A 2 5 お よ び 全 長 c D N A 2 5 の 塩 基 配 列 お よび対応するアミノ酸配列(図5A)を、正常メラノサイトから単離されたPmel17 、およびメラノーマ細胞株MEL-1から単離されたgp100のGenBank配列(図 5 B)と比較した。全長cDNA25は、gp100のアミノ酸配列と比べると162 位において異なっていた。このアミノ酸の相違は、おそらく多型または腫瘍における突然 変異により生じたのであろう。 P m e l 1 7 と比較すると、 c D N A 2 5 は 1 6 2 位およ び 2 7 4 位 の 2 つ の ア ミ ノ 酸 が 異 な り 、 P m e l 1 7 で は 5 8 8 ~ 5 9 4 位 に 存 在 し た 7 アミノ酸を含まなかった。オリジナルのMDA231トランスフェクト体から単離された 一 部 欠 損 c D N A 2 5 の ア ミ ノ 酸 配 列 は 、 1 つ の 余 分 な シ チ ジ ル 酸 に よ る フ レ ー ム シ フ ト のために3′末端(649位~最後まで)に異なる配列を持つ。この相違が、真に異なる 対立遺伝子であることによるのか、またはDNAを操作する過程で生じた突然変異による のかは明確ではない。とはいえ、TIL1200は、236位~648位までの間に位置 する非突然変異ペプチドを認識するようである。cDNA25はまた、アミノ酸配列にお いて、ウシの網膜色素上皮で特異的に発現する c D N A R P E 1 (非特許文献 9 8)と 8 7 % の類似性、およびニワトリの色素上皮細胞から単離されたメラノソーム基質タンパ ク質をコードする c D N A M M P 1 1 5 (非特許文献 9 7)と 6 0 % の類似性を示した

[0173]

gp100タンパク質は、モノクローナル抗体 H M B 4 5 により認識されることが知られていた(非特許文献 9 9)。全長 c D N A 2 5 をトランスフェクトした C O S 7 細胞は、フローサイトメトリーで、このモノクローナル抗体を用いて検出された。pCEV27- F L 2 5 またはpcDNA3-FL25のいずれかを一過性に発現した後、COS7は、H M B 4 5 により検出される抗原を発現した(データは示していない)。

[0174]

c D N A 2 5 の R N A の 発 現

てDNAの組織特異的発現を評価するため、 c DNA25プローブを用いてノーザンブロット解析を行った。15種のメラノーマ細胞株のうち10種、および6種のメラニン細胞株の全てが c DNA25を発現していた(図6Aおよび図6B)。多くの正常組織では網膜のみで発現が見られた(図6C)。T細胞(TILA、B)由来の7種の細胞株、B細胞(501EBVB、836EBVB)および線維芽細胞(M1)、および20種のサーマ腫瘍細胞は、1、MCF7、HS578、ZR75;神経芽細胞腫のSK-N-AS、SK-N-SH、MCF7、HS578、ZR75;神経芽細胞腫のSK-N-AS、SK-N-SH;ユーイング肉腫のTC75、RD-ES、6647;肉腫の143B;神経膠腫のU138MG、HS683;腎細胞癌のUOK108、UOK117;肺小細胞癌のH1092;バーキットリンパ腫のDaudi;骨髄腫のHMY)は全てcDNA25を発現していなかった(データは示していない)。したがって、この遺伝子は、モノクローナル抗体であるHMB45、NKI/betab、またはHMB-50を用いて解析したときの、先に単離された型のgp100の発現パターンと同様に、メラノサイト系列細胞で特異的

20

30

40

に発現していることが明らかとなった(非特許文献 9 9、非特許文献 1 0 0、非特許文献 1 0 1、非特許文献 1 0 2、非特許文献 1 0 3)。 c D N A 2 5 プローブにより新生児の 培養メラノサイト細胞株で検出された R N A の発現レベルは、メラノーマ細胞株での発現に比べて有意に低かった。 c D N A 2 5 を用いたノーザンブロット解析および H M B 4 5 抗体を用いたフローサイトメトリーにより検出された g p 1 0 0 の発現と、 1 0 種の H L A - A 2 * メラノーマ細胞株での T I L 1 2 0 0 によるメラノーマの溶解との間には、表7に示すように完全な相関があった。

[0175]

g p 1 0 0 でのエピトープの同定

一部欠損した形の c D N A 2 5 のアミノ酸配列を H L A - A 2 . 1 の既知の結合領域(非特許文献 5 6、非特許文献 8 6、非特許文献 5 5)と比較することにより、 c D N A 2 5 をもとに長さ9 または1 0 アミノ酸の3 0 個のペプチドを合成した。 T I L 1 2 0 0 は、L L D G T A T L R L 配列のペプチド(配列番号 2 7、残基 4 5 7 ~ 4 8 6。 図 5 A、配列番号 3 3)と共にインキュベートしたときのみ H L A - A 2 + 細胞株 T 2 を溶解したが、他の 2 9 個のペプチドと共にインキュベートしたときには溶解しなかった(表 1 0、図 5 A)。 L L D G T A T L R L 配列のペプチド(配列番号 3 3)のみが、 T I L 1 2 0 0 による I F N - 分泌をも刺激することができた(データは示していない)。

[0176]

TIL由来の多くのメラノーマ特異的CTLが、メラノサイト・メラノーマ系列に特異的なタンパク質に由来する非突然変異自己ペプチドを認識するようである。なぜなら、これらのTILは、適切な拘束要素を共有するほとんどのメラノーマ細胞株および正常培養メラノサイトを認識するからである(非特許文献16、非特許文献15)。メラノーマ結原を単離および同定する目的でTIL1200が用いられた。TILは転移癌の患者に投与すると腫瘍部位に局在し、かつ腫瘍の劇的な退TILもを仲介する能力と相関していた(データは示していない)。複数のCTL種を含むTILは腫瘍部位に局在することが示されている。この局在は、これらのTIL前傷の退TLは腫瘍部位に局在することが示されている。この局在は、これらのTL種を含むTILは腫瘍部位に局であるTIL1200は、最も高頻度で発現するMHCクラスI抗原(約50%の人がもつ)でありかつメラノーマ特異的CTLの誘導における主要な拘束要素であることが示されているHLA・A2の存在下で、腫瘍抗原を認識した(非特許文献85)。

[0177]

[0178]

【表10】

表10 ペプチドLLDGTATLRLと共にパルスした T2 HLA-A2+細胞株のTIL1200による溶解

| 標的 | HLA-A2 | ペプチド * _ | TIL1200 | TIL1235+ | |
|-------|--------|----------------|---------|----------|----|
| | | $(\mu g / ml)$ | (特異的溶 | 解の%) ** | |
| 501me | 1 + | 0 | 6 6 | 5 1 | 10 |
| 397me | 1 - | 0 | 1 | 0 | |
| T 2 | + | 0 | 2 | 1 | |
| T 2 | + | 4 0 | 28 | N D ++ | |
| Т2 | + | 10 | 3 2 | 0 | |
| Т2 | + | 1 | 2 4 | ND | |
| Т2 | + | 0. 1 | 6 | ND | 20 |
| Т2 | + | 0.01 | 0 | ND | |
| T 2 | + | 0.001 | 2 | N D | |

[0179]

* TIL1200は、LLDGTATLRL(残基457~466)の10量体ペプチド と共に刺激するとT2細胞を溶解したが、他の29個のペプチド(配列番号27)(残基 2 7 3 ~ 2 8 1、残基 2 9 7 ~ 3 0 6、残基 3 7 3 ~ 3 8 1、残基 3 9 9 ~ 4 0 7、残基 3 9 9 ~ 4 0 8 、 残基 4 0 9 ~ 4 1 8 、 残基 4 5 6 ~ 4 6 4 、 残基 4 6 3 ~ 4 7 1 、 残基 4 6 5 ~ 4 7 3、残基 4 7 6 ~ 4 8 5、残基 5 1 1 ~ 5 2 0、残基 5 1 9 ~ 5 2 8、残基 5 4 4 ~ 5 5 2、残基 5 4 4 ~ 5 5 3、残基 5 7 0 ~ 5 7 9、残基 5 7 6 ~ 5 8 4、残基 5 7 6 ~ 5 8 5 、 残基 5 8 5 ~ 5 9 3 、 残基 5 9 2 ~ 6 0 0 、 残基 5 9 7 ~ 6 0 5 、 残基 5 9 7 ~ 6 0 6 、 残基 6 0 2 ~ 6 1 0 、 残基 6 0 2 ~ 6 1 1 、 残基 6 0 3 ~ 6 1 1 、 残基 6 0 5 ~ 6 1 4、残基 6 0 6 ~ 6 1 4、残基 6 0 6 ~ 6 1 5、残基 6 1 9 ~ 6 2 7、残基 629~638)の場合は溶解しなかった。

[†] TIL1235は、HLA-A2拘束性メラノーマ特異的CTLであり、gp-100 を認識しない。

- * * E : T は 5 0 : 1 である。
- ^{† †}NDは、行っていないことを示す。

[0180]

腫瘍内の自己抗原gp100と反応性のあるT細胞の存在、および抗原反応細胞の特異 的な蓄積および増加から考えられる結果としての腫瘍部位におけるこれらT細胞の豊富化 の可能性(非特許文献17)は、癌の増殖における自己抗原への免疫応答の性質および自 己 抗 原 に 対 す る 免 疫 寛 容 の 機 構 に つ い て 重 要 な 疑 問 を 提 起 す る 。 ノ ー ザ ン ブ ロ ッ ト 解 析 に よって示されたメラノサイトにおけるgp100の発現と比べてメラノーマ細胞における g p 1 0 0 の 発 現 が 増 加 し て い る こ と 、 ま た は 腫 瘍 部 位 に 独 特 の 炎 症 状 態 (サ イ ト カ イ ン の 分 泌 お よ び 細 胞 表 面 の 補 助 刺 激 性 分 子 の 発 現 と 関 係 し て い る と 思 わ れ る) が 存 在 す る こ とが、gp100に対する寛容を発生させる可能性がある。脱色素化が、優れた予後と関 連 し (非 特 許 文 献 9 3 、 非 特 許 文 献 9 4) 、 そ し て メ ラ ノ ー マ 患 者 へ の 化 学 免 疫 療 法 に 対 する臨床反応(非特許文献95)とも関連することが報告されている。メラノーマ特異的

30

40

TILが投与された患者には散発性の白斑が見られるが、メラノサイトの破壊に関連する不都合な眼科学的作用は観察されていない。患者1200は白斑またはいかなる眼科的副作用も生じなかった。

[0181]

TIL1200とIL-2を患者1200へ導入することが癌の退縮に関連していたため、gp100タンパク質(図5A;配列番号27)および同定された10アミノ酸からなるペプチドはヒトの腫瘍拒絶抗原を代表すると思われる。IL-2もまた腫瘍拒絶に関連しているであろうが、生体内(in vivo)におけるTIL2000の腫瘍堆積物への到達および抗腫瘍応答の急速性はTIL療法に対する応答の特徴である。MART-1同様にgp100を認識した他の3種のTIL株の養子免疫伝達も腫瘍の退縮に関連していた(データは示していない)。

[0182]

チロシナーゼ(非特許文献 2 0)およびMART-1(実施例1を参照)はHLA-A 2 拘束性CTLによって認識されたメラノーマ抗原として同定されている。もう1つの抗原であるMAGE-1はHLA-A1拘束性メラノーマ特異的CTLによって認識され、精巣および様々な癌細胞において発現している(非特許文献 1 8)。しかし、近年開発された10種のHLA-A2拘束性TILはいずれもMAGE-1を認識しないと思われている(非特許文献 8 8)。

[0 1 8 3]

メラノーマにおけるgp100タンパク質の広範な発現、腫瘍に浸潤するT細胞によるペプチドの認識、個人の50%に存在しているHLA-A2によるその拘束性、および抗gp100反応性と患者1200における癌退縮との関連性は、gp100抗原、特にgp100アミノ酸配列に由来する新規免疫原ペプチド(図5A;配列番号27)がメラノーマ患者に対する有効な免疫療法の開発に特に有用であることを示唆する。

【実施例4】

[0184]

生体内(in vivo)腫瘍認識に関連するTILによるヒトメラノーマ抗原の複数エピトープの認識

材料と方法

TILからのCTLの作製および転移性メラノーマ患者の治療

メラノーマ特異的なCTLは、以前に記載された方法(非特許文献81)に従って、6000IUのIL-2を含む培地においてTILから誘導および増殖させた。NCIの外科部門の自家移植患者に投与された全ての使用可能なHLA-A2拘束性メラノーマ特異的CTLが本研究において使われた。TILは以前に報告されているように(非特許文献5、非特許文献106)、IL-2とともに転移性メラノーマの自家移植患者の静脈内に投与した。フィッシャーの正確確立検定を使用して、TILによるgp100の認識とTIL処理に対する外科的応答との関連性の決定、並びにMART-1認識との関連性の決定を行った。

[0185]

ペプチドの合成

ペプチドはペプチド合成機(モデル AMS 422; Gillson社、オハイオ州ワージントン)を使用して固相法により合成した(純度>90%)。合成されるペプチドは、報告されているHLA-A2.1結合モチーフに基づくヒトgp100配列から選択した(非特許文献 56、非特許文献 86、非特許文献 55、非特許文献 107)。以下のペプチドも試した:8量体ペプチド8個(199位、212位、218位、237位、266位、267位、268位、269位の残基から始まる;図7A参照)、9量体ペプチド84個(残基が2位、4位、11位、18位、154位、162位、169位、171位、178位、199位、209位、216位、248位、250位、2550位、263位、268位、283位、288位、283位、332位

10

20

30

40

20

30

40

50

、 3 3 5 位、 3 5 0 位、 3 5 4 位、 3 5 8 位、 3 6 1 位、 3 7 1 位、 3 7 3 位、 3 8 4 位 、389位、397位、399位、400位、402位、407位、408位、420位 4 2 3 位、 4 2 5 位、 4 4 6 位、 4 4 9 位、 4 5 0 位、 4 5 6 位、 4 6 3 位、 4 6 5 位 4 8 5 位、 4 8 8 位、 5 0 1 位、 5 1 2 位、 5 3 6 位、 5 4 4 位、 5 6 3 位、 5 7 0 位 、571位、576位、577位、578位、583位、585位、590位、592位 5 9 5 位、5 9 8 位、5 9 9 位、6 0 1 位、6 0 2 位、6 0 3 位、6 0 4 位、6 0 6 位 6 0 7 位、 6 1 3 位、 6 1 9 位、 6 4 8 位から始まる; 図 7 A 参照) および 1 0 量体ペ プチドフフ個 (残基が 9 位、 1 7 位、 5 7 位、 8 7 位、 9 6 位、 1 5 4 位、 1 6 1 位、 1 6 9 位、 1 7 7 位、 1 9 7 位、 1 9 9 位、 2 0 0 位、 2 0 8 位、 2 1 6 位、 2 2 4 位、 3 2 位、 2 4 0 位、 2 4 3 位、 2 5 0 位、 2 6 6 位、 2 6 7 位、 2 6 8 位、 2 7 2 位、 2 8 5 位、 2 8 7 位、 2 8 9 位、 2 9 7 位、 3 1 8 位、 3 2 3 位、 3 3 1 位、 3 4 2 位、 5 0 位、 3 5 5 位、 3 5 7 位、 3 6 5 位、 3 8 0 位、 3 8 3 位、 3 8 8 位、 3 9 1 位、 3 9 5 位、 3 9 9 位、 4 0 0 位、 4 0 6 位、 4 0 7 位、 4 0 9 位、 4 1 5 位、 4 3 2 位、 4 4 9 位、 4 5 3 位、 4 5 7 位、 4 6 2 位、 4 7 6 位、 4 8 4 位、 4 8 9 位、 4 9 2 位、 5 1 1 位、5 1 9 位、5 3 6 位、5 4 3 位、5 4 4 位、5 4 8 位、5 6 8 位、5 7 0 位、5 7 1 位、5 7 6 位、5 7 7 位、5 8 4 位、5 9 0 位、5 9 5 位、5 9 8 位、5 9 9 位、6 0 1 位、6 0 2 位、6 0 3 位、6 0 5 位、6 1 1 位、6 2 9 位から始まる;図7 A 参照) を合成した。第1のスクリーニングにおいて同定された、可能性のあるエピトープはC-4 カラム(VYDAC、カリフォルニア州ヘプセリア)を用いてHPLCによって精製し (> 9 8 % 純度)、ペプチドの分子量は以前に記載されているように(実施例3;非特許 文献108、非特許文献109)、質量分析測定によって確認された。

[0186]

HLA-A2.1へのペプチド結合アッセイ

以前に記述されているように(非特許文献 5 5、非特許文献 5 4、非特許文献 1 1 0)、可溶性 H L A - A 2 . 1 重鎖、ヒト 2 - マイクログロブリン、放射性標識したペプチド H B C _{1 8 - 2 7}(F L P S D Y F P S V)および様々な濃度の試料ペプチドを、プロテアーゼ阻害剤の存在下で 2 日間室温でともにインキュベートした。 H L A - A 2 . 1に結合した標識ペプチドの割合はゲルろ過による分離後に計算され、標識ペプチドの結合の 5 0%を阻害するのに必要な試料ペプチドの濃度を計算した。ペプチドのH L A - A 2 . 1 への相対親和性についても、以前に記載されたように(非特許文献 1 1 0)、比(標識ペプチドの結合を 5 0%阻害するための標準 H B C _{1 8 - 2 7}ペプチド濃度 / 標識ペプチドの結合を 5 0%阻害するための試料ペプチド濃度)として計算した。ペプチドの結合は、強(< 5 0 n M で 5 0%を阻害、比 > 0 . 1)、中(5 0 ~ 5 0 0 n M、比 0 . 1 ~ 0 . 0 1)、または弱(> 5 0 0 n M、比 < 0 . 0 1)として定義する(非特許文献 5 5、非特許文献 5 4、非特許文献 1 1 0)。

[0187]

gp100の全長 c D N A を含むp c D N A 3 プラスミド(実施例3;非特許文献109)を X h o I および X b a I で消化した。 - ホスホロチオン酸デオキシヌクレオシド3リン酸を X b a I 部位へ組込ませた後、E×o Size D e l e t i o n K i t (New England Biolabs社、マサチューセッツ州ベバリー)を用いて標準エクソヌクレアーゼIII段階的欠失(n e s t e d d e l e t i o n)を行った。欠失したクローンは自己連結および増幅を行った。それぞれのクローンの正確な欠りしたのN A 配列決定によって確認した。エピトープを含む領域を同定するために、全長gp100 c D N A の 3 '末端からエクソヌクレアーゼによる連続欠失によって作製された C D N A 所 (D 3、D 5、D 4、C 3)並びに 5 'コード領域を欠く欠失型gp100 c D N A (2 5 T R) (実施例63;非特許文献109)を B L A - A 2 . 1 c D N A に C O S 7 細胞にトランスフェクトさせ、トランスフェクトされた C O S 細胞の T I L による認識を I F N - 放出アッセイを用いて評価した(実施例1;非特許文献111)。

[0188]

T細胞による抗原認識の評価

T細胞による抗原認識を調査するために、 5 1 C r 放出アッセイまたは I F N - 放出アッセイを以前に記載されている方法によって行った(実施例 1 および実施例 2 ; 非特許文献 1 1 1、非特許文献 8 1)。メラノーマ抗原をコードする c D N A および H L A - A 2 . 1 c D N A をトランスフェクトされた C O S 7 細胞、またはペプチドと事前にインキュベートしておいた T 2 細胞のいずれかを刺激因子として I F N - 放出アッセイに使用した。ペプチドで刺激した T 2 細胞は細胞毒性アッセイの標的としても使用した(非特許文献 1 0 8)。

[0189]

TIL処理に対する臨床応答に相関したTILによるgp100の認識

TILに由来するHLA-A2拘束性メラノーマ特異的CTL14種の内4種がgp100を認識し、13種がMART-1を認識した(3種はgp100およびMART-1の両方を認識した)。メラノーマ抗原をコードするcDNAをHLA-A2.1 cDNAともにトランスフェクトしたCOS7細胞に対するTILの反応性によって結論といった(実施例2;非特許文献108)。これら4種のgp100反応性CTLのHLA-A2拘束性および認識特2で献別100に対するには以前に立証されている(実施例1~3;非特許文献109、非特許文献12ともについては以前に立証されている(実施例1~3;非特許文献109、非特許文献12ともに自家移植患者に投与した。表11に概説するように、gp100を認識)を生じた。した。と類遺した患者4人全でが客観的なかった(pp100を含むことを示した。が、MART-1とは関連しなかった(pp10.4)。これらのデータは、gp100が生体内で(in vivo)腫瘍縮退に関与し得るエピトープを含むことを示した。

[0190]

gp100反応性TILによって認識されるエピトープの同定

これら4種のgp100反応性CTLによって認識されるエピトープを同定するために 、HLA-A2.1結合モチーフを含む169個のペプチドを合成した。ペプチド認識は それぞれのペプチドとともに予めインキュベートしたHLA-A2.1 [†] T2細胞に 対するこれらのCTLの反応性を細胞毒性アッセイおよびIFN- 放出アッセイを用い て試験することによって評価した。表12に示すように、細胞毒性アッセイにおいて7個 のペプチドがgp100反応性TILによって認識された。同時に行われたIFN-出アッセイの結果は細胞毒性アッセイの結果と矛盾しないものであった。TIL620(の別々のサブカルチャーを、自家移植患者に投与したTIL培養物から増殖させて別々に 培養すると、少しずつ異なる特異性をもっていたが、これは恐らく試験管内(in t r o)で異なるクローンが増殖したことによると思われる。 G 9 _{2 0 9} (ITDQVP F S V)(配列番号 4 8)および G 9 _{2 0 9}の N 末端に余分のスレオニンを持つ G 1 0 ₂ 。。(TITDQVPFSV)(配列番号49)はTIL620によってのみ認識された 。 G 9 _{1 5 4} (K T W G Q Y W Q V) (配列番号 4 6) および G 9 _{1 5 4} の C 末端に余分 にロイシンを持つG10₁₅₄(KTWGQYWQVL)(配列番号47)はTIL12 00、TIL620-2およびTIL660-2によって認識された。G10-4(LL DGTATLRL)(配列番号33)は示したように(実施例3)、TIL1200によ って認識された。ペプチドG 9 _{2 8 0} (Y L E P G P V T A) (配列番号 4 0) は T I L 6 6 0 およびTIL1143によって認識された。TIL660-3はG9₂₈₀同様に G 1 0 - 5 (V L Y R Y G S F S V) (配列番号 3 4) も認識した。 G 1 0 - 5 とともに 予めインキュベートしたT2細胞の溶解は反復的に低く、これは恐らくT細胞クローン中 の小サブセットがこのエピトープに特異的であったためである。

[0191]

50

10

20

30

20

30

40

50

既知のHLA-A2.1結合モチーフを用いてエピトープの同定を補うために、もう1 すなわち、4種はcDNAの3ຳ末端からのエクソヌクレアーゼ欠失により作製され(D 3 、 D 4 、 D 5 、 C 4) 、 1 種は 5 ′ コード領域の最初の 7 0 5 塩基対を欠失する部分的 LA-A2.1 cDNAとともにCOS7細胞にトランスフェクトさせた。断片の位置 は図7Aに示してある。4種のgp100反応性TILによるこれらトランスフェクト体 の認識はIFN- 放出アッセイを用いて評価した(図7B)。TIL1200は25T R、D5、D4またはC4断片をトランスフェクトしたCOS細胞を認識したが、D3に ついては認識せず、少なくとも2個のエピトープがアミノ酸残基146~163および2 36~661の領域に存在していることを示唆している。146~163の領域にHLA - A 2 . 1 結合モチーフを含むペプチドはG9₁₅₄およびG10₁₅₄のみに過ぎず、 両者ともTIL1200によって認識された。 G 10-4は領域236~661に位置し 、TIL1200によって認識された。TIL620-1はC4をトランスフェクトした COS細胞を認識したが、D3、D5、D4または25TRについては認識せず、エピト ープは残基187~270の内部に存在することを示唆している。TIL620・1によ って認識されたG9₂₀₉およびG10₂₀₈はこの領域に位置した。TIL620のも う 1 つのサブカルチャーであるTIL620-2もまたD5およびD4をトランスフェク トした細胞を認識したが D 3 は認識せず、および 1 4 7 ~ 1 6 3 の領域内の G 9 _{1 5 4} お よびG10₁₅₄を認識した(これらはTIL1200によっても認識された)。TIL 6 6 0 - 1 およびTIL1143はC4または25TRをトランスフェクトした細胞を認 識 した が D 3 、 D 5 、 ま た は D 4 は 認 識 せ ず 、 エ ピ ト ー プ が 1 8 7 ~ 2 7 0 お よ び 2 3 6 ~ 6 6 1 の 2 領域に存在することを示唆している。 2 5 T R 断片内に位置するが C 4 断片 内には位置しないG9280はTIL660およびTIL1143によって認識された。 [0192]

メラノーマのエピトープの試験管内での(in vitro)HLA-A2.1に対する結合親和性

T 2 細胞を C T L 溶解に対し感受性にするために 1 μ g / m l の濃度が必要である G 1 0 - 4 を除き(実施例3;非特許文献109)、この研究で同定されたすべてのgp10 0 エピトープはT2細胞をCTL溶解に対し1 ng/mlの濃度で感受性にした(図8A ~ 図 8 D)。 G 1 0 - 5 は 1 0 n g / m l 以上の濃度では C T L での細胞毒性を阻害する ようであった。なぜなら、全4時間の細胞毒性アッセイの間ペプチドが培養液中に存在す る条件では、10ng/ml以上のG10-5と共にインキュベートしたT2細胞の溶解 は、このアッセイを1~10ng/mlの濃度で行ったときより低くなったからである(図8D)。これらのエピトープのHLA-A2.1に対する相対結合親和性も試験管内の 競合的結合アッセイを用いて測定された(表13)。 G 9 ₁₅₄の H L A - A 2 . 1分子 に 対 す る 結 合 親 和 性 (1 1 n M で 標 準 的 ペ プ チ ド の 5 0 % を 阻 害) は 、 G 9 _{1 5 4} の C 末 端に余分なロイシンを含む G 1 0 $_{154}$ (1 0 1 0 n M) より高く、 G 1 0 $_{154}$ よりも 低濃度でT2細胞を感受性にすることが出来た(図8A)。G9209のHLA-A2. 1 へ の 結 合 親 和 性 (8 4 n M) は ま た 、 G 9 _{2 0 9}の N 末 端 に 余 分 の ス レ オ ニ ン を 含 む G 1 0 _{2 0 8}より(2 0 8 0 n M) 高く、G 1 0 _{2 0 8}よりも低濃度で T 2 細胞を感受性に することが出来た(図8B)。ゆえに、9量体ペプチドは、対応する10量体ペプチドよ リCTL溶解に対してT2細胞を感受性にする効果が大きく、HLA-A2.1に対する 結合親和性も、より高かった。これは、同定されたMART-1の9及び10アミノ酸ペ プチド(M9-2、M10-3、M10-4)にもあてはまった(実施例2;非特許文献 1 0 8) 。 T 2 細胞溶解アッセイにおけるペプチド滴定の結果は、試験管内結合アッセイ で測定したHLA-A2.1結合親和性の結果と相関した。他のgp100エピトープ G 9 _{2 8 0}、G 1 0 - 4 またはG 1 0 - 5 は、H L A - A 2 . 1 に対して各々 9 5 n M 、 4 83nMまたは13nMで50%阻害を示す結合親和性を持っていた。以前に同定された H L A - A 2 拘束性メラノーマエピトープの H L A - A 2 . 1 結合親和性は、 M A R T -

1(実施例 2 ; 非特許文献 1 0 8)およびチロシナーゼ(非特許文献 1 1 2 ;配列番号 3 1 および 3 2)においても測定された(M 9 - 2 (3 9 7 n M)、 M 1 0 - 3 (2 2 7 2 n M)、 M 1 0 - 4 (5 5 5 5 5 n M)、 T 9 $_1$ (3 3 3 n M)、 T 9 $_3$ $_6$ $_9$ (4 0 n M))。 1 0 量体ペプチド(G 1 0 $_1$ $_5$ $_4$ 、 G 1 0 $_2$ $_0$ $_8$ 、 G 1 0 - 3 、 G 1 0 - 4)を除き、これらに重複する 9 量体エピトープ(G 9 $_1$ $_5$ $_4$ 、 G 9 $_2$ $_0$ $_9$ 、 M 9 - 2)が存在するが、全てのメラノーマエピトープはいずれも H L A - A 2 . 1 に対して高い(G 9 $_1$ $_5$ $_4$ 、 G 1 0 - 5 、 T 9 $_3$ $_6$ $_9$)または中程度の(G 9 $_2$ $_0$ $_9$ 、 G 9 $_2$ $_8$ $_0$ 、 G 1 0 - 4 、 M 9 - 2 、 T 9 $_1$)結合親和性を持っている。

[0193]

考察

自家移植患者へ養子免疫伝達した場合の腫瘍退縮に関連する4種のTILによって認識されるヒトメラノーマ抗原gp100の複数のエピトープがこの研究で同定された。この研究で記載された5つのエピトープのうち、G9₁₅₄またはG10₁₅₄が最も一般的に認識されるようであった。これらは異なる患者由来の4種のgp100反応性TILの内3種によって認識されたからである。G9₂₈₀ペプチドは異なる患者のPBL由来の5種全てのCTLによって認識されることが報告されているが(非特許文献113)、この研究では、これは4種のgp100反応性TILのうち2種にしか認識されなかった。この相違は、使われたT細胞の源(TILとPBL)によるものであろう。

[0194]

MART - 1ペプチドのM9 - 2はM9 $_2$ 7 とも呼ばれ、MART - 1ペプチドM10 - 3はM10 $_2$ 6 とも呼ばれ、そしてMART - 1ペプチドのM10 - 4はM10 $_2$ 7 と呼ばれることは理解されよう。また、gp100ペプチドG10 - 4もまたG10 $_4$ 57 と呼ばれ、gp100ペプチドG10 - 5もまたG10 $_4$ 76 と呼ばれることが認められるであろう。

[0 1 9 5]

20

| 太1 | $\overline{	extbf{z}11}$ HLAーA 2 拘束性メラノーマ特異的 $\mathrm{T}1\mathrm{L}$ による抗原認識の概要 | A-A; | 2拘束性 | メラノー | マ特異的 | 9TIL | たよる抗 | 原認識の |)概要 | |
|------------|---|-----------|---------------------------------|----------|-------------------------|----------|----------|-----------|----------|----------|
| | | | TIL | | | | | | | |
| | 1200 | 1200 620 | 099 | 1143 | 660 1143 1074 1088 1235 | 1088 | 1235 | 1318 1363 | 1363 | 1399 |
| 臨床の反応 | PR | PR | PR | PR | NR | NR | NR | NR | NR | NR |
| 抗原 (エピトープ) | 7 | | | | | | | | | |
| gp100 | + | + | + | + | 1 | 1 | ì | l | ŀ | ı |
| | (G 9 184) | (G9200) | (G9154) (G9200) (G9280) (G9280) | (G9280) | | | | | | |
| | (G10-4) | (G 9 154) | (G10-4) (G9184) (G9184) | _ | | | | | | |
| | | | (G10-5) | | | | | | | |
| MART-1 | I | + | + | + | + | + | + | + | + | + |
| | | (M 9-2) | (M 9 -2) | (M 9 -2) | (M 9-2) | (M 9 -2) | (M 9 -2) | (M 9-2) | (M 9 -2) | (M 9 -2) |
| チロシナーゼ | l | 1 | I | I | I | 1 | l | 1 | l | I |
| g p 7 5 | . 1 | 1 | ŧ | 1 | ļ | l | ŀ | ţ | 1 | t |
| | | | | | | | | | | |

TILによるgp100の認識は、HLA-A2拘束性TILを用いた養子免疫療法に対する臨床応答と有 G9 (10):gp100-9 (10) 量体ペプチド;M9-2:MART-1₂₁₋₃₅ペプチド 意 (p<0 001) に相関する。

*PR:部分的応答 (腫瘍の垂直直径の積和が>50%減少);NR:応答なし (<50%の減少)

10

20

30

40

[0196]

【表12】

極的細胞

ペプチド

表12 TILによるgp100ペプチドの認識

ጥነነ

| 標的細胞 | ペプチト |] | E: T=40 | l L : 1での特異的 | 勺溶解% | | | |
|---|---|---|--|--|--|---|---|----|
| 実験1 | | 620-1 | 620-2 | 6 6 0 - 1 | 1143 | 1200 | 1235 | |
| 6 2 4 mel 3 9 7 mel T 2 T 2 T 2 T 2 T 2 T 2 T 2 T 2 T 2 | 無無し 無無の の 9 1 5 4 の 9 2 0 9 の 1 0 2 0 8 の 1 0 0 0 0 8 の 1 0 0 0 0 6 の 1 0 0 0 0 6 の 1 0 0 0 0 6 の 1 0 0 0 0 0 6 の 1 0 0 0 0 0 0 0 0 0 0 0 0 0 0 0 0 0 0 | $\begin{array}{r} 3 \ 2 \\ 2 \\ 0 \\ 1 \ 9 \\ 0 \\ 3 \\ 4 \ 5 \\ \hline 4 \ 2 \\ 2 \\ 0 \\ 2 \end{array}$ | $ \begin{array}{r} 3 & 6 \\ \hline 3 \\ 5 \\ 8 & 4 \\ \hline 2 & 1 \\ \hline 1 & 9 \\ \hline 2 & 1 \\ \hline 3 & 6 \\ \hline 7 \\ 7 \end{array} $ | 47 0 3 69 4 7 0 7 43 6 2 | $ \begin{array}{r} 2 0 \\ 0 \\ 1 \\ 4 9 \\ 0 \\ 4 \\ 3 \\ 4 \\ 1 1 \\ 0 \\ 1 \end{array} $ | $ \begin{array}{c} 77 \\ 0 \\ 0 \\ 1 \\ \underline{100} \\ 75 \\ 0 \\ 2 \\ 0 \\ \underline{15} \\ 7 \end{array} $ | 1 1 0 2 8 6 0 2 0 3 0 0 0 | 10 |
| <u>実験 2</u> | | <u>620-1</u> | 620-2 | 660-2 | 1143 | 1200 | 1235 | |
| 6 2 4 mel 3 9 7 mel T 2 T 2 T 2 T 2 T 2 T 2 T 2 T 2 | 無し 無り一2 G9154 G10154 G9209 G10208 G9280* | 6 0 2 1 3 6 5 4 2 2 3 5 | $\begin{array}{r} 6 & 5 \\ \hline 6 \\ 1 & 2 \\ \underline{8} & 5 \\ \underline{2} & 7 \\ \hline 3 & 1 \\ \hline 7 & 4 \\ \underline{8} & 0 \\ \hline 9 \end{array}$ | $ \begin{array}{r} 7 & 4 \\ \hline 0 \\ 1 \\ 5 & 0 \\ \hline 3 & 2 \\ \hline 3 & 0 \\ \hline 5 \\ 7 \\ 7 & 5 \end{array} $ | 4 9 0 0 3 9 1 2 4 1 0 3 4 | $ \begin{array}{r} 8 \ 2 \\ \hline 0 \\ 1 \\ 0 \\ \hline 7 \ 8 \\ \hline 8 \ 5 \\ \hline 1 \\ 1 \\ 1 \end{array} $ | 18 0 260 5 3 5 2 | 20 |
| <u>実験3</u> | | | | 660-3 | 1143 | 1200 | 1235 | |
| 6 2 4 mel 3 9 7 mel T 2 T 2 T 2 T 2 T 2 | 無し 無低し M9-2 G10-4 G10-5 | | | 5 2 5 7 5 0 9 9 0 1 4 | $ \begin{array}{r} 15 \\ 3 \\ 6 2 \\ 3 \\ 7 \\ 0 \\ 2 \end{array} $ | 6 6 7 7 7 9 5 0 6 | 4 0 4 4 9 4 5 0 5 | 30 |

[0197]

 $1 \mu g / m 1 (*** 1 n g / m 1) の M A R T 1 エピトープ M 9 - 2 (A A G I G I L T V) 及び g p 1 0 0 エピトープ G 9 <math>_{1 5 4}$ (K T W G O Y W Q V)、 G 1 0 $_{1 5 4}$ (K T W G O Y W Q V)、 G 1 0 $_{1 5 4}$ (K T W G Q Y W G V L)、 G 9 $_{2 0 9}$ (I T D Q V P F S V)、 G 1 0 $_{2 0 8}$ (T I T D Q V P F S V)、 G 1 0 - 4 (L L D G T A T L R L) 、 G 1 0 - 5 (V L Y R Y G S F S V) と共にあらかじめインキュベートした T 2 細胞の T I L による溶解は、 4 時間 - $_{5 1}$ C r 遊離 アッセイで測定された。 T I L 6 2 0 - 1 、 T I L 6 2 0 - 2 、 T I L 6 6 0 - 3 は、 自己移植患者に投与された T I L と同一 T I L から増殖させたが、 但し別々に培養した。 6 2 4 m e 1 は、 H L A - A 2 $_{5 1}$ 、 g p 1 0 0 $_{5 1}$ 、 M A R T - 1 $_{5 1 1}$ のメラノーマ細胞株であり、 3 9 7 m e 1 は、 H L A - A 2 $_{5 1 1}$ メラノーマ細胞株であり、 T 2 細胞は、 H L A - A 2 $_{5 1 1}$ T 細胞 - B 細胞ハイブリドーマである。

下線:統計的に有意な溶解である。

[0198]

【表13】

表13 ヒトメラノーマエピトープのHLA-A2.1に対する相対結合親和性

| タンパク質 | ペプチド | · · · · · · · · · · · · · · · · · · · | 5 0 %阻害 (nM) ^a | | |
|--------|-----------|---------------------------------------|------------------------------|--------|----|
| gp100 | G 9 154 | KTWGQYWQV | 1 1 | 0. 4 5 | 10 |
| | G10154 | KTWGQYWQVL | 1010 | 0.005 | |
| | G 9 209 | ITDQVPFSV | 8 4 | 0.06 | |
| | G 1 0 208 | TITDQVPFSV | 2080 | 0.0024 | |
| | G 9 280 | YLEPGPVTA | 9 5 | 0.053 | |
| | G10-4 | LLDGTATLRL | 483 | 0.01 | |
| | G10-5 | VLYRYGSFSV | 1 3 | 0.38 | 20 |
| MART-1 | M9 - 2 | AAGIGILTV | 3 9 5 | 0.013 | |
| | M10 - 3 | EAAGIGILTV | 2272 | 0.0022 | |
| | M10-4 | AAGIGILTVI | 5 5 5 5 | 0.0009 | |
| チロシナーゼ | T 9 . | MLLAVLYCL | ૧૧૧ | 0.015 | |
| , | | YMNGTMSQV | | 0.13 | 30 |
| | | • | | | |

^[0199]

【実施例5】

[0200]

免疫原性の改良のためのメラノーマエピトープの改変

材料と方法

ペプチド合成とHLA-A2.1結合アッセイ

ペプチドは固相法により多ペプチド合成機を用いて合成され、前に記載したようにHPLCによって精製された(非特許文献114)。ペプチドのHLA-A2.1に対する相対結合は、界面活性剤で可溶化したMHC分子に対する放射性標識標準ペプチドの結合阻害に基づいて、前に記載したように測定された(非特許文献114)。手短にいうと、様々な濃度の試験ペプチド(100μM~1nMの範囲)を、5nMの放射性標識Hbc18-27(FLPSDYFPSV)(配列番号125)ペプチド及びHLA-A2.1重鎖及び 2・ミクログロブリンと共に室温で2日間プロテアーゼ阻害剤存在下でインキュ

40

a . 標準放射性標識 H B C 1 8 - 2 7 ペプチドの 5 0 % 阻害に必要とされる試料ペプチド 濃度。

b. 試料ペプチドの結合親和性と、標準ペプチド(5 n M で 5 0 % 阻害)の結合親和性の比。ペプチドは、高結合ペプチド(< 5 0 n M、比 > 0 . 1 で 5 0 % 阻害);中程度結合ペプチド(5 0 ~ 5 0 0 n M、比 0 . 1 ~ 0 . 0 1);弱結合ペプチド(> 5 0 0 n M、比 < 0 . 0 1)と定義される。

20

30

40

50

ベートした。MHCに結合した放射能の割合はゲルろ過によって決定され、各々のペプチドについて50%阻害する量が計算された。

[0201]

ペプチド特異的CTLの誘導

PBMCはHLA-A2 * メラノーマ患者及び正常な供与者の末梢血からフィコール-ハイパック勾配遠心によって分離され、新鮮な状態または低温保存の試料として用いられ た。ペプチド特異的CTL株は以下のように作製された。0日目に、PBMCを1.5x 10⁶/mlの濃度で24穴プレート(2ml/ウェル)内の10%ヒトAB血清、L-グルタミン、抗生物質 (C M) を含む I s c o v e ' s 培地に 1 μ g / m l のペプチドが 存在下で培養した。2日後、12IU/mlのインターロイキン2(IL-2)(カイロ ン 社 、 カ リ フ ォ ル ニ ア 州 エ メ リ ー ビ ル) を 培 養 液 に 加 え た 。 リ ン パ 球 は 次 の よ う に 毎 週 再 刺激された:応答細胞を回収し、1度洗浄し、24穴プレートに2.5×10⁵細胞/m 1の濃度になるようCM存在下で移した。自家移植したPBMCを解凍し、PBSで2回 洗浄し、 5 ~ 8 × 1 0 ⁶ 細胞 / m l の濃度に C M に再懸濁する。そして 1 µ g / m l ペプ チドと 1 5 m l の 円 錐 型 チューブ (5 m l / チューブ) 中 にお い て 3 時 間 3 7 でパルス した。これらのPBMC(刺激細胞)に3000ラドの線量の放射線を照射して、1度P BSで洗浄し、応答細胞に応答細胞:刺激細胞の比が1:3~1:10の範囲で加えた。 次の日、12IU/mlのIL-2を培養液に加えた。これらのCTLの活性は最低2ラ ウンド(14日間)のペプチド刺激後に細胞毒性アッセイによって試験された。TILか らてTLを作製するため、解離させた腫瘍の懸濁液を1~2日間、腫瘍細胞の接着を許す 1 0 % F C S / R P M I 1 6 4 0 培地で培養した。非接着画分から回収されたリンパ球 は前に記載したようにペプチド特異的CTLの誘導に用いられた。

[0202]

CTLによる抗原認識の評価

 5 1 C r 放出細胞毒性アッセイを C T L によるペプチドとメラノーマ細胞の認識を検出するために行った。ペプチドの認識を解析するため T 2 細胞株を 1 μ g / m 1 のペプチドと共に 3 7 で 2 時間あらかじめインキュベートした。そして、洗浄してから 5 1 C r 放出細胞毒性アッセイに標的細胞として用いた。メラノーマ細胞株 6 2 4 m e 1 は我々の研究室において確立された(実施例 1 参照)。

[0203]

抗メラノーマT細胞の誘導のために、自然のメラノーマエピトープより抗原性の強いペプチドを作製する目的で、特異的MHCクラスI対立形質に結合するペプチドのでを作した(非特許文献115、非特許文献54、非特許文献53、非特許文献55)(表15、表16、及び表17)。従来単離されたウイルス性エピトープ及び自然にプロインがされたHLA-A2.1結合ペプチドのほとんどは、第2の主要なアンカーアミノ酸の主要なアンカー部位(優勢なアンカーアミノ酸のエピバリンを含み、HLA-A2.1に対し高い結合親和性を持っていたが、単離されたのにバリンを含み、HLA-A2.1に対し高い結合親和性を持っていたが、単離されたののにバリンを含み、HLA-A2.1に対し高い結合現のでの第2位及びG9-280の第9位)やスレオニン(G9-154及びG9-209の第2位及びG9-280の第9位)やスレオニン(G9-154及びG9-280の第2位)のような非優勢アミノ酸を含む。M9-2、G9-209及びG9-280は高親和性の結合ペプチドではない。HLA-A2のペプチドへの結合には重要であるが、T細胞受容体による認識にはそれほど重要でない第1位、2位、3位、またはりによるではではない。HLA-A2.1により高い親和性で結合し、と

[0204]

修飾されたM 9 - 2、G 9 - 2 8 0、G 9 - 2 0 9、G 9 - 1 5 4 ペプチドのうちで、M 9 - 2 - 2 L、M 9 - 2 - 1 F、M 9 - 2 - 3 Y、G 9 - 2 8 0 - 9 V、G 9 - 2 8 0 - 9 L、G 9 - 2 8 0 - 1 F、G 9 - 2 0 9 - 2 L、G 9 - 2 0 9 - 2 N、G 9 - 2 0 9 - 1 Y、G 9 - 2 0 9

- 1 W 2 L 、 G 9 - 2 0 9 - 1 F 2 L 、 G 9 - 2 0 9 - 1 Y 2 L は、より高い結合親和性を持ち、元のメラノーマ反応性 T 細胞によって認識される(表 1 4 、表 1 5 、表 1 6 、及び表 1 7)。 G 9 - 1 5 4 - 2 I 、 G 9 - 2 0 9 - 1 F 2 L または G 9 - 2 8 0 - 9 V (表 1 8 、表 1 9 及び表 2 0) とともにパルスした自家移植 P B M C で刺激した P B L は、天然エピトープ(G 9 - 1 5 4 、 G 9 - 2 0 9 、 G 9 - 2 8 0) で刺激した P B L より元のエピトープのみならずメラノーマ細胞(6 2 4 m e 1) をもよく認識し、溶解させた。【 0 2 0 5 】

これらの結果は、修飾したペプチドは天然エピトープのかわりに抗腫瘍T細胞の誘導のために使うことが出来ることを示した。我々の研究で使われた特定のT細胞によって認識されなかったがHLA‐A2.1に対して高い結合親和性を持つ他のペプチドは、試験管内(in vitro)または生体内(in vivo)で元のメラノーマエピトープを認識可能な異なるT細胞セットを誘導するであろう。これらの修飾したペプチドは、試験管内(in vitro)での抗メラノーマT細胞の誘導、及びメラノーマ患者の治療またはメラノーマの予防のための患者に対する免疫付与に用いることが出来るだろう。

[0 2 0 6]

【表14】

<u>表14</u> 改変MART-1 M9-2ペプチド

| ペプチド | 配 | 列 | H L A — A2.1 に対する結合 親和性(nM) | M9-2 応答性 T細胞こ よる認識 | 1 |
|---------------------|-----------|------------|-----------------------------------|-----------------------------|---|
| M9-2親 | AAGIGILTV | (配列番号4) | 1064 | + | |
| M9 - 2 - 2 L | ALGIGILTV | (配列番号50) | 1 0 | + | |
| M9 - 2 - 2 M | AMGIGILTV | (配列番号51) | 14 | _ | • |
| M9 - 2 - 2 I | AIGIGILTV | (配列番号52) | 7 7 | - | |
| M9 - 2 - 1W | WAGIGILTV | (配列番号53) | 1351 | + | |
| M9 - 2 - 1 F | FAGIGILTV | (配列番号54) | 2 4 4 | + | |
| M9 - 2 - 1 Y | YAGIGILTV | (配列番号55) | 1 3 6 | _ | 2 |
| M9 - 2 - 3W | AAWIGILTV | (配列番号 5 6) | 6 5 | _ | 2 |
| M9 - 2 - 3 F | AAFIGILTV | (配列番号57) | 6 7 | _ | |
| M9 - 2 - 3 Y | AAYIGILTV | (配列番号58) | 102 | . + | |
| M9 - 2 - 1 K- 2 L | KLGIGILTV | (配列番号59) | 1 4 | _ | |
| M9-2-1 K2M | KMGIGILTV | (配列番号60) | 2 7 | _ | |
| M9-2-1 K2 I | KIGIGILTV | (配列番号61) | 9 4 | _ | |
| M9 - 2 - 1 W2 L | WLGIGILTV | (配列番号62) | . 11 | _ | |
| M9-2-1 F2L | FLGIGILTV | (配列番号63) | 1. 8 | _ | 3 |
| M9-2-1 Y 2 L | YLGIGILTV | (配列番号 6 4) | 3. 2 | _ | |
| M9 - 2 - 2 L 3 W | ALWIGILTV | (配列番号65) | 5. 5 | | |
| M9 - 2 - 2 L 3 F | ALFIGILTV | (配列番号66) | 1. 4 | - | |
| M9 - 2 - 2 L 3 Y | | | 3. 7 | • - | |

[0 2 0 7]

【表15】

<u>表15</u> 改変gp100 G9-154ペプチド

| ペプチド | 配列 | HLA-A2.1 に対する結合 親和性(nM) | G 9-154 応答性 T細胞こ よる認識 | |
|----------------------|---------------------|-------------------------------|--------------------------------|--|
| G 9 -154 親 | KTWGQYWQV (配列番号46) | 5. 7 | + | |
| G 9 -154-2L | KLWGQYWQV(配列番号68) | 2 | + | |
| G 9 -154-2M | KMWGQYWQV (配列番号69) | 6. 5 | + | |
| G 9-154-2 I | KIWGQYWQV (配列番号70 | 3 | + | |
| G 9 -154-1W | WTWGQYWQV (配列番号71) | 6 0 | _ | |
| G 9 -154-1 F | FTWGQYWQV (配列番号72 | 1.6 | _ | |
| G 9 -154-1 Y | YTWGQYWQV (配列番号 7 3 | 2. 5 | _ | |
| G 9 -154-1 A | ATWGQYWQV(配列番号74 | 5. 2 | + | |
| G 9 -154 -1 L | LTWGQYWQV (配列番号75 | 3. 4 | + | |
| G 9-154-3Y | KTYGQYWQV(配列番号76 | 3 0 | + | |
| G 9-154-3F | KTFGQYWQV(配列番号77 | 2 1 | + | |
| G 9 -154-1A 2 L | ALWGQYWQV (配列番号78 | 2. 3 | + | |
| G 9 -154-1 L 2 L | LLWGQYWQV(配列番号79 | 1. 6 | + | |
| G 9-154-1W2 L | WLWGQYWQV (配列番号80 | 2. 8 | - | |
| G9-154-1F2L | FLWGQYWQV (配列番号81 | 2. 6 | _ | |
| G 9-154-1 Y 2 L | YLWGQYWQV (配列番号82 | 1.7 | | |

[0 2 0 8]

40

【表16】

表16 改変gp100 G9-209ペプチド

| ペプチド | 四四 | 列 | HLA-A2.1 に対する結合 親和性(nM)* | G 9-209 応答性 T細胞に よる認識 | |
|-----------------|-------------|-----------|--------------------------------|--------------------------------|---|
| G 9-209親 | ITDQVPFSV | (配列番号48) | 172 | + | |
| G 9-209-2L | ILDQVPFSV | (配列番号83) | 3. 3 | + | |
| G 9 -209-2M | IMDQVPFSV | (配列番号84) | 1 9 | + | 1 |
| G 9 -209-2 I | Į I DQVPFSV | (配列番号85) | . 40 | + | |
| G 9-209-1F | FTDQVPFSV | (配列番号86) | 6 1 | + | |
| G 9 -209-1W | WTDQVPFSV | (配列番号87) | 7 1 1 | + | |
| G 9 -209-1 Y | YTDQVPFSV | (配列番号88) | 8 5 | + | |
| G 9 -209-3W | ITWQVPFSV | (配列番号89) | 3 4 | - | |
| G 9-209-3F | ITFQVPFSV | (配列番号90) | 6 6 | _ | |
| G 9 -209-3Y | ITYQVPFSV | (配列番号91) | 3 3 | _ | 2 |
| G 9 -209-3A | ITAQVPFSV | (配列番号92) | 9 5 | - | |
| G 9-209-3M | ITMQVPFSV | (配列番号93) | 4 0 | _ | |
| G 9 -209-3 S | ITSQVPFSV | (配列番号94) | 6 4 9 | _ | |
| G 9 -209-2L 3W | ILWQVPFSV | (配列番号95) | 1. 7 | - | |
| G 9-209-2L 3 F | I L'FQVPFSV | (配列番号96) | . 2 | _ | |
| G 9-209-2L 3 Y | ILYQVPFSV | (配列番号97) | 5 | _ | |
| G 9-209-2L 3 A | ILAQVPFSV | (配列番号98) | 1 1 | | 3 |
| G 9-209-2L 3 M | I LMQVPFSV | (配列番号99) | 7. 6 | _ | |
| G9-209-2L3S | ILSQVPFSV | (配列番号100) | 2 0 | _ | |
| G 9-209-1W2 L | WLDQVPFSV | (配列番号101) | 1 2 | + | |
| G 9-209-1F 2 L | FLDQVPFSV | (配列番号102) | 2. 2 | • + | |
| G 9-209-1 Y 2 L | YLDQVPFSV | (配列番号103) | 2. 3 | + | |

[0209]

* 標準放射性標識ペプチドHBC18-27を50%阻害するのに必要な試料ペプチドの 濃度。ペプチドは、高結合ペプチド(<50nMで50%阻害)、中結合ペプチド(50 ~500nM)、および低結合ペプチド(>500nM)として定義される(実施例4参 照)。

[0210]

【表17】

<u>表17</u> 改変gp100 G9-280ペプチド

| ペプチド | 配列 | HLA-A2.1 に対する結合 親和性(nM) | G9-280 応答性 T細胞こ よる認識 | 10 |
|----------------------|--------------------------------|-------------------------------|-------------------------------|------|
| G 9 -280親 | YLEPGPVTA(配列番号40) | 4 5 5 | | |
| G 9-280-9V | YLEPGPVTV ^(配列番号104) | 4 8 | + | |
| G 9-280-9 L | YLEPGPVTL(配列番号105) | 8 8 | + | |
| G 9 -280-9 I | YLEPGPVTI(配列番号106) | 6 5 | + | |
| G 9 -280-1 F | FLEPGPVTA (配列番号107) | 1 2 5 | + | |
| G 9-280-1W | WLEPGPVTA (配列番号108) | 8 3 3 | + | . 20 |
| G 9-280-3Y | 、YLYPGPVTA (配列番号109) | 17 | | |
| G 9 -280-3W | YLWPGPVTA (配列番号110) | 3. 2 | _ | |
| G 9 - 280-3 F | YLFPGPVTA (配列番号111) | 3. 2 | | |
| G 9 -280-3M | YLMPGPVTA (配列番号112) | 4. 3 | _ | |
| G 9 -280-3 S | YLSPGPVTA (配列番号113) | 4 2 | | |
| G 9 -280-3A | YLAPGPVTA (配列番号114) | 9. 3 | - | |
| G 9 -280-3M 9 V | YLMPGPVTV (配列番号115) | 1 2 | - | 30 |
| G 9 -280-3 S 9 V | YLSPGPVTV (配列番号116) | 2 3 | _ | |
| G 9 -280-3 A 9 V | YLAPGPVTV (配列番号117) | 1 5 | | |
| G 9 -280-3 Y 9 V | YLYPGPVTV (配列番号118) | 8. 9 | _ | |
| G 9-280-3F 9 V | YLFPGPVTV (配列番号119) | 5. 8 | - · | |
| G 9 -280-3W 9 V | YLWPGPVTV (配列番号120) | 7. 4 | _ · | |

[0211]

【表18】

表18 改変G9-154ペプチドを使用した抗メラノーマCTLの誘導 エフェクター T細胞

| 標 的 | G 9 - 1 5 4 で 刺激された P B L | G 9 - 1 5 4 - 2 1 で 刺激された P B L |
|--------------|------------------------------|------------------------------------|
| | 特異的溶解%() | E:T=40:1) |
| Γ2 | 1 1 | 1 |
| T2+G9-154 | 1 4 | 3 7 |
| T2+G9-154-21 | 8 | 3 8 |
| 624mel | 5 | 2 3 |

[0 2 1 2]

[0213]

^{5 1} Cr放出アッセイは、ペプチドであらかじめインキュベートした自家移植 PBM Cで 4回刺激した後に行った。

【表19】

表19 改変G9-209ペプチドを使用した抗メラノーマCTLの誘導

| 標 | 的 | G 9 - 2 0 9で 刺激されたPBL | G 9 - 2 0 9 - 1 F 2 L で刺激された P B L | 10 |
|---|---------------|--------------------------|---------------------------------------|----|
| | | 特異的溶解%() | $E: T=4 \ 0: 1)$ | |
| T | 2 | 0 | 0 | |
| Т | 2+G9-209 | 6 | 8 5 | |
| T | 2+G9-209-1F2L | , 1 | 8 6 | 20 |
| 6 | 2 4 m e 1 | 4 | 6 3 | |
| | | | | |

^[0 2 1 4]

[0 2 1 5]

^{5 1} Cr放出アッセイは、ペプチドであらかじめインキュベートした自家移植 P B M C で 4回刺激した後に行った。

【表20】

| 標的 | G 9 - 2 8 0 で 刺激されたPBL | G 9 - 2 8 0 - 9 V で刺激されたPBL | 10 |
|--------------|---------------------------|--------------------------------|----------|
| | · 特異的溶解%() | E:T=40:1) | - |
| T 2 | 3 | 0 | |
| T2+G9-280 | 1 1 | 8 7 | |
| T2+G9-280-9V | 8 | 5 8 | 20 |
| 624me1 | 1 1 | 7 1 | |
| | | | |

[0216]

^{5 1} C r 放出アッセイは、ペプチドであらかじめインキュベートした自家移植 P B M C で 4 回刺激した後に行った。

【実施例6】

[0217]

哺乳動物におけるメラノーマの治療のためのMART-1ワクチン

MART-1ワクチンは、メラノーマにくるしむ哺乳動物を治療するのに効果的であろ う。例えば、MART-1は個体に投与できる。哺乳動物は、本明細書中に記載したMA R T - 1 タンパク質、ペプチドまたは改変ペプチド約 1 m g ~ 約 1 0 0 m g の範囲で免疫 することができる。または、哺乳動物、好適にはヒトは、ワクシニアウイルス、アデノウ イルスまたは鶏ポックスウイルスのようなウイルスベクター中に挿入したMART-1核 酸配列で免疫することができる。免疫原性MART-1ペプチドまたは改変ペプチドまた はその類似体に対応するMART・1核酸配列を持つウイルス粒子を、哺乳動物、好適に はヒトあたり約10~~約10¹個の範囲で投与することができる。哺乳動物は、免疫 原に対する抗体について、または免疫原を認識する細胞毒性リンパ球(CTL)の増加に ついて従来の方法によって、または活動性疾患の臨床的症候の緩和についてモニターされ る。評価の対象となる特定パラメータには、ワクチン抗原または腫瘍退縮を認識する免疫 細胞の産生が含まれる。このようなワクチンは、予防的にまたは治療的に投与される。哺 乳動物は、また、レトロウイルスベクターに挿入したgp-100核酸配列またはGP-100免疫原性ペプチドまたは改変ペプチドまたはその類似体で免疫できる。使用される レトロウイルス中の抗原の示唆される量の範囲は、哺乳動物、好適にはヒトあたりウイル ス粒子約10~~約10¹¹個である。レトロウイルスワクチンの反応および効能は、上 述したように評価される。

【実施例7】

[0218]

<u>メラノーマに苦しむ哺乳動物を治療的に処置するための、メラノーマ抗原由来免疫原性ペ</u>プチドに対して感作されたリンパ球の使用

30

メラノーマ抗原に対してあらかじめ感作されたTリンパ球は、メラノーマに苦しむ哺乳動物を治療的に処置するのに効果的である。Tリンパ球は、末梢血リンパ球または腫瘍浸らす。Tリンパ球は、末梢血またはメラノーマ懸濁液から単離し、in vitroでMART-1タンパク質またはペプチドにさきす。Tリンパ球は、末梢血またはメラノーマ懸濁液から単離し、in vitroで培養する(非特許文献81)。Tリンパ球は、約1~約10mg/mlの濃度にて約1~16時間のあいだMART-1ペプチドAAGIGILTVにさらす。抗原にさらされたTリンパ球は、哺乳動物、好適にはヒトに約109~約1012リンパ球/哺乳動物にて投与される。あるいは、Tリンパ球は改変MART-1ペプチドにさらされる。リンパ球は、静脈内、腹膜内または傷害部に投与される。この処置は、サイトカイン、放射線療法、メラノーマ病変の外科的切除および化学療法薬、養子免疫法によるTリンパ球治療のような他の治療的処置とともに同時に投与できる。または、Tリンパ球を、gp100免疫原ペプチドまたは本明細書中に記載した改変免疫原ペプチドにさらしてもよい。

[0219]

寄託した態様は本発明の1つの側面についての単なる例示であり、本発明は寄託した核酸配列の範囲に限らず、機能的に同等であるいかなる配列も本発明の範囲内である。実際に、本明細書中に示し、記載したものに加えて発明を様々に改変することは、前の記載および以下の図により当業者には可能である。このような改変は、請求の範囲内である。

[配列表]

【表1-1】

| (1) | CEMEDAT | TATEODMATTON. |
|-----|-----------|---------------|
| (1) | TERNERAL. | INFORMATION |

- (i) APPLICANT:
 - (A) NAME: THE GOVERNMENT OF THE UNITED STATES OF AMERICA AS REPRESENTED BY THE SECRETARY, DEPARTMENT OF HEALTH AND HUMAN SERVICES

(B) STREET: 6011 EXECUTIVE BOULEVARD-BOX 13

- (C) CITY: ROCKVILLE
- (D) STATE: MARYLAND
- (E) COUNTRY: USA
- (F) POSTAL CODE: 20852
- (ii) TITLE OF INVENTION: MELANOMA ANTIGENS AND THEIR USE IN DIAGNOSTIC AND THERAPEUTIC METHODS
- (iii) NUMBER OF SEQUENCES: 126
- (iv) CORRESPONDENCE ADDRESS:
 - (A) ADDRESSEE: MORGAN & FINNEGAN
 - (B) STREET: 345 PARK AVENUE
 - (C) CITY: NEW YORK
 - (D) STATE: NEW YORK
 - (E) COUNTRY: USA
 - (F) ZIP: 10154
- (v) COMPUTER READABLE FORM:
 - MEDIUM TYPE: FLOPPY DISK
 - (B) COMPUTER: IBM PC COMPATIBLE
 - (C) OPERATING SYSTEM: PC-DOS/MS-DOS
 - (D) SOFTWARE: ASCII
- (vi) CURRENT APPLICATION DATA:

10

20

【表1-2】

| | | (A) | APPLICATION NUMBER: PCT/US95/0506 | 3 | | |
|------|--------|--------|-----------------------------------|-----|--|--|
| | | (B) | FILING DATE: 21-APR-1995 | | | |
| | | (C) | CLASSIFICATION: | | | |
| | (vii) | PRIOR | APPLICATION DATA: | | | |
| | | (A) | APPLICATION NUMBER: US/08/417,174 | | | |
| | | (B) | FILING DATE: 05-APR-1995 | | | |
| | (vii) | PRIOR | APPLICATION DATA: | | | |
| | | (A) | APPLICATION NUMBER: US/08/231,565 | | | |
| | | (B) | FILING DATE: 22-APR-1994 | | | |
| | | (C) | CLASSIFICATION: | | | |
| | (viii) | ATTO | RNEY/AGENT INFORMATION: | | | |
| | | (A) N. | AME: WILLIAN S. FEILER | | | |
| | | (B) R | EGISTRATION NUMBER: 26,728 | | | |
| | | (C) R | EFERENCE/DOCKET NUMBER: 2026-4124 | | | |
| | (ix) | TELEC | OMMUNICATION INFORMATION: | | | |
| | • | (A) T | ELEPHONE: (212) 758-4800 | | | |
| | | (B) TI | ELEFAX: (212) 751-6849 | | | |
| | | (C) TI | ELEX: 421792 | | | |
| (2) | 配列信 | 報 SEG | Q ID NO: 1: | | | |
| | (i) | 配歹 | の特性: | | | |
| | | (A) | 配列の長さ: 1559 | | | |
| | | (B) | 型: ヌクレオチド | | | |
| | | (C) | 鎖の数: 二本鎖 | | | |
| | | (D) | トポロジー: 不明 | | | |
| | (i i) | 配列 |]の種類: cDNA | | | |
| | (xi) | 配列 | 1: SEQ ID NO: 1: | | | |
| AGCA | GACAGA | GGACTO | CTCAT TAAGGAAGGT GTCCTGTGCC | 40 | | |
| CTGA | CCCTAC | AAGAT(| GCCAA GAGAAGATGC TCACTTCATC | 80 | | |
| TATG | GTTACC | CCAAGA | AGGG GCACGGCCAC TCTTACACCA | 120 | | |

【表1-3】

| | CGGCTGAAGA | GGCCGCTGGG | ATCGGCATCC | TGACAGTGAT | 160 |
|---|------------|------------|------------|------------|------|
| | CCTGGGAGTC | TTACTGCTCA | TCGGCTGTTG | GTATTGTAGA | 200 |
| | AGACGAAATG | GATACAGAGC | CTTGATGGAT | AAAAGTCTTC | 240 |
| | ATGTTGGCAC | TCAATGTGCC | TTAACAAGAA | GATGCCCACA | 280 |
| | AGAAGGGTTT | GATCATCGGG | ACAGCAAAGT | GTCTCTTCAA | 320 |
| | GAGAAAAACT | GTGAACCTGT | GGTTCCCAAT | GCTCCACCTG | 360 |
| ı | CTTATGAGAA | ACTCTCTGCA | GAACAGTCAC | CACCACCTTA | 400 |
| | TTCACCTTAA | GAGCCAGCGA | GACACCTGAG | ACATGCTGAA | 440 |
| | ATTATTTCTC | TCACACTTTT | GCTTGAATTT | AATACAGACA | 480 |
| | TCTAATGTTC | TCCTTTGGAA | TGGTGTAGGA | AAAATGCAAG | 520 |
| 1 | ССАТСТСТАА | TAATAAGTCA | GTGTTAAAAT | TTTAGTAGGT | 560 |
| | CCGCTAGCAG | TACTAATCAT | GTGAGGAAAT | GATGAGAAAT | 600 |
| ı | ATTAAATTGG | GAAAACTCCA | TCAATAAATG | TTGCAATGCA | 640 |
| , | TGATACTATC | TGTGCCAGAG | GTAATGTTAG | TAAATCCATG | 680 |
| 1 | GTGTTATTTT | CTGAGAGACA | GAATTCAAGT | GGGTATTCTG | 720 |
| 1 | GGGCCATCCA | ATTTCTCTTT | ACTTGAAATT | TGGCTAATAA | 760 |
| (| CAAACTAGTC | AGGTTTTCGA | ACCTTGACCG | ACATGAACTG | 800 |
| • | TACACAGAAT | TGTTCCAGTA | CTATGGAGTG | CTCACAAAGG | 840 |
| 1 | ATACTTTTAC | AGGTTAAGAC | AAAGGGTTGA | CTGGCCTATT | 880 |
| , | TATCTGATCA | AGAACATGTC | AGCAATGTCT | CTTTGTGCTC | 920 |
| | TAAAATTCTA | TTATACTACA | ATAATATATT | GTAAAGATCC | 960 |
| | TATAGCTCTT | TTTTTTGAG | ATGGAGTTTC | GCTTTTGTTG | 1000 |
| (| CCCAGGCTGG | AGTGCAATGG | CGCGATCTTG | GCTCACCATA | 1040 |
| I | ACCTCCGCCT | CCCAGGTTCA | AGCAATTCTC | CTGCCTTAGC | 1080 |
| (| CTCCTGAGTA | GCTGGGATTA | CAGGCGTGCG | CCACTATGCC | 1120 |
| 7 | TGACTAATTT | TGTAGTTTTA | GTAGAGACGG | GGTTTCTCCA | 1160 |
| 7 | TGTTGGTCAG | GCTGGTCTCA | AACTCCTGAC | CTCAGGTGAT | 1200 |
| (| ствсссвсст | CAGCCTCCCA | AAGTGCTGGA | ATTACAGGCG | 1240 |
| 7 | TGAGCCACCA | CGCCTGGCTG | GATCCTATAT | CTTAGGTAAG | 1280 |
| | | • | | - 3 - | |
| | | | | | |

【表1-4】

| ACATATAACG | CAGTCTAATT | ACATTTCACT | TCAAGGCTCA | 1320 |
|------------|------------|------------|------------|------|
| ATGCTATTCT | AACTAATGAC | AAGTATTTTC | TACTAAACCA | 1360 |
| GAAATTGGTA | GAAGGATTTA | AATAAGTAAA | AGCTACTATG | 1400 |
| TACTGCCTTA | GTGCTGATGC | CTGTGTACTG | CCTTAAATGT | 1440 |
| ACCTATGGCA | ATTTAGCTCT | CTTGGGTTCC | CAAATCCCTC | 1480 |
| TCACAAGAAT | GTGCAGAAGA | AATCATAAAG | GATCAGAGAT | 1520 |
| TCTGAAAAAA | AAAAAAAA | AAAAAAAAA | AAAAAAAA | 1559 |
| | | | | |

(2) 配列情報 SEQ ID NO: 2:

(i) 配列の特性:

(A) 配列の長さ: 118

(B) 型: アミノ酸

(C) 鎖の数: 不明

(D) トポロジー: 不明

(i i) 配列の種類: Protein

(xi)配列: SEQ ID NO: 2:

Met Pro Arg Glu Asp Ala His Phe Ile Tyr Gly Tyr Pro Lys

5

Lys Gly His Gly His Ser Tyr Thr Thr Ala Glu Glu Ala Ala

15 20

Gly Ile Gly Ile Leu Thr Val Ile Leu Gly Val Leu Leu Leu

Ile Gly Cys Trp Tyr Cys Arg Arg Arg Asn Gly Tyr Arg Ala

Leu Met Asp Lys Ser Leu His Val Gly Thr Gln Cys Ala Leu

65

Thr Arg Arg Cys Pro Gln Glu Gly Phe Asp His Arg Asp Ser

75

Lys Val Ser Leu Gln Glu Lys Asn Cys Glu Pro Val Val Pro

90

- 4 -

10

20

【表1-5】

Asn Ala Pro Pro Ala Tyr Glu Lys Leu Ser Ala Glu Gln Ser 105 110 Pro Pro Pro Tyr Ser Pro

115

- (2) 配列情報 SEQ ID NO: 3:
 - (i) 配列の特性:
 - (A) 配列の長さ: 9
 - (B) 型: アミノ酸
 - (C) 鎖の数: 不明
 - (D) トポロジー: 不明
 - 配列の種類: ペプチド (i i)
 - (xi)配列: SEQ ID NO: 3:

Thr Thr Ala Glu Glu Ala Ala Gly Ile

1 5

- (2) 配列情報 SEQ ID NO: 4:
 - (i) 配列の特性:
 - (A) 配列の長さ: 9
 - (B) 型: アミノ酸
 - (C) 鎖の数: 二本鎖
 - (D) トポロジー: 不明
 - (i i) 配列の種類: ペプチド
 - 配列: SEQ ID NO: 4: (xi)

Ala Ala Gly Ile Gly Ile Leu Thr Val

1 5

- (2) 配列情報 SEQ ID NO: 5:
 - (i) 配列の特性:
 - (A) 配列の長さ: 9
 - (B) 型: アミノ酸
 - (C) 鎖の数: 不明

- 5 -

10

20

10

20

30

【表1-6】

| | | (-) | |
|-----|----------|------------|--------------------|
| | | (D) | トポロジー: 不明 |
| | (i i) | 配列 | の種類: ペプチド |
| | (x i) | 配列 | : SEQ ID NO: 5: |
| Gly | Ile Gly | Ile L | eu Thr Val Ile Leu |
| 1 | | | 5 |
| (2) | 配列情報 | 報 SEQ | ID NO: 6: |
| | (i) | 配列 | の特性: |
| | | (A) | 配列の長さ: 9 |
| | | (B) | 型: アミノ酸 |
| | | (C) | 鎖の数: 不明 |
| | | (D) | トポロジー: 不明 |
| | (i i) | 配列 | の種類: ペプチド |
| | (x i) | 配列 | : SEQ ID NO: 6: |
| Gly | Ile Leu | Thr V | al Ile Leu Gly Val |
| 1 | | | 5 |
| (2) | 配列情報 | 報 SEQ | ID NO: 7: |
| | (i) | | の特性: |
| | | | 配列の長さ: 9 |
| | | (B) | 型: アミノ酸 |
| | | (C) | 鎖の数: 不明 |
| | | (D) | トポロジー: 不明 |
| | (i i) | | の種類: ペプチド |
| | (x i) | | : SEQ ID NO: 7: |
| He | | | le Leu Gly Val Leu |
| 1 | _04 1111 | | 5 |
| (2) | 配別標準 | ₽ SEU | ID NO: 8: |
| (4) | (i) | | 15 NO. 0. の特性: |
| | (1) | 日ログリ | ノフリエ・ |

- 6 -

(A) 配列の長さ: 9 (B) 型: アミノ酸

【表1-7】

(C) 鎖の数: 不明

(D) トポロジー: 不明

(ii) 配列の種類: ペプチド

(xi)配列: SEQ ID NO: 8:

Leu Thr Val Ile Leu Gly Val Leu Leu

5

(2) 配列情報 SEQ ID NO: 9:

(i) 配列の特性:

(A) 配列の長さ: 9

(B) 型: アミノ酸

(C) 鎖の数: 不明

(D) トポロジー: 不明

配列の種類: ペプチド (i i)

(xi) 配列: SEQ ID NO: 9:

Thr Val Ile Leu Gly Val Leu Leu Leu

1 5

(2) 配列情報 SEQ ID NO: 10:

配列の特性: (i)

(A) 配列の長さ: 9

(B) 型: アミノ酸

(C) 鎖の数: 不明

(D) トポロジー: 不明

(i i) 配列の種類: ペプチド

配列: SEQ ID NO: 10: (xi)

Val Ile Leu Gly Val Leu Leu Ile

1 5

(2) 配列情報 SEQ ID NO: 11:

(i) 配列の特性:

(A) 配列の長さ: 9

10

20

【表1-8】

(B) 型: アミノ酸

(C) 鎖の数: 不明

(D) トポロジー: 不明

- (ii) 配列の種類: ペプチド
- (xi) 配列: SEQ ID NO: 11:

Ala Leu Met Asp Lys Ser Leu His Val

5

(2) 配列情報 SEQ ID NO: 12:

(i) 配列の特性:

(A) 配列の長さ: 9

(B) 型: アミノ酸

(C) 鎖の数: 不明

(D) トポロジー: 不明

(ii) 配列の種類: ペプチド

(xi) 配列: SEQ ID NO: 12:

Ser Leu His Val Gly Thr Gln Cys Ala

1 5

(2) 配列情報 SEQ ID NO: 13:

(i) 配列の特性:

(A) 配列の長さ: 9

(B) 型: アミノ酸

(C) 鎖の数: 不明

(D) トポロジー: 不明

- (ii) 配列の種類: ペプチド
- (xi) 配列: SEQ ID NO: 13:

Pro Val Val Pro Asn Ala Pro Pro Ala

1

- (2) 配列情報 SEQ ID NO: 14:
 - (i) 配列の特性:

- 8 -

10

.

20

【表1-9】

(A) 配列の長さ: 9

(B) 型: アミノ酸

(C) 鎖の数: 不明

(D) トポロジー: 不明

(ii) 配列の種類: ペプチド

(xi) 配列: SEQ ID NO: 14:

Asn Ala Pro Pro Ala Tyr Glu Lys Leu

1

(2) 配列情報 SEQ ID NO: 15:

(i) 配列の特性:

(A) 配列の長さ: 10

(B) 型: アミノ酸

(C) 鎖の数: 不明

(D) トポロジー: 不明

(ii) 配列の種類: ペプチド

(xi)配列: SEQ ID NO: 15:

Tyr Thr Thr Ala Glu Glu Ala Ala Gly Ile

5

(2) 配列情報 SEQ ID NO: 16:

(i) 配列の特性:

(A) 配列の長さ: 10

(B) 型: アミノ酸

(C) 鎖の数: 不明

(D) トポロジー: 不明

(ii) 配列の種類: ペプチド

(xi) 配列: SEQ ID NO: 16:

Thr Ala Glu Glu Ala Ala Gly Ile Gly Ile

5

(2) 配列情報 SEQ ID NO: 17:

- 9 -

10

20

【表1-10】

(i) 配列の特性:

(A) 配列の長さ: 10

(B) 型: アミノ酸

(C) 鎖の数: 不明

(D) トポロジー: 不明

(i i) 配列の種類: ペプチド

配列: SEQ ID NO: 17: (xi)

Glu Ala Ala Gly Ile Gly Ile Leu Thr Val

1 5

(2) 配列情報 SEQ ID NO: 18:

(i) 配列の特性:

(A) 配列の長さ: 10

(B) 型: アミノ酸

(C) 鎖の数: 不明

(D) トポロジー: 不明

(ii) 配列の種類: ペプチド

(xi) 配列: SEQ ID NO: 18: Ala Ala Gly Ile Gly Ile Leu Thr Val Ile

1 5

(2) 配列情報 SEQ ID NO: 19:

(i) 配列の特性:

(A) 配列の長さ: 10

(B) 型: アミノ酸

(C) 鎖の数: 不明

(D) トポロジー: 不明

(ii) 配列の種類: ペプチド

(xi) 配列: SEQ ID NO: 19:

Gly Ile Leu Thr Val Ile Leu Gly Val Leu

- 10 -

10

20

【表1-11】

(2) 配列情報 SEQ ID NO: 20:

(i) 配列の特性:

(A) 配列の長さ: 10

(B) 型: アミノ酸

(C) 鎖の数: 不明

(D) トポロジー: 不明

(ii) 配列の種類: ペプチド

(xi) 配列: SEQ ID NO: 20:

Ile Leu Thr Val Ile Leu Gly Val Leu Leu

1 5 10

(2) 配列情報 SEQ ID NO: 21:

(i) 配列の特性:

(A) 配列の長さ: 10

(B) 型: アミノ酸

(C) 鎖の数: 不明

(D) トポロジー: 不明

(ii) 配列の種類: ペプチド

(xi) 配列: SEQ ID NO: 21:

Leu Thr Val Ile Leu Gly Val Leu Leu Leu

1 5 10

(2) 配列情報 SEQ ID NO: 22:

(i) 配列の特性:

(A) 配列の長さ: 10

(B) 型: アミノ酸

(C) 鎖の数: 不明

(D) トポロジー: 不明

(ii) 配列の種類: ペプチド

(xi) 配列: SEQ ID NO: 22:

Thr Val Ile Leu Gly Val Leu Leu Leu Ile

- 11 -

10

ı

20

10

20

30

【表1-12】

5 10 (2) 配列情報 SEQ ID NO: 23: (i) 配列の特性: (A) 配列の長さ: 10 (B) 型: アミノ酸 (C) 鎖の数: 不明 (D) トポロジー: 不明 (ii) 配列の種類: ペプチド (xi) 配列: SEQ ID NO: 23: Arg Ala Leu Met Asp Lys Ser Leu His Val 5 (2) 配列情報 SEQ ID NO: 24: (i) 配列の特性: (A) 配列の長さ: 10 (B) 型: アミノ酸 (C) 鎖の数: 不明 (D) トポロジー: 不明 (i i) 配列の種類: ペプチド 配列: SEQ ID NO: 24: Ser Leu His Val Gly Thr Gln Cys Ala Leu 1 5 (2) 配列情報 SEQ ID NO: 25: (i) 配列の特性: (A) 配列の長さ: 10 (B) 型: アミノ酸 (C) 鎖の数: 不明 (D) トポロジー: 不明 配列の種類: ペプチド (i i) (ix) 配列: SEQ ID NO: 25:

- 12 -

【表1-13】

| ser | Leu GI | n Glu L3 | s Asn Cys Glu | Pro Val | |
|--------------|---------|----------|----------------|--------------|-----|
| 1 | | | 5 | 10 | • |
| (2) | 配列信 | 青報 SEQ | ID NO: 26: | | |
| | (i) | 配列(| の特性: | | |
| | | (A) | 配列の長さ: 2 | 2172 | |
| | | (B) | 型: ヌクレオ: | チド | |
| | | (C) | 鎖の数: 二本 | 鎖 | |
| | | (D) | トポロジー: | 不明 | |
| | (i i) | 配列の | の種類: cDNA | | |
| | (x i) | 配列: | SEQ ID NO: 26 | 6: | |
| GTC | GACGGCC | ATTACCA | ATC GCGACCGGG | A AGAACACAAT | 40 |
| GGA' | TCTGGTG | CTAAAAA | GAT GCCTTCTTC | A TTTGGCTGTG | 80 |
| ATA | GGTGCTT | TGCTGGC | TGT GGGGGCTACA | A AAAGTACCCA | 120 |
| GAA | ACCAGGA | CTGGCTT | GGT GTCTCAAGG(| C AACTCAGAAC | 160 |
| CAA | AGCCTGG | AACAGGC | AGC TGTATCCAGA | A GTGGACAGAA | 200 |
| GCC | CAGAGAC | TTGACTG | CTG GAGAGGTGGT | CAAGTGTCCC | 240 |
| TCA | AGGTCAG | TAATGAT | GGG CCTACACTGA | A TTGGTGCAAA | 280 |
| TGC | стссттс | TCTATTG | CCT TGAACTTCC | TGGAAGCCAA | 320 |
| AAGO | GTATTGC | CAGATGG | GCA GGTTATCTGG | G GTCAACAATA | 360 |
| CCAT | rcatcaa | TGGGAGC | CAG GTGTGGGGAG | GACAGCCAGT | 400 |
| GTAT | CCCCAG | GAAACTG | ACG ATGCCTGCAT | CTTCCCTGAT | 440 |
| GGT(| GGACCTT | GCCCATC | TGG CTCTTGGTCT | CAGAAGAGAA | 480 |
| GCTI | TTGTTTA | TGTCTGG | AAG ACCTGGGGCC | C AATACTGGCA | 520 |
| ATTI | TCTAGGG | GGCCCAG | TGT CTGGGCTGAG | G CATTGGGACA | 560 |
| GGC# | AGGGCAA | TGCTGGG | CAC ACACACCATG | GAAGTGACTG | 600 |
| rct <i>i</i> | ACCATCG | CCGGGGA | TCC CGGAGCTATG | GTGCCTCTTGC | 640 |
| ГСАТ | TTCCAGC | TCAGCCT | TCA CCATTACTGA | CCAGGTGCCT | 680 |
| | | | CCA GTTGCGGGCC | | 720 |
| GGAA | ACAAGCA | CTTCCTG | AGA AATCAGCCTC | TGACCTTTGC | 760 |
| | | | | | |

【表1-14】

| CCTCCAGCTC | CATGACCCCA | GTGGCTATCT | GGCTGAAGCT | 800 |
|------------|------------|------------|------------|------|
| GACCTCTCCT | ACACCTGGGA | CTTTGGAGAC | AGTAGTGGAA | 840 |
| CCCTGATCTC | TCGGGCACTT | GTGGTCACTC | ATACTTACCT | 880 |
| GGAGCCTGGC | CCAGTCACTG | CCCAGGTGGT | CCTGCAGGCT | 920 |
| GCCATTCCTC | TCACCTCCTG | TGGCTCCTCC | CCAGTTCCAG | 960 |
| GCACCACAGA | TGGGCACAGG | CCAACTGCAG | AGGCCCCTAA | 1000 |
| CACCACAGCT | GGCCAAGTGC | CTACTACAGA | AGTTGTGGGT | 1040 |
| ACTACACCTG | GTCAGGCGCC | AACTGCAGAG | CCCTCTGGAA | 1080 |
| CCACATCTGT | GCAGGTGCCA | ACCACTGAAG | TCATAAGCAC | 1120 |
| TGCACCTGTG | CAGATGCCAA | CTGCAGAGAG | CACAGGTATG | 1160 |
| ACACCTGAGA | AGGTGCCAGT | TTCAGAGGTC | ATGGGTACCA | 1200 |
| CACTGGCAGA | GATGTCAACT | CCAGAGGCTA | CAGGTATGAC | 1240 |
| ACCTGCAGAG | GTATCAATTG | TGGTGCTTTC | TGGAACCACA | 1280 |
| GCTGCACAGG | TAACAACTAC | AGAGTGGGTG | GAGACCACAG | 1320 |
| CTAGAGAGCT | ACCTATCCCT | GAGCCTGAAG | GTCCAGATGC | 1360 |
| CAGCTCAATC | ATGTCTACGG | AAAGTATTAC | AGGTTCCCTG | 1400 |
| GGCCCCCTGC | TGGATGGTAC | AGCCACCTTA | AGGCTGGTGA | 1440 |
| AGAGACAAGT | CCCCCTGGAT | TGTGTTCTGT | ATCGATATGG | 1480 |
| TTCCTTTTCC | GTCACCCTGG | ACATTGTCCA | GGGTATTGAA | 1520 |
| AGTGCCGAGA | TCCTGCAGGC | TGTGCCGTCC | GGTGAGGGGG | 1560 |
| ATGCATTTGA | GCTGACTGTG | TCCTGCCAAG | GCGGGCTGCC | 1600 |
| CAAGGAAGCC | TGCATGGAGA | TCTCATCGCC | AGGGTGCCAG | 1640 |
| CCCCCTGCCC | AGCGGCTGTG | CCAGCCTGTG | CTACCCAGCC | 1680 |
| CAGCCTGCCA | GCTGGTTCTG | CACCAGATAC | TGAAGGGTGG | 1720 |
| CTCGGGGACA | TACTGCCTCA | ATGTGTCTCT | GGCTGATACC | 1760 |
| AACAGCCTGG | CAGTGGTCAG | CACCCAGCTT | ATCATGCCTG | 1800 |
| GTCAAGAAGC | AGGCCTTGGG | CAGGTTCCGC | TGATCGTGGG | 1840 |
| CATCTTGCTG | GTGTTGATGG | CTGTGGTCCT | TGCATCTCTG | 1880 |
| ATATATAGGC | GCAGACTTAT | GAAGCAAGAC | TTCTCCGTAC | 1920 |
| | | | | |

【表1-15】

| CCCAGTTGCC | ACATAGCAGC A | GTCACTGGC TGCG | TCTACC | |
|-------------|---------------|----------------|-----------|---|
| CCGCATCTTC | TGCTCTTGTC C | CATTGGTGA GAAC | AGCCCC | |
| CTCCTCAGTG | GGCAGCAGGT C | TGAGTACTC TCAT | ATGATG | |
| CTGTGATTTT | CCTGGAGTTG A | CAGAAACAC CTAT | ATTTCC | |
| CCCAGTCTTC | CCTGGGAGAC T | ACTATTAAC TGAA | ATAAAT | |
| ACTCAGAGCC | TGAAAAAAA T. | AAAAAAAAA AAAA | AAAAA | |
| AAAAAAAAA | AA | | | |
| (2) 配列信 | 青報 SEQ ID NO | : 27: | | |
| (i) | 配列の特性 | : | | |
| | (A) 配列の |)長さ: 661 | | |
| | (B) 型: | アミノ酸 | | |
| | (C) 鎖の数 | t: 不明 | | |
| | (D) トポロ | 1ジー: 不明 | | |
| (ii) | 配列の種類 | : Protein | | |
| (xi) | 配列: SEQ | ID NO: 27: | | |
| Met Asp Leu | u Val Leu Lys | Arg Cys Leu L | eu His Le | Ц |
| 1 | . 5 | | 10 . | |
| Ala Val Ile | e Gly Ala Leu | Leu Ala Val G | ly Ala Th | r |
| 15 | 5 | 20 | | |
| Lys Val Pro | o Arg Asn Gln | Asp Trp Leu G | ly Val Se | r |
| 25 | 30 | | 35 | |
| Arg Gln Leu | u Arg Thr Lys | Ala Trp Asn A | rg Gln Le | 1 |
| | 40 | 45 | | |
| Tyr Pro Glu | u Trp Thr Glu | Ala Gln Arg L | eu Asp Cy | 3 |
| 50 | | 55 | 6 | |
| | y Gly Gln Val | Ser Leu Lys V | | |
| · | 65 | | 70 | |
| | ~ - | | | |

- 15 -

Asp Gly Pro Thr Leu Ile Gly Ala Asn Ala Ser Phe

【表1-16】

| Ser | Ile | Ala | Leu | Asn | Phe | Pro | Gly | Ser | Gln | Lys | Val |
|-----|-----|-----|-----|-----|-----|-----|-----|-----|-----|-----|-----|
| 85 | | | | | 90 | | | | | 95 | |
| Leu | Pro | Asp | Gly | Gln | Val | Ile | Trp | Val | Asn | Asn | Thr |
| | | | 100 | | | | | 105 | | | |
| Ile | Ile | Asn | Gly | Ser | Gln | Val | Trp | Gly | Gly | Gln | Pro |
| | 110 | | | | | 115 | | | | | 120 |
| Val | Tyr | Pro | Gln | Glu | Thr | Asp | Asp | Ala | Cys | Ile | Phe |
| | | | | 125 | | | | | 130 | | |
| Pro | Asp | Gly | Gly | Pro | Cys | Pro | Ser | Gly | Ser | Trp | Ser |
| | | 135 | | | | | 140 | | | | |
| Gln | Lys | Arg | Ser | Phe | Val | Tyr | Val | Trp | Lys | Thr | Trp |
| 145 | | | | | 150 | | | | | 155 | |
| Gly | Gln | Tyr | Trp | Gln | Phe | Leu | Gly | Gly | Pro | Val | Ser |
| | | | 160 | | | | | 165 | | | |
| Gly | Leu | Ser | Ile | Gly | Thr | Gly | Arg | Ala | Met | Leu | Gly |
| | 170 | | | | | 175 | | | | | 180 |
| Thr | His | Thr | Met | Glu | Val | Thr | Val | Tyr | His | Arg | Arg |
| | | | | 185 | | | | | 190 | | |
| Gly | Ser | Arg | Ser | Tyr | Val | Pro | Leu | Ala | His | Ser | Ser |
| | | 195 | | | | | 200 | | | | |
| Ser | Ala | Phe | Thr | Ile | Thr | Asp | Gln | Val | Pro | Phe | Ser |
| 205 | | | | | 210 | | | | | 215 | |
| Val | Ser | Val | Ser | Gln | Leu | Arg | Ala | Leu | Asp | Gly | Gly |
| | | | 220 | | | | • | 225 | | | |
| Asn | Lys | His | Phe | Leu | Arg | Asn | Gln | Pro | Leu | Thr | Phe |
| | 230 | | | | | 235 | | | | | 240 |
| Ala | Leu | Gln | Leu | His | Asp | Pro | Ser | Gly | Tyr | Leu | Ala |
| | | | | 245 | | | | | 250 | | |
| Glu | Ala | Asp | Leu | Ser | Tyr | Thr | Trp | Asp | Phe | Gly | Asp |
| | | | | | | | | | - 1 | 6 - | |

20

| 表 | 1 | - | 1 | 7 | 1 | | | | | | | |
|-----|---|-----|-----|-----|-------|-----|-----|-----|-----|-----|-----|-----|
| | | | 255 | | | | | 260 | | | | |
| Se | r | Ser | Gly | Thi | r Leu | Ile | Ser | Arg | Ala | Leu | Val | Val |
| 26 | 0 | | | | | 265 | | | | | 270 | |
| Th | r | His | Thr | Туп | Leu | Glu | Pro | Gly | Pro | Val | Thr | Ala |
| | | | | 275 | 5 | | | | 280 | | | |
| Gli | n | Val | Val | Leu | ı Gln | Ala | Ala | Ile | Pro | Leu | Thr | Ser |
| | | 285 | | | | | 290 | | | | | 295 |
| Cys | S | Gly | Ser | Ser | Pro | Val | Pro | Gly | Thr | Thr | Asp | Gly |
| | | | | | 300 | | | | | 305 | | |
| His | S | Arg | Pro | Thr | Ala | Glu | Ala | Pro | Asn | Thr | Thr | Ala |
| | | | 310 | | | | | 315 | | | | |
| Gly | y | Gln | Val | Pro | Thr | Thr | Glu | Val | Val | Gly | Thr | Thr |
| 320 |) | | | | | 325 | | | | | 330 | |
| Pre |) | Gly | Gln | Ala | Pro | Thr | Ala | Glu | Pro | Ser | Gly | Thr |
| | | | | 335 | i | | | | 340 | | | |
| Thi | r | Ser | Val | Gln | Val | Pro | Thr | Thr | Glu | Val | Ile | Ser |
| | | 345 | | | | | 350 | | | | | 355 |
| Thi | ľ | Ala | Pro | Val | Gln | Met | Pro | Thr | Ala | Glu | Ser | Thr |
| | | | | | 360 | | | | | 365 | | |
| Gly | 7 | Met | Thr | Pro | Glu | Lys | Val | Pro | Val | Ser | Glu | Val |
| | | | 370 | | | | | 375 | | | | |
| Met | t | Gly | Thr | Thr | Leu | Ala | Glu | Met | Ser | Thr | Pro | Glu |
| 380 |) | | | | | 385 | | | | | 300 | |

Ala Thr Gly Met Thr Pro Ala Glu Val Ser Ile Val 395 400 Val Leu Ser Gly Thr Thr Ala Ala Gln Val Thr Thr 410 Thr Glu Trp Val Glu Thr Thr Ala Arg Glu Leu Pro

420

- 17 -

10

20

【表1-18】

| He | Pro | Glu | Pro | Glu | Gly | Pro | Asp | Ala | Ser | Ser | Ile |
|-----|-----|-----|-----|-----|-----|-----|-----|-----|-----|-----|-----|
| | | 430 | | | | | 435 | | | | |
| Met | Ser | Thr | Glu | Ser | Ile | Thr | Gly | Ser | Leu | Gly | Pro |
| 440 | | | | | 445 | | | | | 450 | |
| Leu | Leu | Asp | Gly | Thr | Ala | Thr | Leu | Arg | Leu | Val | Lys |
| | | | 455 | | | | | 460 | | | |
| Arg | Gln | Val | Pro | Leu | Asp | Cys | Val | Leu | Tyr | Arg | Tyr |
| | 465 | | | | | 470 | | | | | 475 |
| Gly | Ser | Phe | Ser | Val | Thr | Leu | Asp | Ile | Val | Gln | Gly |
| | | | | 480 | | | | | 490 | | |
| Ile | Glu | Ser | Ala | Glu | Ile | Leu | Gln | Ala | Val | Pro | Ser |
| | | 495 | | | | | 500 | | | | |
| Gly | Glu | Gly | Asp | Ala | Phe | Glu | Leu | Thr | Val | Ser | Cys |
| 505 | | | | | 510 | | | | | 515 | |
| Gln | Gly | Gly | Leu | Pro | Lys | Glu | Ala | Cys | Met | Glu | Ile |
| | | | 520 | | | | | 525 | | | |
| Ser | Ser | Pro | Gly | Cys | Gln | Pro | Pro | Ala | Gln | Arg | Leu |
| | 530 | | | | | 535 | | | | | 540 |
| Cys | Gln | Pro | Val | Leu | Pro | Ser | Pro | Ala | Cys | Gln | Leu |
| | | | | 545 | | | | | 550 | | |
| Val | Leu | His | Gln | Ile | Leu | Lys | Gly | Gly | Ser | Gly | Thr |
| | | 555 | | | | | 560 | | | | |
| Tyr | Cys | Leu | Asn | Val | Ser | Leu | Ala | Asp | Thr | Asn | Ser |
| 565 | | | | | 570 | | | | | 575 | |
| Leu | Ala | Val | Val | Ser | Thr | Gln | Leu | Ile | Met | Pro | Gly |
| | | | 580 | | | V | | 585 | | | |
| Gln | Glu | Ala | Gly | Leu | Gly | Gln | Val | Pro | Leu | Ile | Val |
| | 590 | | | | | 595 | | | | | 600 |
| Gly | Ile | Leu | Leu | Val | Leu | Met | Ala | Val | Val | Leu | Ala |
| | | | | | | | | | - 1 | 8 - | |

20

【表1-19】

605

610

Ser Leu Ile Tyr Arg Arg Arg Leu Met Lys Gln Asp

615

620

Phe Ser Val Pro Gln Leu Pro His Ser Ser Ser His

625

630

635

Trp Leu Arg Leu Pro Arg Ile Phe Cys Ser Cys Pro

640

645

Ile Gly Glu Asn Ser Pro Leu Leu Ser Gly Gln Gln

650

655

Val

(2) 配列情報 SEQ ID NO: 28:

(i) 配列の特性:

(A) 配列の長さ: 7

(B) 型: アミノ酸

(C) 鎖の数: 不明

(D) トポロジー: 不明

(ii) 配列の種類: Protein

(xi) 配列: SEQ ID NO: 28:

Val Pro Gly Ile Leu Leu Thr

1

5

(2) 配列情報 SEQ ID NO: 29:

(i) 配列の特性:

(A) 配列の長さ: 7

(B) 型: アミノ酸

(C) 鎖の数: 不明

(D) トポロジー: 不明

(ii) 配列の種類: Protein

(xi) 配列: SEQ ID NO: 29:

Leu Leu Ser Gly Gln Gln Val

10

. •

20

30

- 19 -

【表1-20】

1 5

(2) 配列情報 SEQ ID NO: 30:

(i) 配列の特性:

(A) 配列の長さ: 12

(B) 型: アミノ酸

(C) 鎖の数: 不明

(D) トポロジー: 不明

(i i) 配列の種類: Protein

(x i) 配列: SEQ ID NO: 30:

Pro Pro Gln Trp Ala Ala Gly Leu Ser Thr Leu Ile

1 5 10

(2) 配列情報 SEQ ID NO: 31:

(i) 配列の特性:

(A) 配列の長さ: 9

(B) 型: アミノ酸

(C) 鎖の数: 不明

(D) トポロジー: 不明

(i i) 配列の種類: ペプチド

(xi)配列: SEQ ID NO: 31:

Met Leu Leu Ala Val Leu Tyr Cys Leu

5

(2) 配列情報 SEQ ID NO: 32:

(i) 配列の特性:

(A) 配列の長さ: 9

(B) 型: アミノ酸

(C) 鎖の数: 不明

(D) トポロジー: 不明

配列の種類: ペプチド (i i)

(xi)配列: SEQ ID NO: 32:

10

20

30

- 20 -

【表1-21】

Tyr Met Asn Gly Thr Met Ser Gln Val

1 5

- (2) 配列情報 SEQ ID NO: 33:
 - (i) 配列の特性:
 - (A) 配列の長さ: 10
 - (B) 型: アミノ酸
 - (C) 鎖の数: 不明
 - (D) トポロジー: 不明
 - (ii) 配列の種類: ペプチド
 - (xi) 配列: SEQ ID NO: 33:

Leu Leu Asp Gly Thr Ala Thr Leu Arg Leu

1 5 10

- (2) 配列情報 SEQ ID NO: 34:
 - (i) 配列の特性:
 - (A) 配列の長さ: 10
 - (B) 型: アミノ酸
 - (C) 鎖の数: 不明
 - (D) トポロジー: 不明
 - (ii) 配列の種類: ペプチド
 - (xi) 配列: SEQ ID NO: 34:

Val Leu Tyr Arg Tyr Gly Ser Phe Ser Val

1 5 1

- (2) 配列情報 SEQ ID NO: 35:
 - (i) 配列の特性:
 - (A) 配列の長さ: 10
 - (B) 型: アミノ酸
 - (C) 鎖の数: 不明
 - (D) トポロジー: 不明
 - (ii) 配列の種類: ペプチド

- 21 -

10

20

【表1-22】

| (x i) | 配列: | SEQ | ID | NO: | 35: | |
|-------|-----|-----|----|-----|-----|--|
| | | | | | | |

Ala Leu Asp Gly Gly Asn Lys His Phe Leu

(2) 配列情報 SEQ ID NO: 36:

(i) 配列の特性:

(A) 配列の長さ: 9

(B) 型: アミノ酸

(C) 鎖の数: 不明

(D) トポロジー: 不明

(ii) 配列の種類: ペプチド

配列: SEQ ID NO: 36: (x i)

Val Leu Lys Arg Cys Leu Leu His Leu

5

(2) 配列情報 SEQ ID NO: 37:

(i) 配列の特性:

(A) 配列の長さ: 10

(B) 型: アミノ酸

(C) 鎖の数: 不明

(D) トポロジー: 不明

(i i) 配列の種類: ペプチド

配列: SEQ ID NO: 37: (xi)

Val Leu Pro Ser Pro Ala Cys Gln Leu Val

5 1

(2) 配列情報 SEQ ID NO: 39:

(i) 配列の特性:

(A) 配列の長さ: 9

(B) 型: アミノ酸

(C) 鎖の数: 不明

(D) トポロジー: 不明

- 22 -

10

20

【表1-23】

| (i i) | 配列の種類: | ペプチド |
|-------|--------|------|
| (11) | | |

(xi) 配列: SEQ ID NO: 39:

Ser Leu Ala Asp Thr Asn Ser Leu Ala Val

1 5 10

(2) 配列情報 SEQ ID NO: 40:

(i) 配列の特性:

(A) 配列の長さ: 9

(B) 型: アミノ酸

(C) 鎖の数: 不明

(D) トポロジー: 不明

(ii) 配列の種類: ペプチド

(xi) 配列: SEQ ID NO: 40:

Tyr Leu Glu Pro Gly Pro Val Thr Ala

Į.

(2) 配列情報 SEQ ID NO: 41:

(i) 配列の特性:

(A) 配列の長さ: 9

(B) 型: アミノ酸

(C) 鎖の数: 不明

(D) トポロジー: 不明

(ii) 配列の種類: ペプチド

(xi) 配列: SEQ ID NO: 41:

Leu Asn Val Ser Leu Ala Asp Thr Asn

1 5

(2) 配列情報 SEQ ID NO: 42:

(i) 配列の特性:

(A) 配列の長さ: 58

(B) 型: ヌクレオチド

(C) 鎖の数: 二本鎖

- 23 -

10

20

30

J

【表1 - 24】

| | | (D) トポロジー: 不明 | | |
|------|-----------|---------------------------------|----|----|
| | (i i) | 配列の種類: cDNA | | |
| | (xi) | 配列: SEQ ID NO: 42: | | |
| GGA(| CAGGCCG A | AGGCGGCCTT TTTTTTTTTT TTTTTTTTT | 40 | |
| TTTI | TTTTTT 1 | TTTTTTT | 58 | |
| (2) | 配列情 | 報 SEQ ID NO: 43: | | |
| | (i) | 配列の特性: | | 10 |
| | | (A) 配列の長さ: 12 | | |
| | | (B) 型: ヌクレオチド | | |
| | | (C) 鎖の数: 二本鎖 | | |
| | | (D) トポロジー: 不明 | | |
| | (ii) | 配列の種類: cDNA | | |
| | (xi) | 配列: SEQ ID NO: 43: | | |
| CCAA | TCGCGA (| CC | 12 | |
| (2) | 配列情報 | 報 SEQ ID NO: 44: | | |
| | (i) | 配列の特性: | | 20 |
| | | (A) 配列の長さ: 15 | | |
| | | (B) 型: ヌクレオチド | | |
| | | (C) 鎖の数: 二本鎖 | | |
| | | (D) トポロジー: 不明 | | |
| | (ii) | 配列の種類: cDNA | | |
| | (xi) | 配列: SEQ ID NO: 44: | | |
| GGTC | GCGATT G | GTAA | 15 | |
| (2) | 配列情報 | 報 SEQ ID NO: 45: | | |
| | (i) | 配列の特性: | | 30 |
| | | (A) 配列の長さ: 9 | | |
| | | (B) 型: アミノ酸 | | |
| | | (C) 鎖の数: 不明 | | |
| | | (D) トポロジー: 不明 | | |
| | | - 24 - | | |

10

20

30

【表1-25】

| | (ii) | 配列の種類: ペプチト | : |
|-----|---------|------------------------|-------|
| | (x i) | 配列: SEQ ID NO: 45: | |
| Gly | Ile Leu | Gly Phe Val Phe Thr Lo | eu |
| 1 | | 5 | |
| (2) | 配列情 | 報 SEQ ID NO: 46: | |
| | (i) | 配列の特性: | |
| | | (A) 配列の長さ: 9 | |
| | | (B) 型: アミノ酸 | |
| | | (C) 鎖の数: 不明 | |
| | | (D) トポロジー: 不同 | 月 |
| | (i i) | 配列の種類: ペプチド | |
| | (xi) | 配列: SEQ ID NO: 46: | |
| Lys | Thr Trp | Gly Gln Tyr Trp Gln Va | .l |
| 1 | | 5 | |
| (2) | 配列情 | 報 SEQ ID NO: 47: | |
| | (i) | 配列の特性: | |
| , | | (A) 配列の長さ: 10 | |
| | | (B) 型: アミノ酸 | |
| | | (C) 鎖の数: 不明 | |
| | | (D) トポロジー: 不明 | 月 |
| | (i i) | 配列の種類: ペプチド | |
| | (x i) | 配列: SEQ ID NO: 47: | |
| Lys | Thr Trp | Gly Gln Tyr Trp Gln Va | l Leu |
| 1 | | 5 | 10 |
| (2) | 配列情 | 報 SEQ ID NO: 48: | |

(i) 配列の特性:

(A) 配列の長さ: 9 (B) 型: アミノ酸 (C) 鎖の数: 不明

【表1-26】

| (D) トポロジー: 不明 |
|---|
| (ii) 配列の種類: ペプチド |
| (xi) 配列: SEQ ID NO: 48: |
| Ile Thr Asp Gln Val Pro Phe Ser Val |
| 1 5 |
| (2) 配列情報 SEQ ID NO: 49: |
| (i) 配列の特性: |
| (A) 配列の長さ: 10 |
| (B) 型: アミノ酸 |
| (C) 鎖の数: 不明 |
| (D) トポロジー: 不明 |
| (ii) 配列の種類: ペプチド |
| (xi) 配列: SEQ ID NO: 49: |
| Thr Ile Thr Asp Gln Val Pro Phe Ser Val |
| 1 5 10 |
| (2) 配列情報 SEQ ID NO: 50: |
| (i) 配列の特性: |
| (A) 配列の長さ: 9 |
| (B) 型: アミノ酸 |
| (C) 鎖の数: 不明 |
| (D) トポロジー: 不明 |
| (ii) 配列の種類: ペプチド |
| (xi) 配列: SEQ ID NO: 50: |
| Ala Leu Gly Ile Gly Ile Leu Thr Val |
| 1 5 |
| (2) 配列情報 SEQ ID NO: 51: |
| (i) 配列の特性: |
| (A) 配列の長さ: 9 |
| (B) 型: アミノ酸 |

- 26 -

10

20

【表1-27】

(C) 鎖の数: 不明

(D) トポロジー: 不明

- (ii) 配列の種類: ペプチド
- (xi) 配列: SEQ ID NO: 51:

Ala Met Gly Ile Gly Ile Leu Thr Val

1

(2) 配列情報 SEQ ID NO: 52:

(i) 配列の特性:

(A) 配列の長さ: 9

(B) 型: アミノ酸

(C) 鎖の数: 不明

(D) トポロジー: 不明

(ii) 配列の種類: ペプチド

(xi) 配列: SEQ ID NO: 52:

Ala Ile Gly Ile Gly Ile Leu Thr Val

1 5

(2) 配列情報 SEQ ID NO: 53:

(i) 配列の特性:

(A) 配列の長さ: 9

(B) 型: アミノ酸

(C) 鎖の数: 不明

(D) トポロジー: 不明

- (ii) 配列の種類: ペプチド
- (xi) 配列: SEQ ID NO: 53:

Trp Ala Gly Ile Gly Ile Leu Thr Val

1 5

(2) 配列情報 SEQ ID NO: 54:

(i) 配列の特性:

(A) 配列の長さ: 9

- 27 -

10

ı

20

【表1-28】

(B) 型: アミノ酸

(C) 鎖の数: 不明

(D) トポロジー: 不明

- (i i) 配列の種類: ペプチド
- (xi)配列: SEQ ID NO: 54:

Phe Ala Gly Ile Gly Ile Leu Thr Val

1

(2) 配列情報 SEQ ID NO: 55:

- 配列の特性:
 - (A) 配列の長さ: 9
 - (B) 型: アミノ酸
 - (C) 鎖の数: 不明
 - (D) トポロジー: 不明
- (ii) 配列の種類: ペプチド
- (xi) 配列: SEQ ID NO: 55:

Tyr Ala Gly Ile Gly Ile Leu Thr Val

1 5

(2) 配列情報 SEQ ID NO: 56:

- (i) 配列の特性:
 - (A) 配列の長さ: 9
 - (B) 型: アミノ酸
 - (C) 鎖の数: 不明
 - (D) トポロジー: 不明
- (ii) 配列の種類: ペプチド
- 配列: SEQ ID NO: 56:

Ala Ala Trp Ile Gly Ile Leu Thr Val 5

1

- (2) 配列情報 SEQ ID NO: 57:
 - (i) 配列の特性:

- 28 -

10

20

【表1-29】

(A) 配列の長さ: 9

(B) 型: アミノ酸

(C) 鎖の数: 不明

(D) トポロジー: 不明

(ii) 配列の種類: ペプチド

配列: SEQ ID NO: 57: (xi)

Ala Ala Phe Ile Gly Ile Leu Thr Val

1

(2) 配列情報 SEQ ID NO: 58:

(i) 配列の特性:

(A) 配列の長さ: 9

(B) 型: アミノ酸

(C) 鎖の数: 不明

(D) トポロジー: 不明

(ii) 配列の種類: ペプチド

(x i) 配列: SEQ ID NO: 58:

Ala Ala Tyr Ile Gly Ile Leu Thr Val

5 1

(2) 配列情報 SEQ ID NO: 59:

(i) 配列の特性:

(A) 配列の長さ: 9

(B) 型: アミノ酸

(C) 鎖の数: 不明

(D) トポロジー: 不明

(ii) 配列の種類: ペプチド

配列: SEQ ID NO: 59: (xi)

Lys Leu Gly Ile Gly Ile Leu Thr Val

1 5

(2) 配列情報 SEQ ID NO: 60:

10

20

【表1-30】

(A) 配列の長さ: 9

(B) 型: アミノ酸

(C) 鎖の数: 不明

(D) トポロジー: 不明

(ii) 配列の種類: ペプチド

(xi) 配列: SEQ ID NO: 60:

Lys Met Gly Ile Gly Ile Leu Thr Val

. 5

(2) 配列情報 SEQ ID NO: 61:

(i) 配列の特性:

(A) 配列の長さ: 9

(B) 型: アミノ酸

(C) 鎖の数: 不明

(D) トポロジー: 不明

配列の種類: ペプチド (i i)

(x i) 配列: SEQ ID NO: 61:

Lys Ile Gly Ile Gly Ile Leu Thr Val

1 5

(2) 配列情報 SEQ ID NO: 62:

配列の特性:

(A) 配列の長さ: 9

(B) 型: アミノ酸

(C) 鎖の数: 不明

(D) トポロジー: 不明

(i i) 配列の種類: ペプチド

(xi)配列: SEQ ID NO: 62:

Trp Leu Gly Ile Gly Ile Leu Thr Val

1

- 30 -

10

20

【表1-31】

- (2) 配列情報 SEQ ID NO: 63:
 - (i) 配列の特性:
 - (A) 配列の長さ: 9
 - (B) 型: アミノ酸
 - (C) 鎖の数: 不明
 - (D) トポロジー: 不明
 - (ii) 配列の種類: ペプチド
 - (xi) 配列: SEQ ID NO: 63:

Phe Leu Gly Ile Gly Ile Leu Thr Val

1 5

- (2) 配列情報 SEQ ID NO: 64:
 - (i) 配列の特性:
 - (A) 配列の長さ: 9
 - (B) 型: アミノ酸
 - (C) 鎖の数: 不明
 - (D) トポロジー: 不明
 - (ii) 配列の種類: ペプチド
 - (xi) 配列: SEQ ID NO: 64:

Tyr Leu Gly Ile Gly Ile Leu Thr Val

1 5

- (2) 配列情報 SEQ ID NO: 65:
 - (i) 配列の特性:
 - (A) 配列の長さ: 9
 - (B) 型: アミノ酸
 - (C) 鎖の数: 不明
 - (D) トポロジー: 不明
 - (ii) 配列の種類: ペプチド
 - (xi) 配列: SEQ ID NO: 65:

Ala Leu Trp Ile Gly Ile Leu Thr Val

- 31 -

10

. .

20

【表1-32】

- (2) 配列情報 SEQ ID NO: 66:
 - 配列の特性: (i)
 - (A) 配列の長さ: 9
 - (B) 型: アミノ酸
 - (C) 鎖の数: 不明
 - (D) トポロジー: 不明
 - 配列の種類: ペプチド (i i)
 - (xi)配列: SEQ ID NO: 66:

Ala Leu Phe Ile Gly Ile Leu Thr Val

1 5

- (2) 配列情報 SEQ ID NO: 67:
 - 配列の特性: (i)
 - (A) 配列の長さ: 9
 - (B) 型: アミノ酸
 - (C) 鎖の数: 不明
 - (D) トポロジー: 不明
 - (i i) 配列の種類: ペプチド
 - (xi) 配列: SEQ ID NO: 67:

Ala Leu Tyr Ile Gly Ile Leu Thr Val

1 5

- (2) 配列情報 SEQ ID NO: 68:
 - (i) 配列の特性:
 - (A) 配列の長さ: 9
 - (B) 型: アミノ酸
 - (C) 鎖の数: 不明
 - (D) トポロジー: 不明
 - (i i) 配列の種類: ペプチド
 - (xi)配列: SEQ ID NO: 68:

- 32 **-**

10

20

【表1-33】

Lys Leu Trp Gly Gln Tyr Trp Gln Val

1 5

- (2) 配列情報 SEQ ID NO: 69:
 - (i) 配列の特性:
 - (A) 配列の長さ: 9
 - (B) 型: アミノ酸
 - (C) 鎖の数: 不明
 - (D) トポロジー: 不明
 - (ii) 配列の種類: ペプチド
- (xi) 配列: SEQ ID NO: 69:

Lys Met Trp Gly Gln Tyr Trp Gln Val

1

- (2) 配列情報 SEQ ID NO: 70:
 - (i) 配列の特性:
 - (A) 配列の長さ: 9
 - (B) 型: アミノ酸
 - (C) 鎖の数: 不明
 - (D) トポロジー: 不明
 - (ii) 配列の種類: ペプチド
 - (xi) 配列: SEQ ID NO: 70:

Lys Ile Trp Gly Gln Tyr Trp Gln Val

1 5

- (2) 配列情報 SEQ ID NO: 71:
 - (i) 配列の特性:
 - (A) 配列の長さ: 9
 - (B) 型: アミノ酸
 - (C) 鎖の数: 不明
 - (D) トポロジー: 不明
 - (ii) 配列の種類: ペプチド

- 33 -

10

. .

20

【表1-34】

| | (x | i) | 配 | 列:: | SEQ | ID | N(|): | 71 | : | |
|-----|-----|-----|-----|-----|-----|----|----|----|----|-----|--|
| Trp | Thr | Trp | Gly | Gln | Tyr | Tı | p | G1 | n | Val | |
| 1 | | | | 5 | | | | | | | |

- (2) 配列情報 SEQ ID NO: 72:
 - (i) 配列の特性:
 - (A) 配列の長さ: 9
 - (B) 型: アミノ酸
 - (C) 鎖の数: 不明
 - (D) トポロジー: 不明
 - (ii) 配列の種類: ペプチド
 - (xi) 配列: SEQ ID NO: 72:

Phe Thr Trp Gly Gln Tyr Trp Gln Val

1 5

- (2) 配列情報 SEQ ID NO: 73:
 - (i) 配列の特性:
 - (A) 配列の長さ: 9
 - (B) 型: アミノ酸
 - (C) 鎖の数: 不明
 - (D) トポロジー: 不明
 - (ii) 配列の種類: ペプチド
 - (xi) 配列: SEQ ID NO: 73:

Tyr Thr Trp Gly Gln Tyr Trp Gln Val

- (2) 配列情報 SEQ ID NO: 74:
 - (i) 配列の特性:
 - (A) 配列の長さ: 9
 - (B) 型: アミノ酸
 - (C) 鎖の数: 不明
 - (D) トポロジー: 不明

20

10

【表1-35】

| (ii) | 配列の種類: | ペプチド |
|------|--------|------|
| | | |

(xi) 配列: SEQ ID NO: 74:

Ala Thr Trp Gly Gln Tyr Trp Gln Val

1 5

(2) 配列情報 SEQ ID NO: 75:

(i) 配列の特性:

(A) 配列の長さ: 9

(B) 型: アミノ酸

(C) 鎖の数: 不明

(D) トポロジー: 不明

(ii) 配列の種類: ペプチド

(xi) 配列: SEQ ID NO: 75:

Leu Thr Trp Gly Gln Tyr Trp Gln Val

1 5

(2) 配列情報 SEQ ID NO: 76:

(i) 配列の特性:

(A) 配列の長さ: 9

(B) 型: アミノ酸

(C) 鎖の数: 不明

(D) トポロジー: 不明

(ii) 配列の種類: ペプチド

(xi) 配列: SEQ ID NO: 76:

Lys Thr Tyr Gly Gln Tyr Trp Gln Val

1 5

(2) 配列情報 SEQ ID NO: 77:

(i) 配列の特性:

(A) 配列の長さ: 9

(B) 型: アミノ酸

(C) 鎖の数: 不明

- 35 -

10

. .

20

【表1-36】

| | (D) | トポロシ | > 一: | 不明 |
|-------|-----|------|----------------|----|
| (i i) | 配列(| の種類: | ペプ | チド |

(xi) 配列: SEQ ID NO: 77:

Lys Thr Phe Gly Gln Tyr Trp Gln Val

1 5

(2) 配列情報 SEQ ID NO: 78:

(i) 配列の特性:

(A) 配列の長さ: 9

(B) 型: アミノ酸

(C) 鎖の数: 不明

(D) トポロジー: 不明

(ii) 配列の種類: ペプチド

(xi) 配列: SEQ ID NO: 78:

Ala Leu Trp Gly Gln Tyr Trp Gln Val

1 5

(2) 配列情報 SEQ ID NO: 79:

(i) 配列の特性:

(A) 配列の長さ: 9

(B) 型: アミノ酸

(C) 鎖の数: 不明

(D) トポロジー: 不明

(ii) 配列の種類: ペプチド

(xi) 配列: SEQ ID NO: 79:

Leu Leu Trp Gly Gln Tyr Trp Gln Val

1

(2) 配列情報 SEQ ID NO: 80:

(i) 配列の特性:

(A) 配列の長さ: 9

(B) 型: アミノ酸

- 36 -

10

10

20

30

【表1-37】

(C) 鎖の数: 不明

(D) トポロジー: 不明

(ii) 配列の種類: ペプチド

(xi) 配列: SEQ ID NO: 80:

Trp Leu Trp Gly Gln Tyr Trp Gln Val

1

(2) 配列情報 SEQ ID NO: 81:

(i) 配列の特性:

(A) 配列の長さ: 9

(B) 型: アミノ酸

(C) 鎖の数: 不明

(D) トポロジー: 不明

(ii) 配列の種類: ペプチド

(xi) 配列: SEQ ID NO: 81:

Phe Leu Trp Gly Gln Tyr Trp Gln Val

1 5

(2) 配列情報 SEQ ID NO: 82:

(i) 配列の特性:

(A) 配列の長さ: 9

(B) 型: アミノ酸

(C) 鎖の数: 不明

(D) トポロジー: 不明

(ii) 配列の種類: ペプチド

(xi) 配列: SEQ ID NO: 82:

Tyr Leu Trp Gly Gln Tyr Trp Gln Val

1 5

(2) 配列情報 SEQ ID NO: 83:

(i) 配列の特性:

(A) 配列の長さ: 9

- 37 -

10

10

20

【表1-38】

(B) 型: アミノ酸

(C) 鎖の数: 不明

(D) トポロジー: 不明

- (ii) 配列の種類: ペプチド
- (x i) 配列: SEQ ID NO: 83:

Ile Leu Asp Gln Val Pro Phe Ser Val

5 1

(2) 配列情報 SEQ ID NO: 84:

(i) 配列の特性:

(A) 配列の長さ: 9

(B) 型: アミノ酸

(C) 鎖の数: 不明

(D) トポロジー: 不明

(ii) 配列の種類: ペプチド

(xi) 配列: SEQ ID NO: 84:

Ile Met Asp Gln Val Pro Phe Ser Val

5 1

(2) 配列情報 SEQ ID NO: 85:

(i) 配列の特性:

(A) 配列の長さ: 9

(B) 型: アミノ酸

(C) 鎖の数: 不明

(D) トポロジー: 不明

(ii) 配列の種類: ペプチド

(xi) 配列: SEQ ID NO: 85:

Ile Ile Asp Gln Val Pro Phe Ser Val

1

(2) 配列情報 SEQ ID NO: 86:

(i) 配列の特性:

- 38 -

10

20

【表1-39】

(A) 配列の長さ: 9

(B) 型: アミノ酸

(C) 鎖の数: 不明

(D) トポロジー: 不明

(i i) 配列の種類: ペプチド

(x i) 配列: SEQ ID NO: 86:

Phe Thr Asp Gln Val Pro Phe Ser Val

1 5

(2) 配列情報 SEQ ID NO: 87:

配列の特性: (i)

(A) 配列の長さ: 9

(B) 型: アミノ酸

(C) 鎖の数: 不明

(D) トポロジー: 不明

配列の種類: ペプチド (i i)

配列: SEQ ID NO: 87: (xi)

Trp Thr Asp Gln Val Pro Phe Ser Val

1 5

(2) 配列情報 SEQ ID NO: 88:

(i) 配列の特性:

(A) 配列の長さ: 9

(B) 型: アミノ酸

(C) 鎖の数: 不明

(D) トポロジー: 不明

(ii) 配列の種類: ペプチド

(xi) 配列: SEQ ID NO: 88:

Tyr Thr Asp Gln Val Pro Phe Ser Val

5 1

(2) 配列情報 SEQ ID NO: 89:

10

20

30

- 39 -

【表1-40】

| (i) | 配列の特性: |
|-----|-------------|
| (1) | 自じタリレノポポイモ: |

(A) 配列の長さ: 9

(B) 型: アミノ酸

(C) 鎖の数: 不明

(D) トポロジー: 不明

(ii) 配列の種類: ペプチド

(xi) 配列: SEQ ID NO: 89:

Ile Thr Trp Gln Val Pro Phe Ser Val

1

(2) 配列情報 SEQ ID NO: 90:

(i) 配列の特性:

(A) 配列の長さ: 9

(B) 型: アミノ酸

(C) 鎖の数: 不明

(D) トポロジー: 不明

(ii) 配列の種類: ペプチド

(xi) 配列: SEQ ID NO: 90:

Ile Thr Phe Gln Val Pro Phe Ser Val

1 5

(2) 配列情報 SEQ ID NO: 91:

(i) 配列の特性:

(A) 配列の長さ: 9

(B) 型: アミノ酸

(C) 鎖の数: 不明

(D) トポロジー: 不明

(ii) 配列の種類: ペプチド

(xi) 配列: SEQ ID NO: 91:

Ile Thr Tyr Gln Val Pro Phe Ser Val

5

- 40 -

10

20

【表1-41】

| (2) | 配列情報 | SEQ | ID | NO: | 92: |
|-----|------|-----|----|-----|-----|
| | | | | | |

- (i) 配列の特性:
 - (A) 配列の長さ: 9
 - (B) 型: アミノ酸
 - (C) 鎖の数: 不明
 - (D) トポロジー: 不明
- (ii) 配列の種類: ペプチド
- (xi) 配列: SEQ ID NO: 92:

Ile Thr Ala Gln Val Pro Phe Ser Val

1

- (2) 配列情報 SEQ ID NO: 93:
 - (i) 配列の特性:
 - (A) 配列の長さ: 9
 - (B) 型: アミノ酸
 - (C) 鎖の数: 不明
 - (D) トポロジー: 不明
 - (ii) 配列の種類: ペプチド
 - (xi) 配列: SEQ ID NO: 93:

Ile Thr Met Gln Val Pro Phe Ser Val

1 5

- (2) 配列情報 SEQ ID NO: 94:
 - (i) 配列の特性:
 - (A) 配列の長さ: 9
 - (B) 型: アミノ酸
 - (C) 鎖の数: 不明
 - (D) トポロジー: 不明
 - (ii) 配列の種類: ペプチド
 - (xi) 配列: SEQ ID NO: 94:

Ile Thr Ser Gln Val Pro Phe Ser Val

- 41 -

10

20

【表1-42】

1 5

(2) 配列情報 SEQ ID NO: 95:

(i) 配列の特性:

(A) 配列の長さ: 9

(B) 型: アミノ酸

(C) 鎖の数: 不明

(D) トポロジー: 不明

(ii) 配列の種類: ペプチド

(xi) 配列: SEQ ID NO: 95:

Ile Leu Trp Gln Val Pro Phe Ser Val

1 5

(2) 配列情報 SEQ ID NO: 96:

(i) 配列の特性:

(A) 配列の長さ: 9

(B) 型: アミノ酸

(C) 鎖の数: 不明

(D) トポロジー: 不明

(ii) 配列の種類: ペプチド

(xi) 配列: SEQ ID NO: 96:

Ile Leu Phe Gln Val Pro Phe Ser Val

1 5

(2) 配列情報 SEQ ID NO: 97:

(i) 配列の特性:

(A) 配列の長さ: 9

(B) 型: アミノ酸

(C) 鎖の数: 不明

(D) トポロジー: 不明

(ii) 配列の種類: ペプチド

(xi) 配列: SEQ ID NO: 97:

- 42 -

10

I

20

【表1-43】

Ile Leu Tyr Gln Val Pro Phe Ser Val

(2) 配列情報 SEQ ID NO: 98:

(i) 配列の特性:

(A) 配列の長さ: 9

(B) 型: アミノ酸

(C) 鎖の数: 不明

(D) トポロジー: 不明

(ii) 配列の種類: ペプチド

(xi) 配列: SEQ ID NO: 98:

Ile Leu Ala Gln Val Pro Phe Ser Val

1 5

(2) 配列情報 SEQ ID NO: 99:

(i) 配列の特性:

(A) 配列の長さ: 9

(B) 型: アミノ酸

(C) 鎖の数: 不明

(D) トポロジー: 不明

(ii) 配列の種類: ペプチド

(xi) 配列: SEQ ID NO: 99:

Ile Leu Met Gln Val Pro Phe Ser Val

1 5

(2) 配列情報 SEQ ID NO: 100:

(i) 配列の特性:

(A) 配列の長さ: 9

(B) 型: アミノ酸

(C) 鎖の数: 不明

(D) トポロジー: 不明

(ii) 配列の種類: ペプチド

- 43 -

10

. •

20

【表1-44】

(xi) 配列: SEQ ID NO: 100:

Ile Leu Ser Gln Val Pro Phe Ser Val

1 5

- (2) 配列情報 SEQ ID NO: 101:
 - (i) 配列の特性:
 - (A) 配列の長さ: 9
 - (B) 型: アミノ酸
 - (C) 鎖の数: 不明
 - (D) トポロジー: 不明
 - (ii) 配列の種類: ペプチド
 - (xi) 配列: SEQ ID NO: 101:

Trp Leu Asp Gln Val Pro Phe Ser Val

1

- (2) 配列情報 SEQ ID NO: 102:
 - (i) 配列の特性:
 - (A) 配列の長さ: 9
 - (B) 型: アミノ酸
 - (C) 鎖の数: 不明
 - (D) トポロジー: 不明
 - (ii) 配列の種類: ペプチド
 - (xi) 配列: SEQ ID NO: 102:

Phe Leu Asp Gln Val Pro Phe Ser Val

1

- (2) 配列情報 SEQ ID NO: 103:
 - (i) 配列の特性:
 - (A) 配列の長さ: 9
 - (B) 型: アミノ酸
 - (C) 鎖の数: 不明
 - (D) トポロジー: 不明

- 44 -

10

. .

20

【表1-45】

| (ii) | 配列の種類: | ペプチド |
|------|--------|------|
| | | |

(xi) 配列: SEQ ID NO: 103:

Tyr Leu Asp Gln Val Pro Phe Ser Val

1 5

(2) 配列情報 SEQ ID NO: 104:

(i) 配列の特性:

(A) 配列の長さ: 9

(B) 型: アミノ酸

(C) 鎖の数: 不明

(D) トポロジー: 不明

(ii) 配列の種類: ペプチド

(xi) 配列: SEQ ID NO: 104:

Tyr Leu Glu Pro Gly Pro Val Thr Val

1 5

(2) 配列情報 SEQ ID NO: 105:

(i) 配列の特性:

(A) 配列の長さ: 9

(B) 型: アミノ酸

(C) 鎖の数: 不明

(D) トポロジー: 不明

(ii) 配列の種類: ペプチド

(xi) 配列: SEQ ID NO: 105:

Tyr Leu Glu Pro Gly Pro Val Thr Leu

1 5

(2) 配列情報 SEQ ID NO: 106:

(i) 配列の特性:

(A) 配列の長さ: 9

(B) 型: アミノ酸

(C) 鎖の数: 不明

- 45 -

10

20

【表1-46】

| (D) | トポロジー: | 不明 |
|-----|--------|----|
|-----|--------|----|

- (ii) 配列の種類: ペプチド
- (xi) 配列: SEQ ID NO: 106:

Tyr Leu Glu Pro Gly Pro Val Thr Ile

1 5

(2) 配列情報 SEQ ID NO: 107:

(i) 配列の特性:

(A) 配列の長さ: 9

(B) 型: アミノ酸

(C) 鎖の数: 不明

(D) トポロジー: 不明

(ii) 配列の種類: ペプチド

(xi) 配列: SEQ ID NO: 107:

Phe Leu Glu Pro Gly Pro Val Thr Ala

1 5

(2) 配列情報 SEQ ID NO: 108:

(i) 配列の特性:

(A) 配列の長さ: 9

(B) 型: アミノ酸

(C) 鎖の数: 不明

(D) トポロジー: 不明

(ii) 配列の種類: ペプチド

(xi) 配列: SEQ ID NO: 108:

Trp Leu Glu Pro Gly Pro Val Thr Ala

1 5

(2) 配列情報 SEQ ID NO: 109:

(i) 配列の特性:

(A) 配列の長さ: 9

(B) 型: アミノ酸

- 46 -

10

. .

20

30

【表1-47】

(C) 鎖の数: 不明

(D) トポロジー: 不明

- (ii) 配列の種類: ペプチド
- (xi) 配列: SEQ ID NO: 109:

Tyr Leu Tyr Pro Gly Pro Val Thr Ala

1 5

(2) 配列情報 SEQ ID NO: 110:

(i) 配列の特性:

(A) 配列の長さ: 9

(B) 型: アミノ酸

(C) 鎖の数: 不明

(D) トポロジー: 不明

(ii) 配列の種類: ペプチド

(xi) 配列: SEQ ID NO: 110:

Tyr Leu Trp Pro Gly Pro Val Thr Ala

1 5

(2) 配列情報 SEQ ID NO: 111:

(i) 配列の特性:

(A) 配列の長さ: 9

(B) 型: アミノ酸

(C) 鎖の数: 不明

(D) トポロジー: 不明

(ii) 配列の種類: ペプチド

(xi) 配列: SEQ ID NO: 111:

Tyr Leu Phe Pro Gly Pro Val Thr Ala

1

(2) 配列情報 SEQ ID NO: 112:

(i) 配列の特性:

(A) 配列の長さ: 9

- 47 -

10

. .

20

【表1-48】

(B) 型: アミノ酸

(C) 鎖の数: 不明

(D) トポロジー: 不明

- 配列の種類: ペプチド (i i)
- (xi)配列: SEQ ID NO: 112:

Tyr Leu Met Pro Gly Pro Val Thr Ala

1 5

(2) 配列情報 SEQ ID NO: 113:

(i) 配列の特性:

(A) 配列の長さ: 9

(B) 型: アミノ酸

(C) 鎖の数: 不明

(D) トポロジー: 不明

(i i) 配列の種類: ペプチド

(x i) 配列: SEQ ID NO: 113:

Tyr Leu Ser Pro Gly Pro Val Thr Ala

1 5

(2) 配列情報 SEQ ID NO: 114:

(i) 配列の特性:

(A) 配列の長さ: 9

(B) 型: アミノ酸

(C) 鎖の数: 不明

(D) トポロジー: 不明

(i i) 配列の種類: ペプチド

配列: SEQ ID NO: 114:

Tyr Leu Ala Pro Gly Pro Val Thr Ala

1 5

(2) 配列情報 SEQ ID NO: 115:

(i) 配列の特性:

- 48 -

10

20

【表1-49】

(A) 配列の長さ: 9

(B) 型: アミノ酸

(C) 鎖の数: 不明

(D) トポロジー: 不明

配列の種類: ペプチド (i i)

(xi) 配列: SEQ ID NO: 115:

Tyr Leu Met Pro Gly Pro Val Thr Val

5

(2) 配列情報 SEQ ID NO: 116:

(i) 配列の特性:

(A) 配列の長さ: 9

(B) 型: アミノ酸

(C) 鎖の数: 不明

(D) トポロジー: 不明

配列の種類: ペプチド (i i)

配列: SEQ ID NO: 116: (xi)

Tyr Leu Ser Pro Gly Pro Val Thr Val

5

(2) 配列情報 SEQ ID NO: 117:

(i) 配列の特性:

(A) 配列の長さ: 9

(B) 型: アミノ酸

(C) 鎖の数: 不明

(D) トポロジー: 不明

(i i) 配列の種類: ペプチド

(x i) 配列: SEQ ID NO: 117:

Tyr Leu Ala Pro Gly Pro Val Thr Val

(2) 配列情報 SEQ ID NO: 118:

10

20

【表1-50】

(A) 配列の長さ: 9

(B) 型: アミノ酸

(C) 鎖の数: 不明

(D) トポロジー: 不明

配列の種類: ペプチド (i i)

(xi) 配列: SEQ ID NO: 118:

Tyr Leu Tyr Pro Gly Pro Val Thr Val

(2) 配列情報 SEQ ID NO: 119:

(i) 配列の特性:

(A) 配列の長さ: 9

(B) 型: アミノ酸

(C) 鎖の数: 不明

(D) トポロジー: 不明

配列の種類: ペプチド (i i)

(xi) 配列: SEQ ID NO: 119:

Tyr Leu Phe Pro Gly Pro Val Thr Val

1 5

(2) 配列情報 SEQ ID NO: 120:

(i) 配列の特性:

(A) 配列の長さ: 9

(B) 型: アミノ酸

(C) 鎖の数: 不明

(D) トポロジー: 不明

(i i) 配列の種類: ペプチド

配列: SEQ ID NO: 120: (xi)

Tyr Leu Trp Pro Gly Pro Val Thr Val

- 50 -

10

20

【表1-51】

| (2) | 配 | 列情 | 報 SE | EQ I | D NO | : 12 | 1: | | | | |
|--------------|------------------|-------|-------------|------|-------|-------|------|------|-------|-------|------|
| | (i) |) | 配 | 列の | 特性 | : | | | | | |
| | | | (A) | 酉 | 己列の | ら長 | ž: | 661 | | | |
| | | | (B) | 西 | ŭ: ` | アミ | ノ酸 | | | | |
| | | | (C) | 鎖 | 貨の数 | ζ: : | 不明 | | | | |
| | | | (D) | 1 | ・ポロ | ュジー | -: : | 不明 | | | |
| | (i | i) | 配列 | | 種類 | | | | | | |
| | (х | | | | SEQ 1 | | | | | | |
| Met | | | | | Lys | | | | Leu | His | Leu |
| 1 | • | | | 5 | | J | - | | 10 | | |
| | Val | Ile | Glv | | Leu | Leu | Ala | Val | | Ala | Thr |
| | | 15 | | | | | 20 | | | | |
| Lvs | Val | | Arg | Asn | Gln | Asp | | Len | Glv | Va1 | Ser |
| 25 | | | 3 | | 30 | | | | , | 35 | |
| | Gln | J.e11 | Arø | Thr | Lys | Ala | Trn | Asn | Arø | | |
| 111 6 | 0111 | Dou | 40 | 1111 | 2,5 | 111 U | тър | 45 | 5 | 5111 | Lou |
| Tur | Pro | Gla | | Thr | Glu | Ala | Gln | | Ĭ.e11 | Asn | Cvs |
| 1 7 1 | 50 | JIU | чтр | *111 | oru | 55 | 3111 | | БСИ | 115 P | 60 |
| Trn | | Clv | Clv | Clr | Val | | Len | Tue | Val | Spr | |
| 111 | ni g | gry | GIÀ | 65 | | กตา | rea | пуз | 70 | DEI | USII |
| Aon | C1 ₂₂ | Dro | Thr | | Ile | Clv | Alo | Acr | | Sor | Dhe |
| nsp | GIY | 75 | 1111 | r£q | 116 | gry | 80 | นอน | VIG | กะเ | 1116 |
| ۲ ۰ - | 114 | | Lou | Aan | Dha | Dro | | Sor | Clr | Ĭ 170 | Vo 1 |
| | 116 | n I d | ren | usil | Phe | LIU | all | กุ | UIII | 95 | 141 |
| 85 | 70 | 4 | 0 1- | 01. | 90 | т1. | m | 17-1 | ٨ | | T1 |
| Leu | Pro | Asp | | GIn | Val | 11e | Trp | | Asn | Asn | Inr |
| | | | 100 | _ | | | _ | 105 | 01 | 0.1 | |
| He | | Asn | Gly | Ser | Gln | | Trp | Gly | Gly | Gln | |
| | 110 | | | | | 115 | | | | | 120 |
| Val | Tyr | Pro | Gln | Glu | Thr | Asp | Asp | Ala | Cys | Ile | Phe |
| | | | | | | | | | _ 9 | 51 - | |

【表1-52】

| | | | | 125 | | | | | 130 | | |
|-----|-----|-----|-----|-----|-----|-----|-----|-----|-----|------|-----|
| Pro | Asp | Gly | Gly | Pro | Cys | Pro | Ser | Gly | Ser | Trp | Ser |
| | | 135 | | | | | 140 | | | | |
| Gln | Lys | Arg | Ser | Phe | Val | Tyr | Val | Trp | Lys | Thr | Trp |
| 145 | | | | | 150 | | | | | 155 | |
| Gly | Gln | Tyr | Trp | Gln | Val | Leu | Gly | Gly | Pro | Val | Ser |
| | | | 160 | | | | | 165 | | | |
| Gly | Leu | Ser | Ile | Gly | Thr | Gly | Arg | Ala | Met | Leu | Gly |
| | 170 | | | | | 175 | | | | | 180 |
| Thr | His | Thr | Met | Glu | Val | Thr | Val | Tyr | His | Arg | Arg |
| | | | | 185 | | | | | 190 | | |
| Gly | Ser | Arg | Ser | Tyr | Val | Pro | Leu | Ala | His | Ser | Ser |
| | | 195 | | | | | 200 | | | | |
| Ser | Ala | Phe | Thr | Ile | Thr | Asp | Gln | Val | Pro | Phe | Ser |
| 205 | | | | | 210 | | | | | 215 | |
| Val | Ser | Val | Ser | Gln | Leu | Arg | Ala | Leu | Asp | Gly | Gly |
| | | | 220 | | | | | 225 | | | |
| Asn | Lys | His | Phe | Leu | Arg | Asn | Gln | Pro | Leu | Thr | Phe |
| | 230 | | | | | 235 | | | | | 240 |
| Ala | Leu | Gln | Leu | His | Asp | Pro | Ser | Gly | Tyr | Leu | Ala |
| | | | | 245 | | | | | 250 | | |
| Glu | Ala | Asp | Leu | Ser | Tyr | Thr | Trp | Asp | Phe | Gly | Asp |
| | | 255 | | | | | 260 | | | | |
| Ser | Ser | Gly | Thr | Leu | Ile | Ser | Arg | Ala | Leu | Val | Val |
| 260 | | | | | 265 | | | • | | 270 | |
| Thr | His | Thr | Tyr | Leu | Glu | Pro | Gly | Pro | Val | Thr | Ala |
| | | | 275 | | | | | 280 | | | |
| Gln | Val | Val | Leu | Gln | Ala | Ala | Ile | Pro | Leu | Thr | Ser |
| | 285 | | | | 2 | 290 | | | | | 295 |
| | | | | | | | | | - 5 | 52 - | |

20

30

【表1-53】

| Cys | Gly | Ser | Ser | Pro | Val | Pro | Gly | Thr | Thr | Asp | Gly |
|------|------|-------|------|------|------------|------|-------|--------------|--------------|------------|-------|
| | | | | 300 | | | | | 305 | | |
| His | Arg | Pro | Thr | Ala | Glu | Ala | Pro | Asn | Thr | Thr | Ala |
| | | 310 | | | | | 315 | | | | |
| Gly | Gln | Val | Pro | Thr | Thr | Glu | Val | Val | Gly | Thr | Thr |
| 320 | | | | | 325 | | | | | 330 | |
| Pro | Gly | Gln | Ala | Pro | Thr | Ala | Glu | Pro | Ser | Gly | Thr |
| | | | 335 | | | | | 340 | | | |
| Thr | Ser | Val | Gln | Val | Pro | Thr | Thr | Glu | Val | He | Ser |
| | 345 | | | | | 350 | | | | | 355 |
| Thr | Ala | Pro | Val | | Met | Pro | Thr | Ala | Glu | Ser | Thr |
| | | | | 360 | | ¥ | | | 365 | | |
| Gly | Met | | Pro | Glu | Lys | Val | | Val | Ser | Glu | Val |
| | | 370 | | | | | 375 | | | | |
| | Gly | Thr | Thr | Leu | | Glu | Met | Ser | Thr | | Glu |
| 380 | | | | | 385 | | | | | 390 | |
| Ala | Thr | Gly | | Thr | Pro | Ala | Glu | | Ser | He | Val |
| ** * | | | 395 | m1 | mı | | | 400 | , , , | mı | mı. |
| Val | Leu | Ser | Gly | Thr | Thr | | Ala | Gln | Val | Thr | |
| mt | 405 | Tr | We I | C1 | ጥኒ | 410 | A 1 - | A a - | C1 | Lee | 415 |
| ınr | Glu | ırp | vai | | ınr | ınr | Ala | arg | | ьeu | 011 |
| He | Duc | Clar | Duc | 420 | Clv. | Drc | Aan | 416 | 425 | Co- | Ilc |
| 116 | Pro | | 011 | GIU | σlÿ | 110 | | AIA | ser | ser | 116 |
| Ma+ | Sor | 430 | Clu | Sor | ΙΙο | Th. | 435 | Sor | Lou | Clv | Dro |
| | Ser | TIII | GIU | SEL | | 1111 | GIY | Sel | ren | 450 | T 1 0 |
| 440 | Lou | Acn | Clv | Thr | 445 41a | Thr | ترم آ | Δrσ | Len | | Ive |
| ren | Leu | vah | 455 | 1111 | VIG | 1111 | ren | 460 | ren | fal | гуз |
| Δrσ | Gln | V a 1 | | Len | Aen | Cve | Vel | | Tur | Ara | Tur |
| uig | GIII | 141 | 110 | ₽cπ | лэр | ∪y3 | 191 | Leu | | лів 3 - | 7 3 1 |
| | | | | | | | | | - : | | |

20

30

【表1-54】

| | 465 | | | | | 470 | l | | | | 475 |
|------|-------|-------|------|------|------|------|------|-----|-------|-------|------|
| Gly | Ser | Phe | Ser | Val | Thr | Leu | Asp | Ile | Val | Gln | Gly |
| | | | | 480 | | | | | 490 | | |
| Ile | Glu | Ser | Ala | Glu | Ile | Leu | Gln | Ala | Val | Pro | Ser |
| | | 495 | | | | | 500 | | | | |
| Gly | Glu | Gly | Asp | Ala | Phe | Glu | Leu | Thr | Val | Ser | Cys |
| 505 | | | | | 510 | | | | | 515 | |
| Gln | Gly | Gly | Leu | Pro | Lys | Glu | Ala | Cys | Met | | |
| | | | 520 | | | | | 525 | | | |
| Ser | Ser | Pro | Gly | Cys | Gln | Pro | Pro | | Gln | Arg | Leu |
| | 530 | | · | • • | | 535 | | | | 0 | 540 |
| Cvs | | Pro | Val | Len | Pro | | Pro | Ala | Cvs | Gln | |
| -,,, | | | | 545 | | | -10 | | 550 | ~ 111 | 204 |
| Val | Len | His | Gln | | Len | Į,vs | Gly | Glv | | Glv | Thr |
| 141 | Dea | 555 | 3111 | 110 | Lou | 213 | 560 | JIY | 501 | ury | 1111 |
| Тът+ | Cve | | Acr | Va 1 | Sor | Lon | | Aon | Th = | Aan | Sor |
| 565 | Uys | rcn | nsii | rdl | | red | Ala | ush | 1111 | | Ser |
| | A 1 a | Ve I | Ve 1 | C. ~ | 570 | CIZ | Lan | Ţ1. | M = 4 | 575 | |
| red | Ala | v a i | | ser | 1111 | GIN | Leu | | мет | PT0 | GIÄ |
| 0.1 | 01 | | 580 | · | 01 | | ** * | 585 | | | |
| Gln | | Ala | Gly | Leu | Gly | | Val | Pro | Leu | He | |
| | 590 | _ | | | | 595 | | | | | 600 |
| Gly | Ile | Leu | Leu | | Leu | Met | Ala | Val | | Leu | Ala |
| | | | | 605 | | | | | 610 | | |
| Ser | Leu | | Tyr | Arg | Arg | Arg | Leu | Met | Lys | Gln | Asp |
| | | 615 | | | | | 620 | | | | |
| Phe | Ser | Val | Pro | Gln | Leu | Pro | His | Ser | Ser | Ser | His |
| 625 | | | | | 630 | | | | | 635 | |
| Trp | Leu | Arg | Leu | Pro | Arg | Ile | Phe | Cys | Ser | Cys | Pro |
| | | | 640 | | | | | 645 | | | |
| | | | | | | | | | - 5 | i4 – | |

20

30

【表1-55】

Ile Gly Glu Asn Ser Pro Leu Leu Ser Gly Gln Gln 650 655 660 Val (2) 配列情報 SEQ ID NO: 122: (i) 配列の特性: (A) 配列の長さ: 9 (B) 型: アミノ酸 (C) 鎖の数: 不明 (D) トポロジー: 不明 (i i) 配列の種類: ペプチド (x i) 配列: SEQ ID NO: 122: Xaa Xaa Xaa Ile Gly Ile Leu Thr Xaa 1 5 (2) 配列情報 SEQ ID NO: 123: (i) 配列の特性: (A) 配列の長さ: 9 (B) 型: アミノ酸 (C) 鎖の数: 不明 (D) トポロジー: 不明 (i i) 配列の種類: ペプチド (x i) 配列: SEQ ID NO: 123: Xaa Xaa Xaa Gly Gln Tyr Trp Gln Xaa 1 5

(2) 配列情報 SEQ ID NO: 124:

(i)

配列の特性: (A) 配列の長さ: 9

(B) 型: アミノ酸

(C) 鎖の数: 不明

(D) トポロジー: 不明

【表1-56】

(ii) 配列の種類: ペプチド

(xi) 配列: SEQ ID NO: 124:

Xaa Xaa Xaa Gln Val Pro Phe Ser Xaa

(2) 配列情報 SEQ ID NO: 125:

(i) 配列の特性:

(A) 配列の長さ: 9

(B) 型: アミノ酸

(C) 鎖の数: 不明

(D) トポロジー: 不明

(ii) 配列の種類: ペプチド

(x i) 配列: SEQ ID NO: 125:

Xaa Xaa Xaa Pro Gly Pro Val Thr Xaa

1 5

(2) 配列情報 SEQ ID NO: 126:

配列の特性:

(A) 配列の長さ: 10

(B) 型: アミノ酸

(C) 鎖の数: 不明

(D) トポロジー: 不明

(i i) 配列の種類: ペプチド

(xi)配列: SEQ ID NO: 126:

Phe Leu Pro Ser Asp Tyr Phe Pro Ser Val

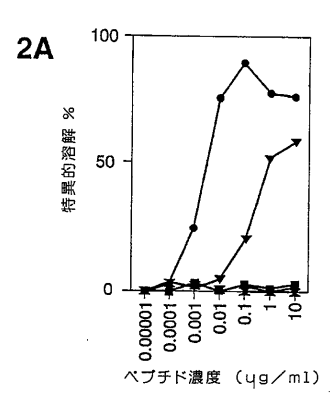
1 5 10

20

【図1】

| 59 2 | TGTCCTGTGCCCTGACCCTACAAGATGCCA MetPro | AGCAGACAGAGGACTCTCATTAAGGAAGG | . 1 |
|------------------------------|--|--|------------------------------|
| 119 22 | ${\tt CCCAAGAAGGGGCACGGCCACTCTTACACC}\\ {\tt ProLysLysGlyHisGlyHisSerTyrThr}$ | | 60 3 |
| 179 42 | $\begin{array}{l} \texttt{CTGACAGTGATCCTGGGAGTCTTACTGCTC} \\ \underline{\texttt{LeuThrValIleLeuGlyValLeuLeuLeu}} \end{array}$ | | 120 23 |
| 239 62 | GGATACAGAGCCTTGATGGATAAAAGTCTT GlyTyrArgAlaLeuMetAspLysSerLeu | | 180 43 |
| 299 82 | AGATGCCCACAAGAAGGGTTTGATCATCGG ArgCysProGlnGluGlyPheAspHisArg | | 240 63 |
| 359 102 | $TGTGAACCTGTGGTTCCCAATGCTCCACCT\\ CysGluProValValProAsnAlaProPro\\$ | | 300 83 |
| 419 | $\begin{array}{l} \texttt{CCACCACCTTATTCACCTTAAGAGCCAGCG} \\ \texttt{ProProTyrSerPro} \end{array}$ | | 360 103 |
| 479 | $\tt CTCACACTTTTGCTTGAATTTAATACAGAC$ | AGACACCTGAGACATGCTGAAATTATTTCT | 420 |
| 539 599 659 719 | AAAAATGCAAGCCATCTCTAATAATAAGTC GTACTAATCATGTGAGGAAATGATGAGAAA GTTGCAATGCATGATACTATCTGTGCCAGA TCTGAGAGACAGAATTCAAGTGGGTATTCT | AGTGTTAAAATTTTAGTAGGTCCGCTAGCA TATTAAATTGGGAAAACTCCATCAATAAAT | 480 540 600 660 |
| 779 839 899 959 | TTGGCTAATAACAAACTAGTCAGGTTTTCG TTGTTCCAGTACTATGGAGTGCTCACAAAG ACTGGCCTATTTATCTGATCAAGAACATGT ATTATACTACAATAATATATTGTAAAGATC | AACCTTGACCGACATGAACTGTACACAGAA GATACTTTTACAGGTTAAGACAAAGGGTTG | 720 780 840 |
| 1019 1079 1139 | CGCTTTTGTTGCCCAGGCTGGAGTGCAATG TCCCAGGTTCAAGCAATTCTCCTGCCTTAG GCCACTATGCCTGACTAATTTTGTAGTTTT | CTATAGCTCTTTTTTTTTGAGATGGAGTTT CGCGCGATCTTGGCTCACCATAACCTCCGCC | 900 960 1020 1080 |
| 1199 1259 1319 | GGCTGGTCTCAAACTCCTGACCTCAGGTGA AATTACAGGCGTGAGCCACCACGCCTGGCT GCAGTCTAATTACATTTCACTTCAAGGCTC | AGTAGAGACGGGGTTTCTCCATGTTGGTCA TCTGCCCGCCTCAGCCTCCCAAAGTGCTGG GGATCCTATATCTTAGGTAAGACATATAAC | 1140 1200 1260 |
| 1379 1439 1499 1559 | CTACTAAACCAGAAATTGGTAGAAGGATTT AGTGCTGATGCCTGTGTACTGCCTTAAATG CCAAATCCCTCTCACAAGAATGTGCAGAAG AAAAAAAAAA | AAATAAGTAAAAGCTACTATGTACTGCCTT TACCTATGGCAATTTAGCTCTCTTGGGTTC | 1320 1380 1440 1500 |
| | | | |

【図2】



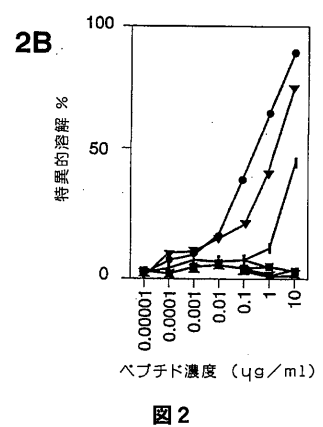
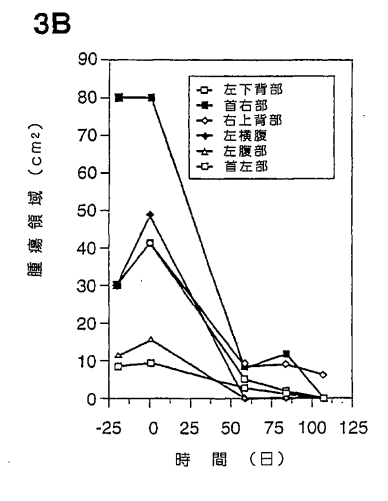


図 1

【図3】

3A





【図4】

| 1160 | 1200 | 1320 | 1320 | 1320 | 1400 | 1440 | 1440 | 1400 | 1600 | 1600 | 1600 | 1600 | 1600 | 1600 | 1600 | 1600 | 1600 | 1600 | 1600 | 1600 | 1600 | 1600 | 1600 | 1600 | 1600 | 1600 | 1600 | 1600 | 1600 | 1600 | 1600 | 1600 | 1600 | 1600 | 1600 | 1600 | 1600 | 1600 | 1600 | 1600 | 1600 | 1600 | 1600 | 1600 | 1600 | 1600 | 1600 | 1600 | 1600 | 1600 | 1600 | 1600 | 1600 | 1600 | 1600 | 1600 | 1600 | 1600 | 1600 | 1600 | 1600 | 1600 | 1600 | 1600 | 1600 | 1600 | 1600 | 1600 | 1600 | 1600 | 1600 | 1600 | 1600 | 1600 | 1600 | 1600 | 1600 | 1600 | 1600 | 1600 | 1600 | 1600 | 1600 | 1600 | 1600 | 1600 | 1600 | 1600 | 1600 | 1600 | 1600 | 1600 | 1600 | 1600 | 1600 | 1600 | 1600 | 1600 | 1600 | 1600 | 1600 | 1600 | 1600 | 1600 | 1600 | 1600 | 1600 | 1600 | 1600 | 1600 | 1600 | 1600 | 1600 | 1600 | 1600 | 1600 | 1600 | 1600 | 1600 | 1600 | 1600 | 1600 | 1600 | 1600 | 1600 | 1600 | 1600 | 1600 | 1600 | 1600 | 1600 | 1600 | 1600 | 1600 | 1600 | 1600 | 1600 | 1600 | 1600 | 1600 | 1600 | 1600 | 1600 | 1600 | 1600 | 1600 | 1600 | 1600 | 1600 | 1600 | 1600 | 1600 | 1600 | 1600 | 1600 | 1600 | 1600 | 1600 | 1600 | 1600 | 1600 | 1600 | 1600 | 1600 | 1600 | 1600 | 1600 | 1600 | 1600 | 1600 | 1600 | 1600 | 1600 | 1600 | 1600 | 1600 | 1600 | 1600 | 1600 | 1600 | 1600 | 1600 | 1600 | 1600 | 1600 | 1600 | 1600 | 1600 | 1600 | 1600 | 1600 | 1600 | 1600 | 1600 | 1600 | 1600 | 1600 | 1600 | 1600 | 1600 | 1600 | 1600 | 1600 | 1600 | 1600 | 1600 | 1600 | 1600 | 1600 | 1600 | 1600 | 1600 | 1600 | 1600 | 1600 | 1600 | 1600 | 1600 | 1600 | 1600 | 1600 | 1600 | 1600 | 1600 | 1600 | 1600 | 1600 | 1600 | 1600 | 1600 | 1600 | 1600 | 1600 | 1600 | 1600 | 1600 | 1600 | 1600 | 1600 | 1600 | 1600 | 1600 | 1600 | 1600 | 1600 | 1600 | 1600 | 1600 | 1600 | 1600 | 1600 | 1600 | 1600 | 1600 | 1600 | 1600 | 1600 | 1600 | 1600 | 1600 | 1600 | 1600 | 1600 | 1600 | 1600 | 1600 | 1600 | 1600 | 1600 | 1600 | 1600 | 1600 | 1600 | 1600 | 1600 | 1600 | 1600 | 1600 | 1600 | 1600 | 1600 | 1600 | 1600 | 1600 | 1600 | 1600 | 1600 | 1600 | 1600 | 1600 | 1600 | GGGGCTGCC
AGGGTGCCGC
TGAAGGGGG
GGCTGATACC
ATCATGCTGC
TGACCTGCT
TGACCTGC
TGACCTGC
TGATACC
TGATACC
TGATATGC
TGATATGCC
TGATATGCC
TGATATGCC
TGATATGCC
TGATATGCC
TGATATGCC
TGATATGCC
TGATATGCC
TGATATGCA
TGATATACA
TGATATACA COMBRIGHT

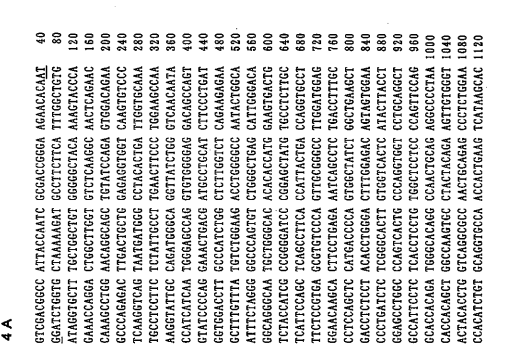
ARACHATTAL

COCCURENT

COCURENT

COCCURENT

C AGGGCGAA (
AGGGCCAGT)
GATCAATC
GATCAATC
GATCAATC
TAACAACTAC
AGGTCACC
TGCTCAGG
TGCTCAGG
TGCTCAGG
TGCTCAGG
TGCTCAGG
TGCTCAGG
TGCTAGG
TGCTCAGG
TGCTCAG ACCOUNTS ACC



×

図 3

【図5】

5A

1 MDLVLKRCLL HLAVIGALLA VGATKVFRNQ DWLGVSRQLR TKAWNRQLYF
51 EWTEAQRLDC WRGGQVSIKW SNDOPTLIGA NASFSIALNF PGSGKVLPDG
101 QVIWNNTII NGSQ'WGGQP VYQETDDAC IFFDGGPCPS GSWGRSFV
151 YVWRTKGQYW OPIGGFVSGL SIGTGRAMLG THTMEVTVYH RRGSRSYVPL
201 AHSSSAFTIT DQVFFSVSVS QLRALDGGNK HFLRNQPLTF ALQLHPPSGY
251 LAEADLSYIW DFGDSSGTLI SRALVVTHTY LEPGPVTAQV VLQAAIPLTS
301 CGSSPVPGTT DGHRPTAEAP NTTAGGVPTT EVVGTTFGQA PTAEPSGTTS
351 VQVPTTEVIS TAPVQMPTAE STGMTPEKVP VSEVMGTTLA EMSTPEATGM
401 TPAEVSIVVL SGTTAAQVTT TEWWETTARE LPIPEPSGPD ASSIMSTESI
451 TGSLGPLLDG TATLELVKRQ VPLDCVLYRY GSFSVTLDIV QGIESAEILQ
501 AVPSGEGDAF ELTVSCQGGI PKRACMEISS PGCQFPAQRI CQPVLPSPAC
501 GILLVLANAV LASLIYRRRL MKQDFSVPQL PHSSSHWLRL PRIFCSCPIG
651 ENPPLASCQ V

5B

図 5

【図6】

CDNA 25

CDNA 25

CDNA 25

CDNA 25

CDNA 25

CDNA 26

CDNA 26

CDNA 26

CO32

CO33

CO32

CO32

CO32

CO32

CO33

CO32

CO33

CO33

CO33

CO33

CO33

CO34

CO35

CO35

CO36

CO36

CO37





図 6

【図7】

7A

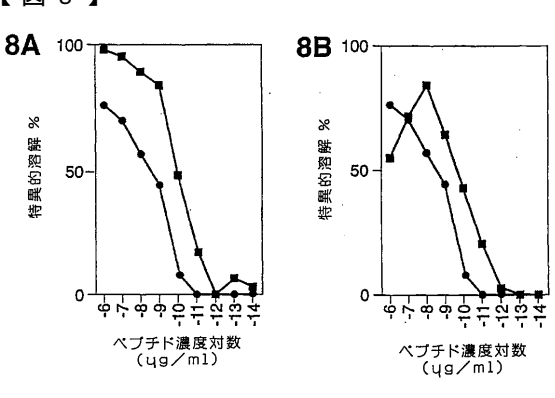
101 TWEITHOON OVIGSFUSGL SIGTGRAMIG THIMEVTVYH RRGSRSYVPL 151 201 251 301 25TRVQVPTTEVIS TAPVOMPTAE STOMTPEKVP VSEVMGTTLA EMSTPEATOM
25TRTRAEVSIVVL SOTTAAQVIT TEMVETTARE LPIPEPEGPD ASSINSTESI 351 401 TYPEVSITYE SCHOOL TATERLYKRQ VPLDCYLYRY GSFSYTLDIV QGIESAEILQ 25TR AVPSGEODAF ELTVSCOGL PKEACHEISS PGCOPPAGRL CQPVLPSPAC 25TR 501 25TR GOLDHOLLEG GEGTYCLAWS LADTHSLAW STQLIMPOQU ACLOQVELLY
25TR SILLVIMAVY LASLIYEREN MKQDFSVPQL PHSSSHMLRL PRIFCSCPIG
25TR SEPLISCOQ V
25TR 25TR 551 601 651

7B

| DNA 断片 | 620-1 | 620-2 | TIL 660-1 | 1143 | 1200 |
|--------|-------|-------|--------------|------|------|
| D3 | - | - | _ | - | - |
| D5 | - | + | - | - | + |
| D4 | - | + | - | - | + |
| C4 | + | + | + | + | + |
| 25TR | - | _ | + | + | + |

図 7

【図8】



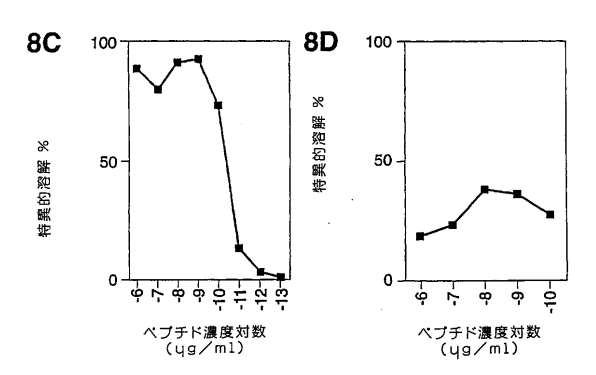


図 8

フロントページの続き

| (51) Int.CI. | | | FΙ | | | テーマコード(参考) |
|--------------|--------|-----------|---------|--------|---|------------|
| C 0 7 K | 14/705 | (2006.01) | C 0 7 K | 14/705 | | 4 H 0 4 5 |
| C 0 7 K | 16/30 | (2006.01) | C 0 7 K | 16/30 | | |
| C 0 7 K | 7/06 | (2006.01) | C 0 7 K | 7/06 | | |
| A 6 1 K | 39/00 | (2006.01) | A 6 1 K | 39/00 | Н | |
| A 6 1 P | 37/04 | (2006.01) | A 6 1 P | 37/04 | | |
| A 6 1 P | 35/00 | (2006.01) | A 6 1 P | 35/00 | | |
| G 0 1 N | 33/53 | (2006.01) | G 0 1 N | 33/53 | D | |
| G 0 1 N | 33/577 | (2006.01) | G 0 1 N | 33/53 | M | |
| C 1 2 N | 1/15 | (2006.01) | G 0 1 N | 33/577 | В | |
| C 1 2 N | 1/19 | (2006.01) | C 1 2 N | 1/15 | | |
| C 1 2 N | 1/21 | (2006.01) | C 1 2 N | 1/19 | | |
| C 0 7 K | 7/08 | (2006.01) | C 1 2 N | 1/21 | | |
| C 1 2 P | 21/08 | (2006.01) | C 0 7 K | 7/08 | | |
| | | | C 1 2 P | 21/08 | | |

(74)代理人 100080137

弁理士 千葉 昭男

(74)代理人 100096013

弁理士 富田 博行

(74)代理人 100091638

弁理士 江尻 ひろ子

(72)発明者 カワカミ,ユタカ

アメリカ合衆国メリーランド州20852,ロックヴィル,コングレッショナル・レーン 228

(72)発明者 ローゼンバーグ, スティーブン・エイ

アメリカ合衆国メリーランド州20854,ポトマック,アイロン・ゲート・ロード 10104

F ターム(参考) 4B024 AA01 AA12 BA36 CA02 DA02 EA02 EA04 GA11 HA12 HA17

HA20

4B063 QA01 QA18 QA19 QQ03 QQ08 QQ53 QQ79 QR32 QR56 QR73

QS32 QX02 QX07

4B064 AG27 AG31 CA10 CA19 CC24 DA05 DA14

4B065 AA90X AB01 AC14 BA02 CA24 CA45 CA46

4C085 AA03 CC21 CC32 EE01

4H045 AA11 BA09 BA15 CA41 DA50 DA86 EA29 EA51 FA20 FA74



| 专利名称(译) | 黑色素瘤抗原 | | | | | | | |
|----------------|--|---|---|--|--|--|--|--|
| 公开(公告)号 | <u>JP2010178739A</u> | 公开(公告)日 | 2010-08-19 | | | | | |
| 申请号 | JP2010031273 | 申请日 | 2010-02-16 | | | | | |
| [标]申请(专利权)人(译) | 美国政府 | | | | | | | |
| 申请(专利权)人(译) | 美国 | | | | | | | |
| [标]发明人 | カワカミユタカ ローゼンバーグスティーブンエイ | | | | | | | |
| 发明人 | カワカミ,ユタカ ローゼンバーグ,スティーブン·エィ | , | | | | | | |
| IPC分类号 | | 3 G01N33/577 C12N1/15 C12N | 705 C07K16/30 C07K7/06 A61K39/00 1/19 C12N1/21 C07K7/08 C12P21/08 K16/32 G01N33/574 | | | | | |
| CPC分类号 | A61K38/00 A61K39/00 A61P35/00 |) A61P37/04 C07K14/47 | | | | | | |
| FI分类号 | | 04 A61P35/00 G01N33/53.D G01 12P21/08 C12N15/00.A C12N15 | 1N33/53.M G01N33/577.B C12N1/15 5/00.AZN.A C12N15/12 C12N15/13 | | | | | |
| F-TERM分类号 | 4B063/QQ08 4B063/QQ53 4B063/ /QX02 4B063/QX07 4B064/AG27 4B064/DA14 4B065/AA90X 4B065 | 4B024/HA20 4B063/QA01 4B06 /QQ79 4B063/QR32 4B063/QR5 4B064/AG31 4B064/CA10 4B06 5/AB01 4B065/AC14 4B065/BA0 4C085/CC32 4C085/EE01 4H04 | 3/QA18 4B063/QA19 4B063/QQ03 56 4B063/QR73 4B063/QS32 4B063 4/CA19 4B064/CC24 4B064/DA05 2 4B065/CA24 4B065/CA45 4B065 5/AA11 4H045/BA09 4H045/BA15 | | | | | |
| 代理人(译) | 小林 泰 千叶昭夫 | | | | | | | |
| 优先权 | 08/231565 1994-04-22 US 08/417174 1995-04-05 US | | | | | | | |
| 外部链接 | Espacenet | | | | | | | |
| | | | | | | | | |

摘要(译)

解决的问题:提供编码被T细胞识别的黑素瘤抗原的基因,与之对应的蛋白质,以及使用这些基因或蛋白质的预防,诊断和治疗方法。 编码被T淋巴细胞识别的称为MART-1的黑素瘤抗原的核酸序列,由该核酸序列编码的蛋白质和针对该蛋白质的抗体。 使用上述抗原蛋白和抗体的用于诊断,评估或预测黑色素瘤或转移性黑色素瘤的生物测定法。 另外,衍生自MART-1和第二种黑色素瘤抗原gp100的免疫原性肽。 一种源自MART-1黑色素瘤抗原或gp100抗原并经过修饰以增强免疫原性的免疫原性肽。 上述蛋白质和肽作为预防或治疗黑素瘤的免疫原的用途。 [选择图]无

| | | 1399 |
|----------|----|-------|
| 有物 | | 1363 |
| 正認識() | | 1318 |
| こよる智能器 | | 1235 |
| JT I L | | 1088 |
| 一个特異的 | | 1074 |
| 17/- | | 1143 |
| 2 阿果性人 | ŢŢ | 9 9 0 |
| HLA-A2柯東 | | 620 |
| | | 1200 |
| ** | | |
| | | |

| NR | | | + (M9-2) | 1 1 |
|--------------------|---------------|--------------------------------------|--|-------------------|
| NR | ŧ | | (2-61/0) (2- | 1 1 |
| NR | 1 | | + (M9-2) | 1 1 |
| NR | 1 | | + (M9-2) | 1 1 |
| NR | ı | | + + (M9-2) | 1 [|
| NR | 1 | | + (M9-2) | 1 1 |
| PR | + + | | + W9-5) | T 1 |
| PR | + (0.9311) | (G9)114) (G10 1 5) | + (M9-2) | 1 1 |
| PR PR | + + + + + + + | (1905) (1905) (1905) (1905) | + (M9-2) | 1 1 |
| | + (69) | (F-015)) | 1 | 1 1 |
| 臨床の反応 抗原(エビトープ) | gp100 | | MART-1 | チロンナーゼ 8 D 7 5 |

G9 (10): gp100-9 (10) 重体ペプチド・M9-2・MART-1_{17・18}ペプチド TILにたるgp100の鍵膜は、HLA-A2原状性TILを用いた変子系統維化がする臨床を寄と者 意 (p<0・001) に個勝する。